

DIPLOMARBEIT

Integration anwendungsneutraler lokaler Suchverfahren in den adaptiven memetischen Algorithmus HyGLEAM für die komplexe Reihenfolgeoptimierung

von

Björn Hahnenkamp

Referent: Prof. Dr. Hartmut Schneck

Institut für Angewandte Informatik und

Formale Beschreibungsverfahren

Universität Karlsruhe



Universität Karlsruhe (TH)

Forschungsuniversität • gegründet 1825

Koreferent: Dr. Wilfried Jakob

Institut für Angewandte Informatik

Forschungszentrum Karlsruhe



Forschungszentrum Karlsruhe
in der Helmholtz-Gemeinschaft

Karlsruhe, 31.03.2007

Abstract

Inhalt dieser Diplomarbeit sind neue lokale Suchverfahren für den memetischen Algorithmus HyGLEAM (Hybrid General purpose Evolutionary Algorithm and Method). Der Ressource Broker GORBA (Global Optimizing Resource Broker and Allocator) dient der effizienten Ressourcenallokation und Planung im Grid. Das hierbei von GORBA zu lösende komplexe Schedulingproblem wird formuliert und analysiert. Das GORBA-Problem lässt sich mit Hilfe von Heuristiken auf ein Reihenfolgeproblem reduzieren, welches mit Hilfe von HyGLEAM optimiert werden kann. Durch die Integration lokaler Suchverfahren sollte die Leistung von HyGLEAM bei der Lösung dieses Reihenfolgeproblems verbessert werden. Hierfür wurden fünf lokale Suchverfahren entwickelt und anhand von Benchmarks bewertet.

Das Verfahren Stoss basiert auf gezielten Verschiebungen einzelner Elemente in der Reihenfolge. Drei der untersuchten lokalen Suchverfahren basieren auf einem neuen Ansatz, Ameisenalgorithmen in HyGLEAM zu integrieren. Das Verfahren ANT 1 untersucht in einer ersten Version Elemente, die in der Reihenfolge nebeneinander liegen. In einer zweiten Version werden Abstände zwischen Elementen optimiert. Das lokale Suchverfahren ANT 2 basiert auf der relative pheromone evaluation rule und untersucht absolute Positionen der Elemente in der Permutation. Die Testergebnisse dieser Verfahren haben gezeigt, dass sie zur besseren Lösung des GORBA-Problems keinen Beitrag leisten. Das fünfte lokale Suchverfahren Triv basiert auf einer wiederholten, adaptierten Ausführung verschiedener Mutationsoperatoren. Dieses Verfahren erreichte fast die Leistung der bisher genutzten Algorithmen und kann als Ausgangspunkt zukünftiger Entwicklungen dienen.

Inhaltsverzeichnis

1	Einführung	1
1.1	Grid-Computing	1
1.2	Der Ressource Broker GORBA	2
1.3	Scheduling mit lokalen Suchverfahren	3
1.4	Der evolutionäre Algorithmus HyGLEAM	3
1.5	Lokale Suchverfahren in HyGLEAM	4
1.6	Aufbau dieser Arbeit	4
2	Das Optimierungsproblem	7
2.1	Formulierung des Schedulingproblems	8
2.1.1	Kernkomponenten	8
2.1.2	Gültigkeitskriterien	9
2.1.3	Optimierungsziel	10
2.2	Fitnessfunktion	11
2.2.1	Qualitätskriterien	11
2.2.2	Relaxierungen und Straffunktionen	15
2.3	Vereinfachungen, Suchräume und Heuristiken	17
2.3.1	Vereinfachende Annahmen über das Schedulingproblem	18
2.3.2	Konventionelle Planungsheuristiken von GORBA	19
2.3.3	Planungsheuristiken für das Modell K2	19
2.3.4	Planungsheuristik für das Modell K1	20
2.4	Einordnung des Problems	21

2.4.1	Klassifizierung	21
2.4.2	Komplexität	22
2.5	Benchmarkaufgaben	23
2.5.1	Testszenarien	23
2.5.2	Erfolgskriterien	24
3	Der evolutionäre Algorithmus HyGLEAM	27
3.1	Evolutionäre Algorithmen	28
3.2	Das Konzept der Aktionskette	29
3.2.1	Handlungsmodell K2	30
3.2.2	Handlungsmodell K1	30
3.3	Die genetischen Operatoren	30
3.4	Das Nachbarschaftsmodell	31
3.5	Lokaler Suchverfahren und Adaptionsmechanismus in HyGLEAM	32
3.6	Durchführung der Benchmarks	33
4	Lokale Suchverfahren für Reihenfolgeprobleme	37
4.1	No Free Lunch	38
4.2	Ein neues Konzept: Optimierungsmuster	39
4.2.1	Beispiele für Optimierungsmuster	40
4.2.2	Modellierung Lokaler Suchverfahren	42
5	Untersuchte lokale Suchverfahren	43
5.1	Lokales Suchverfahren: Stoss	44
5.1.1	Algorithmus und Implementierung	44
5.1.2	Ergebnisse der Benchmarks	46
5.2	HyGLEAM und Ameisenalgorithmen	47
5.2.1	Einführung in Ameisenalgorithmen	47
5.2.2	Hybridisierungsansatz	49
5.3	Die erste Version von ANT 1	50
5.3.1	Grundgerüst des Algorithmus	50

5.3.2	Pheromonwerte	50
5.3.3	Heuristikwerte	50
5.3.4	Auswahlmechanismus	52
5.3.5	Pheromonupdate	53
5.3.6	Adaptionsmechanismus	53
5.3.7	Parameterstudien	53
5.3.8	Bewertung des Verfahrens	56
5.4	Lokales Suchverfahren: ANT 1, Version 2	57
5.4.1	Grundgerüst des Algorithmus	58
5.4.2	Pheromonwerte	58
5.4.3	Heuristikwerte	59
5.4.4	Auswahlmechanismus	59
5.4.5	Pheromonupdate	60
5.4.6	Adaptionsmechanismus	60
5.4.7	Parameterstudien	61
5.4.8	Ergebnisse der Benchmarks	61
5.5	Lokales Suchverfahren: ANT 2	63
5.5.1	Grundgerüst des Algorithmus	65
5.5.2	Pheromonwerte	65
5.5.3	Heuristikwerte	65
5.5.4	Auswahlmechanismus	65
5.5.5	Pheromonupdate	66
5.5.6	Parametrisierung des Verfahrens	66
5.5.7	Ergebnisse der Benchmarks	67
5.6	Lokales Suchverfahren: TRIV	68
5.6.1	Algorithmus und Implementierung	70
5.6.2	Ergebnisse der Benchmarks	71
6	Fazit und Ausblick	75
6.1	Zusammenfassung der Arbeit	75

6.2	Ausblick	77
6.3	Dank	78
A	Testergebnisse	79
A.1	Benchmarks und verwendete Abkürzungen	79
A.2	Benchmarkergebnisse für GLEAM / K1 / gRep	80
A.2.1	Szenarien „gR gA“	80
A.2.2	Szenarien „gR kA“	81
A.2.3	Szenarien „kR gA“	82
A.2.4	Szenarien „kR kA“	83
A.3	Benchmarkergebnisse für GLEAM / K2 / pRep	84
A.3.1	Szenarien „gR gA“	84
A.3.2	Szenarien „gR kA“	85
A.3.3	Szenarien „kR gA“	86
A.3.4	Szenarien „kR kA“	87
A.4	Benchmarkergebnisse für Stoss / K2 / pRep	88
A.4.1	Szenarien „gR gA“	88
A.4.2	Szenarien „gR kA“	89
A.4.3	Szenarien „kR gA“	90
A.4.4	Szenarien „kR kA“	91
A.5	Benchmarkergebnisse für ANT 1v2 / K2 / pRep	92
A.5.1	Szenarien „gR gA“	92
A.5.2	Szenarien „gR kA“	94
A.5.3	Szenarien „kR gA“	96
A.5.4	Szenarien „kR kA“	97
A.6	Benchmarkergebnisse für ANT 2 / K2 / pRep	98
A.6.1	Szenarien „gR gA“	98
A.6.2	Szenarien „gR kA“	100
A.6.3	Szenarien „kR gA“	101
A.6.4	Szenarien „kR kA“	102

A.7	Benchmarkergebnisse für TRIV / K2 / pRep	103
A.7.1	Szenarien „gR gA“	103
A.7.2	Szenarien „gR kA“	104
A.7.3	Szenarien „kR gA“	105
A.7.4	Szenarien „kR kA“	106

Abbildungsverzeichnis

3.1	Erfolgsraten von GLEAM / K1 / gRep	35
3.2	Erfolgsraten GLEAM / K2 / pRep	35
5.1	Erfolgsraten von Stoss / K2 / pRep	46
5.2	Pseudocode der Startroutine von ANT 1, Version 1	51
5.3	Parameterstudie zu Ant 1v1: Parameter Anzahl Ameisen vs. β	55
5.4	Parameterstudie zu Ant 1v1: Parameter p_{wahl} vs. β	55
5.5	Pseudocode der Startroutine von ANT 1, Version 2	58
5.6	Erfolgsraten von Ant 1 / K2 / pRep	62
5.7	Parameterstudie zu Ant 2: Parameter α vs. p_{wahl}	66
5.8	Erfolgsraten von Ant 2 / K2 / pRep	67
5.9	Anzahl der Evaluationen von GLEAM, Ant 1v2 und ANT 2	68
5.10	Erfolgsraten von Triv / K2 / pRep	72

Kapitel 1

Einführung

1.1 Grid-Computing

Grid-Computing ist ein aktuelles Thema der Informatik und basiert auf zwei wesentlichen Phänomenen. Sinkende Preise und wachsende Leistungen von Ressourcen wie Rechen-, Leitungs-, und Speicherkapazität sowie ein meist nur zeitlich beschränkter Spitzenbedarf führen zu Überkapazitäten in Forschung, Unternehmen und im Privatsektor. Gleichzeitig werden neue Anwendungen mit teils immensen Ressourcenanforderungen entwickelt. Realistischere Simulationen oder neuartige Analysemethoden mit sehr großer Datenbasis oder komplexen Rechnungen versprechen wirtschaftliche Vorteile oder wissenschaftlichen Fortschritt.

Mit dem Begriff „Grid Computing“ werden Techniken zur Vermittlung zwischen Anwendern mit Ressourcenbedarf und Betreibern von Ressourcen mit freien Kapazitäten umfasst. Eine prägnante Zusammenfassung liefert [Fos02]. Demnach vermittelt das Grid dem Anwender über offene Schnittstellen einen Zugriff auf Ressourcen, welche den Anforderungen seiner Anwendung genügen. Diese Ressourcen können auch in anderen Organisationen angesiedelt sein.

Während an vielen Konzepten und Anwendungen schon lange geforscht wird und durchaus schon Lösungen existieren, so kann von einer flächendeckenden Verbreitung von Grid Computing noch nicht gesprochen werden. Die Ziele der Grid-Entwicklungen sind

noch wesentlich ambitionierter, als die obige Darstellung vermuten lässt: Grids haben nicht nur das Potenzial, die Effizienz von Rechenressourcen steigern. Vielmehr darf erwartet werden, dass mit dem Aufkommen einer funktionierenden Grid-Infrastruktur neue Geschäftsmodelle auf standardisierten Ressourcenmärkten und wissenschaftliche Forschungsgebiete mit besonders hohem Rechenbedarf überhaupt erst eröffnet werden.

Gute Einführungen in das Thema Grid Computing bieten [FKT01] sowie [Fos99]. Einen Standard im Bereich Grid Computing stellt die Open Grid Services Architecture (OGSA, [FKNT02]) dar, eine Beispielimplementierung ist das Globus Toolkit. Wesentlicher Motor der Entwicklung ist das Global Grid Forum.

1.2 Der Ressource Broker GORBA

Der Begriff „Ressourcenmanagement“ bezeichnet eine Komponente einer Grid Middleware, welche mehrere Aufgaben erfüllen muss. In [FKT01] werden Jobmanager und Resourcebroker als wesentliche Teile eines Ressourcenmanagements identifiziert (siehe auch [NSW04] für eine umfassende Darstellung). Der Resourcebroker GORBA (Global Optimizing Resource Broker and Allocator) wird am Institut für Angewandte Informatik im Forschungszentrum Karlsruhe entwickelt, siehe hierzu auch [HSS04, SJQS05, JQSS05, SJQS06a, SJQS06b].

Aus Jobbeschreibungen der Benutzer ergibt sich ein abzuarbeitender Workflow von Operationen [Fis05]. Dem gegenüber stehen detaillierte Beschreibungen von verschiedensten Ressourcen, wie zum Beispiel CPUs, Lizenzen oder Speicherplatz (vgl. [Man99]). GORBA führt eine Zuordnung von Operationen zu Ressourcen sowie die zeitliche Planung der Operationen durch. Dabei werden die Leistungsfähigkeit von Ressourcen, deren Kosten sowie Vorgaben von Anwendern berücksichtigt, um optimale Pläne zu erstellen. Bei GORBA handelt es sich um eine global optimierende Planungssoftware und nicht um ein Queueing-System [HKKS03], beim Eintreffen neuer Jobs wird eine Neuplanung aller noch nicht begonnenen Operationen vorgenommen.

GORBA hat damit ein sehr komplexes Schedulingproblem mit mehreren Nebenbedingungen zu lösen. Im Nachfolgenden wird dieses als das GORBA-Problem bezeichnet.

1.3 Scheduling mit lokalen Suchverfahren

Während die Anwendung, das Ressourcenmanagement im Grid, recht neu ist, so ist die Erforschung von Schedulingproblemen eine klassische Disziplin des Operations Research. Beispiele für Schedulingprobleme treten bei Produktionsprozessen [Pin95], im Projektmanagement [Sch05] oder bei der Erstellung von Dienst- und Stundenplänen auf. Scheduling ist ein Teilgebiet der kombinatorischen Optimierung. Einen Überblick über Schedulingprobleme und entsprechende Lösungsansätze liefert zum Beispiel [Bru04].

Zahlreiche Probleme des Scheduling gehören der Komplexitätsklasse NP an. Da der Umfang der Aufgabe und die zur Lösung verfügbare Zeit oft eine deterministische Lösung verbieten, werden im Scheduling oftmals heuristische Verfahren eingesetzt. Randomisierte, teils an natürliche Prozesse angelehnte lokale Suchverfahren haben sich als besonders erfolgreich erwiesen. Neben Verfahren auf Basis der Evolution zählen auch Ameisenalgorithmen [DS04], Schwarmoptimierung [BDT99], Simulated Annealing, Tabu Search oder Directed Local Search zu den erfolgreichen Verfahren. Überblicke bieten zum Beispiel [HS05, AL97, Par02].

1.4 Der evolutionäre Algorithmus HyGLEAM

Evolutionäre Algorithmen haben die natürliche Evolution nach Darwin [Dar59] zum Vorbild, für eine gute Einführung zu evolutionären Algorithmen siehe [ES03]. Verschiedene Lösungen eines Problems werden als Individuen einer Population gesehen. Analog zur Mutation und Rekombination der natürlichen Evolution werden Eigenschaften dieser Individuen durch genetische Operatoren manipuliert und vererbt. Durch einen Selektionsmechanismus werden vorteilhafte Eigenschaften von Individuen identifiziert und Individuen sind über mehrere Generationen zunehmend mit diesen Eigenschaften ausgestattet. Der Anpassung von Individuen an ihre Umwelt durch die natürliche Evolution entspricht bei evolutionären Algorithmen der Konvergenz der repräsentierten Lösungen hin zu optimalen Lösungen. Beispiele für entsprechende Verfahren sind Evolutionary Programming [FOW66, Mic96], genetische Algorithmen [Hol75, Dav92, Gol04] oder Evolutionsstrategien [Rec94, Sch95].

GORBA verwendet für die Optimierung den Memetischen Algorithmus HyGLEAM (Hybrid General purpose Evolutionary Algorithm and Method). HyGLEAM ist eine hybride Variante des Algorithmus GLEAM [Blu90, JGSB92, BJ02]. Die Fortentwicklung von GLEAM zu HyGLEAM wurde ebenfalls am Institut für Angewandte Informatik am Forschungszentrum Karlsruhe betrieben, siehe hierzu auch [Jak02, JBB04, Jak04a, Jak04b, Jak05, Jak06]. HyGLEAM kann nicht nur kombinatorische Optimierungsaufgaben bewältigen, sondern ist zum Beispiel auch zur multidimensionalen Parameteroptimierung in der Lage.

1.5 Lokale Suchverfahren in HyGLEAM

Evolutionäre Algorithmen lassen sich durch die Integration von lokalen Suchverfahren zu Memetischen Algorithmen erweitern, wodurch die Geschwindigkeit sowie die Lösungsgüte erhöht werden können. Zwei lokale Suchverfahren zur mehrdimensionalen Parameteroptimierung wurden bereits in HyGLEAM integriert. Ziel dieser Arbeit ist es, entsprechende Verfahren für kombinatorische, insbesondere permutationsbasierte Optimierungsprobleme zu identifizieren. Als ein solches Problem wird das GORBA-Problem als Beispiel herangezogen. Allerdings ist es ein erklärtes Ziel, HyGLEAM zu einem universell einsetzbaren Werkzeug fortzuentwickeln. Allzu spezifische beziehungsweise auf das GORBA-Problem zugeschnittene Verfahren sollen dann von der Betrachtung ausgenommen werden, wenn ihr Einsatz in anderen Problemen unmöglich ist.

1.6 Aufbau dieser Arbeit

Nach dieser Einführung in den Kontext der Arbeit wird im zweiten Kapitel zunächst das GORBA-Problem aufgestellt.

Im dritten Kapitel wird der Algorithmus HyGLEAM vorgestellt. Schwerpunkt der Betrachtung ist die Fähigkeit von HyGLEAM, kombinatorische Probleme zu lösen. HyGLEAM besitzt Mechanismen zur Einbindung zusätzlicher lokaler Suchverfahren sowie zur Adaption von Steuerungsparametern für diese Verfahren.

Das vierte Kapitel führt in die Optimierung von Reihenfolgen mit Hilfe lokaler Suchverfahren ein. Zur Charakterisierung und Analyse von Reihenfolgeproblemen wird das neue Konzept der Optimierungsmuster eingeführt. Der Erläuterung dienen Beispiele von Optimierungsmustern.

Im fünften Kapitel werden die betrachteten lokalen Suchverfahren zur Reihenfolgeoptimierung vorgestellt. Alle Verfahren werden motiviert und beschrieben. Die Ergebnisse der durchgeführten Tests werden zusammengefasst.

Das sechste Kapitel schließt mit einem Fazit und einem Ausblick für zukünftige Entwicklungen.

Kapitel 2

Das Optimierungsproblem

In diesem Kapitel wird das Schedulingproblem untersucht, welches von GORBA bzw. HyGLEAM zu lösen ist.

Im ersten Abschnitt wird eine allgemeine Version des Schedulingproblems eingeführt, welche als Basis einer Klassifikation des Schedulingproblems und damit der Vergleichbarkeit mit anderen Problemen und Lösungen dienen kann. Hierzu werden wesentliche Elemente des Problems, Gültigkeitskriterien und Beispiele für Optimierungsziele vorgestellt.

Die Implementierung eines evolutionären Lösungsverfahrens erfordert die Aufstellung einer Fitnessfunktion. Im zweiten Abschnitt werden zunächst verschiedene Qualitätskriterien für Schedules erklärt. Es werden Relaxationen von zwei Nebenbedingungen motiviert sowie jeweilige Straffunktionen abgeleitet. Über diese Qualitätskriterien und Straffunktionen wird die Fitnessfunktion definiert.

Der dritte Abschnitt befasst sich mit Vereinfachungen des relaxierten Schedulingproblems. Zum einen werden Annahmen über das Problem getroffen, welche die Anwendung bestimmter Heuristiken ermöglichen und die Implementierung vereinfachen. GORBA beziehungsweise HyGLEAM durchsuchen nicht den gesamten (unbeschränkten) Lösungsraum des Problems. Vielmehr werden verschiedene (abgeschlossene) Suchräume genutzt, von denen mit Hilfe passender Heuristiken auf den Lösungsraum abgebildet wird. Diese Suchräume sowie die passenden Heuristiken werden erläutert.

Im vierten Abschnitt wird eine grobe Klassifikation des Schedulingproblems vorgenommen. Dabei wird auch auf die Komplexität des Problems eingegangen, indem ein Beweis für dessen NP-Vollständigkeit skizziert wird.

Im letzten Abschnitt dieses Kapitels werden die zur Evaluation herangezogenen Benchmarks vorgestellt, welche bereits bei der bisherigen Untersuchung von GLEAM benutzt wurden.

2.1 Formulierung des Schedulingproblems

Zunächst soll ein allgemeines Schedulingproblem formuliert werden, auf dem das von GORBA-Problem aufbaut. Diese allgemeine Form dient dem Verständnis des Problems. Seine Formulierung ermöglicht es, Vergleiche zu anderen Schedulingproblemen zu ziehen. Deswegen wurde Wert auf eine mit der Scheduling-Literatur konsistente Notation gelegt, insbesondere wird an jene in [Bru04] angelehnt (siehe auch dort die Literaturverweise zur Notation und Klassifikation von Schedulingproblemen).

Es werden erst einige Mengen, Funktionen, Parameter und Begriffe eingeführt. Im nächsten Schritt wird der Lösungsraum über Kriterien für die Gültigkeit eines Schedules definiert. Im dritten Unterabschnitt werden zunächst typische Zielfunktionen beschrieben, der tatsächlich genutzten Funktion ist später ein eigener Abschnitt gewidmet.

2.1.1 Kernkomponenten

Gegeben seien:

- Eine Menge M von **Ressourcen** im Grid. In der Scheduling-Literatur werden hierunter m Maschinen $M_j \in \{M_1, \dots, M_m\}$ verstanden, im vorliegenden Kontext können damit beispielsweise Rechner oder Computercluster gemeint sein.
- Eine Menge J von **Jobs**. Im HyGLEAM-Kontext werden diese zur Verdeutlichung mit „Application Jobs“ bezeichnet, in der Scheduling-Literatur werden diese n Jobs mit $J_i \in \{J_1, \dots, J_n\}$ oder auch nur mit i angegeben.

- Eine Menge O von **Operationen**, die jeweils einer Anwendung zugeordnet werden. Im HyGLEAM-Kontext werden diese „Grid Jobs“ genannt, womit die n_i elementaren Operationen O_{ij} des Jobs J_i mit O_{i1}, \dots, O_{in_i} gemeint sind. Im Nachfolgenden wird mit O_{in_i} auch die letzte *abgearbeitete* Operation des Jobs J_i bezeichnet, auf die die Beendigung des Jobs folgt.
- Eine **Vorgängerfunktion** $p : O \times O \rightarrow \{TRUE, FALSE\}$, die eine vorgegebene Vorgänger-Nachfolger-Beziehung zwischen zwei Operationen eines Jobs anzeigt. p induziert über O einen Digraph, welcher in mindestens n disjunkte azyklische nicht-reflexive Digraphen zerfällt. Das Schedulingproblem ist offensichtlich über die Bildung der transitiven (nicht-reflexiven) Hülle dieses Digraphen abgeschlossen.
- Eine **Zuordnungsfunktion** $\mu : O \rightarrow \mathcal{P}(\mathcal{P}(M))$ von Operationen zu Ressourcenmengen. Mit μ_{ij} wird die Menge aller möglichen Kombinationen von Ressourcen aus M bezeichnet, welche gemeinsam zur Bearbeitung von O_{ij} fähig sind.
- Eine **Zeitbedarfsfunktion** $t : O \times \mathcal{P}(M) \rightarrow \mathbb{R}$ welche für jede Operation O_{ij} den Zeitbedarf für die Bearbeitung durch eine Ressourcenmenge aus μ_{ij} angibt.
- Eine **Kostenfunktion** $c : \mathbb{R} \times \mathcal{P}(M) \rightarrow \mathbb{R}$, die zu jedem Zeitpunkt z die Kosten pro Zeiteinheit einer Menge von Ressourcen angibt.
- Die Menge der **Deadlines**. Für jeden Job J_i ist ein Zeitpunkt $d_i \in \mathbb{R}$ gegeben, zu dem alle Operationen des Jobs beendet sein sollen.
- Die Menge der **Kostenlimits**. Für jeden Job J_i ist ein Betrag $c_i \in \mathbb{R}$ gegeben, den die Kosten für dessen Bearbeitung nicht überschreiten dürfen.

2.1.2 Gültigkeitskriterien

Optimiert wird über die geeignete Wahl von Startzeitpunkten $s(O_{ij}) \in \mathbb{R}$ und Ressourcenallokationen $R_{ij} \in \mu_{ij}$. Eine gültige Lösung besteht, wenn gilt:

1. Alle Operationen werden geplant und die Ressourcen werden reserviert:

$$\forall O_{ij} : \exists s(O_{ij}) \in \mathbb{R}, R_{ij} \in \mu_{ij} : \forall M_j \in R_{ij} :$$

M_j ist in $[s(O_{ij}); s(O_{ij}) + t(O_{ij}, R_{ij})]$ von O_{ij} exklusiv belegt.

2. Vorgängerbeziehungen werden eingehalten:

$$\forall i, j \neq k : p(O_{ij}, O_{ik}) \Rightarrow s(O_{ik}) \geq s(O_{ij}) + t(O_{ij}, R_{ij})$$

3. Fristen werden eingehalten:

$$\forall i : d_i \geq s(O_{in_i}) + t(O_{in_i}, R_{in_i})$$

4. Kostenlimits werden eingehalten:

$$\forall i : c_i \geq \sum_{j=1}^{n_i} \int_{s(O_{ij})}^{s(O_{ij}) + t(O_{ij}, R_{ij})} c(R_{ij}, s) ds$$

2.1.3 Optimierungsziel

Ziel der Optimierung ist, gültige Schedules zu erzeugen, welche allen Anwendern jeweils eine möglichst rasche und kostengünstige Bearbeitung ihrer Jobs ermöglicht sowie den Betreibern von Ressourcen eine hohe Auslastung und damit hohe Einnahmen ermöglicht. Offensichtlich stehen diese verschiedenen Ziele in Konflikt.

Verfahren zur multikriteriellen Optimierung versuchen, diesen Zielkonflikten zu begegnen, indem mehrere Ziele bei der Optimierung berücksichtigt werden. Dem Nutzer wird meist eine Menge möglichst Pareto-optimaler Lösungen präsentiert, unter denen er wählen kann. Gegen den Einsatz eines solchen Verfahrens spricht die Komplexität der Darstellung entsprechender Lösungen sowie die Notwendigkeit von Nutzereingriffen.¹

Klassische Schedulingalgorithmen konzentrieren sich dagegen zumeist nur auf ein einziges Optimierungskriterium und vernachlässigen somit untergeordnete Ziele. Meist werden Minimierungsprobleme mit folgenden Zielfunktionen aufgestellt (vgl. z.B. [Bru04]):

$$makespan = \max_O \{s(O_{ij}) + t(O_{ij}, R_{ij})\}$$

¹Ich bedanke mich bei Dr. Sanaz Mostaghim für ihre Anregungen zur multikriteriellen Optimierung, welche aus den beschriebenen Gründen keinen Eingang in diese Arbeit gefunden haben.

$$\begin{aligned}
total\ flow\ time &= \sum_J s(O_{in_i}) + t(O_{in_i}, R_{in_i}) \\
maximum\ lateness &= \max_J \{d_i - s(O_{in_i}) + t(O_{in_i}, R_{in_i})\} \\
total\ costs &= \sum_O \int_{s(O_{ij})}^{s(O_{ij})+t(O_{ij}, R_{ij})} c(R_{ij}, s) ds
\end{aligned}$$

Ziel von GORBA und HyGLEAM ist aber, den Interessen von sowohl Nutzern als auch von Betreibern von Gridressourcen gerecht zu werden. Obige Kriterien sind hierfür nicht geeignet, da sie jeweils nur einen Aspekt (Zeit oder Kosten) und diesen nur aus Nutzersicht betrachten. Daher wird als Optimierungsziel eine Funktion gewählt, welche verschiedene Kriterien mit entsprechenden Gewichtungen zusammenfasst. Diese Funktion ist Inhalt des nächsten Abschnittes.

2.2 Fitnessfunktion

Als Optimierungsziel für GORBA und HyGLEAM wurde die Maximierung einer Funktion festgelegt, welche auch mit „Note“ oder „Fitness“ bezeichnet wird. Diese reellwertige Funktion hat einen Wertebereich von 0 bis 100.000, höhere Werte bedeuten bessere Schedules.

Im ersten Unterabschnitt werden vier Kriterien für die Qualität eines Schedules eingeführt, welche per Addition in die Note eingehen. Im nächsten Unterabschnitt wird eine Relaxierung von Nebenbedingungen des Schedulingproblems motiviert. Ebenso werden die resultierenden „Straffunktionen“ aufgestellt, aus welchen sich Faktoren zwischen 0 und 1 ableiten, mit denen Bewertungen ungültiger Schedules verringert werden.

2.2.1 Qualitätskriterien

Im Folgenden werden fünf primäre Kriterien für die Qualität eines Schedules angegeben. Sämtliche Kriterien haben Wertebereiche zwischen 0 und einem jeweiligem Maximum, höhere Werte bezeugen eine höhere Qualität des Schedules bezüglich des Kriteriums. Die Einhaltung des Wertebereiches wird jeweils durch eine geeignete Transformationsfunktion

gesichert. In der Regel ist diese Funktion eine umgekehrt proportionale und abschnittsweise lineare bzw. exponentielle Transformation der im Folgenden beschriebenen Ausdrücke. Durch diese Transformation wird in der Umgebung der theoretisch erreichbaren Optima genauer differenziert. Die Werte der Kriterien werden addiert, somit werden mit den jeweiligen Maximalwerten Gewichte der Kriterien festgelegt². Die Kriterien lauten:

1. **Relative Kosten:** Es werden mögliche Einsparungen gegenüber den jobbezogenen Budgets bewertet. Ermittelt werden für alle J_i die Mindestkosten $JK_{min}(i)$, die sich aus dem Schedule ergebenden Kosten $JK_{ist}(i)$ sowie die Maximalkosten $JK_{max}(i)$:

$$JK_{min}(i) = \sum_{j=1}^{n_i} \min_{R_{ij} \in \mu_{ij}} \int_0^{t(O_{ij}, R_{ij})} c(R_{ij}, s) ds$$

$$JK_{ist}(i) = \sum_{j=1}^{n_i} \int_{s(O_{ij})}^{s(O_{ij}) + t(O_{ij}, R_{ij})} c(R_{ij}, s) ds$$

$$JK_{max}(i) = c_i$$

Der Wert des Kriteriums errechnet sich, indem zuerst der Ausdruck

$$\min \left\{ 1, \frac{1}{n} \sum_J \frac{JK_{ist}(i) - JK_{min}(i)}{JK_{max}(i) - JK_{min}(i)} \right\}$$

berechnet wird und danach auf einen Wertebereich zwischen 0 (alle Budgets ausgereizt) und 35.000 (alle Jobs billigstmöglich bearbeitet) transformiert wird.

2. **Relative Fertigstellungszeiten:** Es werden mögliche Beschleunigungen gegenüber den jobbezogenen Zeitlimits bewertet. Ermittelt werden für alle J_i die Mindestbearbeitungszeiten $JBZ_{min}(i)$, die vom Schedule gegebene Fertigstellungszeiten $JBZ_{ist}(i)$

²Die Festlegung dieser Gewichte basiert bislang auf ersten Erfahrungswerten, mit Hilfe der AHP-Methode könnten diese in einem strukturierten Prozess ermittelt werden. Hierfür würden Aspekte wie Nutzersicht versus Betreibersicht, Kosten versus Zeit oder globale versus jobbezogene Orientierung zu einer Gewichtung geeigneter Kriterien führen. Dies übersteigt jedoch den Rahmen dieser Diplomarbeit. Als weiterführende Lektüre wird zum Beispiel [FS01] empfohlen.

sowie die Maximalbearbeitungszeiten $JBZ_{max}(i)$:

$$JBZ_{min}(i) = \sum_{j=1}^{n_i} \min_{R_{ij} \in \mu_{ij}} s(O_{ij}, R_{ij})$$

$$JBZ_{ist}(i) = \sum_J s(O_{in_i}) + t(O_{in_i}, R_{in_i})$$

$$JBZ_{max}(i) = d_i$$

Der Wert des Kriteriums errechnet sich, indem der Ausdruck

$$\min \left\{ 1; \frac{1}{n} \sum_J \frac{JBZ_{ist}(i) - JBZ_{min}(i)}{JBZ_{max}(i) - JBZ_{min}(i)} \right\}$$

auf einen Wertebereich zwischen 0 (alle Deadlines ausgereizt) und 24.000 (alle Jobs schnellstmöglich bearbeitet) transformiert wird.

3. **Relative Gesamtfertigstellungszeit:** Ermittelt wird eine untere Abschätzung für die Bearbeitungszeit BZ_{min} , die Bearbeitungszeit des gesamten Schedules BZ_{ist} sowie eine obere Abschätzung BZ_{max} :

$$BZ_{min} = \frac{\sum_{J_i} JBZ_{min}(i)}{\min\{n; m\}}$$

$$BZ_{ist} = \max_J JBZ_{ist}(i)$$

$$BZ_{max} = \max_i d_i$$

Für dieses Kriterium wird zunächst

$$\min \left\{ 1; \frac{BZ_{ist} - BZ_{min}}{BZ_{max} - BZ_{min}} \right\}$$

berechnet und dann auf einen Wertebereich zwischen 0 (Jobs sind erst zur letzten Deadline fertig) und 14.000 transformiert. Der Maximalwert wird nur dann erreicht, wenn stets die schnellste Ressource verwendet wird und dadurch entweder stets alle Ressourcen ausgelastet sind (mehr Jobs als Ressourcen) oder alle Jobs gleichzeitig ablaufen (mehr Ressourcen als Jobs).

4. **Auslastung:** Es ist anzunehmen, dass schon vor Abarbeitung des aktuellen Schedules neue Jobs hinzukommen und eine Neuplanung angestoßen werden muß. Um ein Maß für die Auslastung der Ressourcen zu definieren werden nur die ersten 75% der Bearbeitungszeit des Schedules und die durchschnittliche Auslastung der Ressourcen betrachtet. Berechnet wird zunächst

$$\int_0^{0.75 \cdot JBZ_{ist}} \frac{\sum_M 1_{\{M_j \text{ ist zum Zeitpunkt } s \text{ reserviert}\}}}{m} ds$$

Dieser Wert wird dann auf einen Bereich zwischen 0 (es wird stets nur eine Ressource beansprucht) und 7.000 (alle Ressourcen sind durchgängig ausgelastet) transformiert.

5. **Relative Jobzeiten:** Während der Erstellung dieser Arbeit wurde von Dr. Jakob ein zusätzliches Kriterium eingeführt. Dabei wird der Beitrag der Bearbeitungszeit einzelner Grid Jobs zur Fertigstellungszeit des entsprechenden Application Jobs gemessen. Zunächst wird für alle Grid Jobs deren geplante Fertigstellungszeit $GJFZ(O_{ij})$, der Minimale Zeitbedarf des Grid Jobs $GJBZ_{min}(O_{ij})$ ermittelt. Für jeden Application Job wird die früheste Startzeit $AJSZ_{min}(i)$ ermittelt (welche in den meisten Fällen 0 beträgt, da Application Jobs normalerweise sofort begonnen werden können. Außerdem wird $JBZ_{ist}(i)$ wie zuvor berechnet.

$$GJFZ(O_{ij}) = s(O_{ij}) + t(O_{ij}, R_{ij})$$

$$GJBZ_{min}(O_{ij}) = \min_{R_{ij} \in \mu_{ij}} s(O_{ij}, R_{ij})$$

Danach wird der folgende Ausdruck berechnet:

$$\sum_j \frac{1}{m} * \frac{\sum_{O_{ij} \neq O_{in_i}} GJFZ(O_{ij}) - GJBZ_{min}(O_{ij}) - AJSZ_{min}(i)}{\left(\sum_{O_{ij}} 1_{\{O_{ij} \neq O_{in_i}\}} \right) (JBZ_{ist}(i) - AJSZ_{min}(i))}$$

Dieser Wert wird auf einen Skala von 0 bis 20.000 transformiert. Mit dieser Funktion können Auswirkungen durch die Manipulation einzelner Grid Jobs erfasst werden.

2.2.2 Relaxierungen und Straffunktionen

Die restriktiven Nebenbedingungen des Anfangs vorgestellten Schedulingproblems führen dazu, dass GORBA und HyGLEAM durchaus mit unlösbaren Problemen konfrontiert werden. Der Nutzer, der einen neuen Job einstellt, kann kein Wissen über alle Ressourcen oder über die zukünftige Last der Systeme haben. GORBA führt zunächst nur eine triviale Prüfung der Kosten- und Zeitlimits durch, welche nicht die Last des Grids durch andere Jobs berücksichtigt. Hierdurch ist es möglich, dass nicht alle Budgets und/oder nicht alle Fälligkeiten eingehalten werden können, auch wenn die Eingaben der Nutzer zunächst akzeptiert wurden.

Ein Mittel, um mit Nebenbedingungen umzugehen, ist deren Relaxierung. Relaxierungen bilden beispielsweise die Grundlage der Lagrange-Multiplikation als auch die vieler Verfahren zur gemischt-ganzzahligen Optimierung. Zur Lösung kombinatorischer Probleme mit Hilfe evolutionärer und anderer Black-Box-Verfahren können mit Hilfe von Relaxierungen Nebenbedingungen auf eine einzige Fitnessfunktion abgebildet werden. Somit wird ein Feedback von verletzten Nebenbedingungen an den Optimierungsalgorithmus möglich und Nebenbedingungen müssen außerhalb der „Black Box“ nicht berücksichtigt werden.

Im vorliegenden Fall wurden die Gültigkeitskriterien 3 und 4 (siehe Abschnitt 2.1.2) relaxiert. Die ersten beiden Nebenbedingungen sichern die Lauffähigkeit der Jobs und sind unbedingt nötig. Eine Verletzung der Nebenbedingungen 3 oder 4 hat jedoch keinen Einfluss auf die Lauffähigkeit der Jobs, und eine Überschreitung von Kosten- und Zeitlimits ist gegebenenfalls tolerierbar.

Bei der unplanmäßigen Verletzung der Zeitbedingung im Verlauf der Abarbeitung wäre es möglich, den Nutzer nach Bearbeitung vor die Wahl zu stellen, ob er die Ergebnisse seines Jobs nach wie vor kaufen möchte. Hiermit geht der Betreiber des Grids das Risiko ein, bearbeitete Jobs nicht bezahlt zu bekommen. Bei Überschreitung des Budgets kann der Betreiber einen Verlust machen und dem Nutzer nur das ursprüngliche Budget in Rechnung stellen. Ebenso wäre eine Umlegung der Gesamtkosten den jeweiligen Budgets (und nicht den tatsächlichen Kosten) entsprechend möglich. Außerdem kann er dem Nutzer die Wahl lassen, die Ergebnisse zum höheren Preis zu kaufen. Wird dem Nutzer eine

Wahl gelassen, so hat der Betreiber hierfür die Ergebnisse der Jobs zurückzuhalten und gegebenenfalls zu vernichten.

Für den kommerziellen Einsatz empfiehlt sich auch eine spieltheoretische Betrachtung des folgenden Phänomens: Für den Nutzer ist es bislang stets eine dominante Strategie, das Zeitlimit möglichst bald sowie das Budget möglichst billig anzugeben, um seine Jobs bevorzugen zu lassen. Mögliche Reaktionen des Betreibers hierauf sind zu untersuchen, so sollte der Betreiber geeignete Heuristiken verwenden, um zu niedrige Limits nicht zu akzeptieren.³

Im folgenden werden vier der sechs Straffunktionen angegeben, welche das Ausmaß der Verletzung von Nebenbedingungen anzeigen. Die Straffunktionen haben in der Regel Wertebereiche zwischen 0 und 1, wobei ein Funktionswert von 1 die vollständige Erfüllung der entsprechenden Nebenbedingung anzeigt. Diese Eigenschaft wird wieder über eine geeignete Transformation sichergestellt, welche abschnittsweise exponentiell oder linear ist. Sämtliche Straffunktionen liefern Faktoren, mit denen die Summe der Werte der Qualitätskriterien (siehe Abschnitt 2.2.1) multipliziert wird. Somit bleibt der Wertebereich der Fitnessfunktion von 0 bis 100.000 erhalten, während ungültige Schedules durch besonders schlechte Noten abgestraft werden. Die Straffunktionen lauten im Einzelnen:

1. Die Funktion **Verzugsjobs** ist eine Transformation der Funktion

$$\frac{\sum_J 1_{\{JBZ_{ist}(i) > JBZ_{max}(i)\}}}{n}$$

Damit geht die Anzahl der zu langsam bearbeiteten Application Jobs in die Bewertung ein.

³Bei genauerer Betrachtung des ökonomischen Modells von GORBA entfaltet sich eine Vielfalt von Phänomenen aus der Informationswirtschaft. Unter anderem werden vom Nutzer Entscheidungen unter Unsicherheit verlangt (zukünftige Auslastung) und es herrschen Informationsasymmetrien (Jobs anderer Nutzer, tatsächliche Limits). Für den Nutzer ist Ehrlichkeit momentan keine dominante Strategie bei der Angabe der Limits. Als eine interessante weiterführende Lektüre zu einigen dieser Fragen wird zum Beispiel [MR92] empfohlen. GORBA kann auch als Agent von Nutzer und Betreiber gesehen werden, welcher vertragsrechtlich bindende Verträge eingeht.

2. Die Funktion **Verzugszeit** ist eine Transformation der Funktion

$$\frac{\sum_J 1_{\{JBZ_{ist}(i) > JBZ_{max}(i)\}} * \frac{JBZ_{ist}(i)}{JBZ_{max}(i)}}{\sum_{i|JBZ_{ist}(i) > JBZ_{max}(i)} 1}$$

Mit dieser Funktion wird das Ausmaß der Verspätungen jener Application Jobs bewertet, bei denen die Deadline nicht eingehalten wurde.

3. Die Funktion **Überschreitungsjobs** ist eine Transformation der Funktion

$$\frac{\sum_J 1_{\{JK_{ist}(i) > JK_{max}(i)\}}}{n}$$

Hiermit wird die Anzahl der Application Jobs einbezogen, bei denen das Budget überschritten wurde.

4. Die Funktion **Überschreitungskosten** ist eine Transformation der Funktion

$$\frac{\sum_J 1_{\{JK_{ist}(i) > JK_{max}(i)\}} * \frac{JK_{ist}(i)}{JK_{max}(i)}}{\sum_J 1_{\{JK_{ist}(i) > JK_{max}(i)\}}}$$

Dadurch werden die zu viel angefallenen Kosten berücksichtigt.

Die Funktionen **Relative Anzahl zu früh geplanter Jobs** sowie **Relative Anzahl ungeplanter Jobs** sind im Rahmen dieser Arbeit irrelevant.

2.3 Vereinfachungen, Suchräume und Heuristiken

Der Einsatz der von GORBA und HyGLEAM genutzten Heuristiken ist erst nach bestimmten Annahmen möglich. Im ersten Unterabschnitt werden diese Annahmen in Kürze vorgestellt. GORBA und HyGLEAM nutzt verschiedene Suchräume und eine jeweilige Menge von Heuristiken, um Schedules zu erzeugen. HyGLEAM kann mit zwei alternativen Suchräumen arbeiten, welche im HyGLEAM-Kontext mit „Handlungsmodellen“ oder Genmodellen bezeichnet werden. Bislang werden beide Konzepte weiter entwickelt und untersucht. In den letzten beiden Unterabschnitten werden diese beiden Suchräume definiert und analysiert. Dazu werden auch die jeweiligen Heuristiken vorgestellt, mit denen

anhand der von HyGLEAM gefundenen Individuen bewertbare Schedules generiert werden.

2.3.1 Vereinfachende Annahmen über das Schedulingproblem

Ressourcen können mit Hilfe von Abhängigkeitsbeziehungen miteinander verknüpft werden. So kann unter anderem abgebildet werden, dass ein System in verschiedenen Konfigurationen betrieben werden kann. Eine Ressourcenbeschreibung könnte zum Beispiel lauten „Linux-Ressource 1 benötigt Rechner A“ und „Windows-Ressource 2 benötigt Rechner A“. Außerdem können „virtuelle“ Ressourcen definiert werden mit dem Zweck, Ressourcengruppen geeignet abzubilden. Eine Ressourcenbeschreibung könnte in diesem Fall „Cluster A benötigt Rechner 1 bis 8“ lauten. Eine Vereinfachung besteht darin, dass die Zuordnungsfunktion μ nunmehr nur noch alternative Ressourcen, nicht Ressourcenmengen betrachtet. Dadurch vereinfachen sich auch Kosten- und Zeitbedarfsfunktion.

Die Kosten einer Ressourcenmenge entsprechen der Summe der Kosten ihrer Elemente, die Kosten können über die Zeit als weitgehend konstant angenommen werden:

$$\int_{s(O_{ij})}^{s(O_{ij})+t(O_{ij},R_{ij})} c(R_{ij}, z) dz = \int_0^{t(O_{ij},R_{ij})} \sum_{M_j \in R_{ij}} c(M_j, \text{const})$$

Dies ermöglicht einfache Heuristiken zur Ressourcenallokation: Die Kosten der Alternativen aus der Zuordnungsfunktion werden einmalig ermittelt und dienen dann den Allokationsheuristiken für die gesamte Planungsphase als Grundlage. Die Note eines Individuums wird jedoch nach wie vor auf Basis der tatsächlichen, über die Zeit gegebenenfalls variablen Kostenfunktion berechnet, wodurch solche Preisschwankungen dennoch berücksichtigt werden.

Der Zeitbedarf für einen Job wird über eine Einheit „Leistungseinheiten“ ermittelt. Jeder Job hat einen definierten Bedarf $t_1(O_{ij})$ an Ressourcenleistung in Leistungseinheiten, Leistungen von Ressourcen werden in „Leistungseinheiten pro Zeit“ $t_2(M_j)$ angegeben. Dadurch vereinfacht sich die Zeitbedarfsfunktion:

$$t(O_{ij}, R_{ij}) = \frac{t_1(O_{ij})}{\sum_{M_j \in R_{ij}} t_2(M_j)}$$

Bisher wurde die Zeit als ein stetiger Parameter dargestellt. Tatsächlich wird in Zeitschritten (zum Beispiel Sekunden) gerechnet. Eine aufwändige numerische Berechnung der Integrale wird somit über deren Umformulierung zu Summen über diskrete Zeitschritte überflüssig.

2.3.2 Konventionelle Planungsheuristiken von GORBA

GORBA verfügt über zwei verschiedene grundsätzliche Heuristiken, um Initiallösungen für die Optimierung zu generieren. Dabei werden jeweils durch einfache Prioritätsregeln Elemente in die Lösung aufgenommen und jeweils einer der drei im Folgenden beschriebenen Allokationsheuristiken zugeführt. Dadurch entstehen sechs initiale Lösungen, welche zum Beispiel als Individuen der Startpopulation für die evolutionäre Optimierung mit Hilfe von HyGLEAM dienen. Diese Initiallösungen sind besser als zufällig generierte Lösungen, jedoch erfüllen sie praktisch nie die Nebenbedingungen des GORBA-Problems.

2.3.3 Planungsheuristiken für das Modell K2

Die Elemente dieses Suchraumes bestehen aus einer Permutation aller Operationen sowie der Angabe einer Allokationsheuristik. Sowohl die Permutation als auch die Auswahl der Heuristik wird von GLEAM oder HyGLEAM im Rahmen der Optimierung evolutionär optimiert. Die Allokationsheuristiken erstellen einen Belegungsplan, indem den Operationen in der gegebenen Reihenfolge durch eine der folgenden Heuristiken jeweils Ressourcen und eine Startzeit zugeordnet werden:

Global Fast: Die billigste aller schnellstmöglichen Ressourcen wird zum nächstmöglichen Zeitpunkt reserviert.

Global Cheap: Die schnellste aller billigstmöglichen Ressourcen wird zum nächstmöglichen Zeitpunkt reserviert.

Applikationsspezifisch: Für jede Operation wird ein Parameter des zugehörigen Jobs ausgewertet, der angibt, welche der beiden obigen Ressourcen verwendet werden soll.

Jeder Job J_i besitzt n_i Operationen und es existieren 3 Allokationsheuristiken. Es werde vereinfachend angenommen, dass auch Elemente dieses Suchraumes die Vorgängerbeziehung berücksichtigen müssen (für alle anderen Permutationen wird diese Eigenschaft mit Hilfe von Reparaturmechanismen gesichert). Als Abschätzung von p werde angenommen, dass jede Operation im Durchschnitt einen Vorgänger und einen Nachfolger habe.

Die Größe des Suchraumes lässt sich (wenn auch nur sehr grob) mit

$$\frac{\left(\sum_{i=0}^n n_i\right)! * 3}{2^{\left(\sum_{i=0}^n n_i\right)}} = 3 * \prod_{g=1}^{|O|} \frac{g}{2}$$

disjunkten Elementen abschätzen. Für ein Szenario mit 50 Operationen beträgt dieser Ausdruck etwa 10^{50} . Für die momentane Implementierung gilt, dass eine Optimierung durch vollständige Enumeration bereits bei 16 Operationen länger als einen Tag dauern würde.

2.3.4 Planungsheuristik für das Modell K1

Elemente des Suchraumes bestehen aus einer Permutation aller Operationen sowie einer Zuordnung jeder Operation zu einer für sie möglichen Ressource. Die (triviale) Planungsheuristik besteht darin, die Operationen zum jeweils frühestmöglichen Zeitpunkt (d.h. wenn die Vorgänger abgearbeitet sind und die Ressource für die Dauer der Operation frei ist) zu belegen. Der Suchraum ist offensichtlich deutlich größer als der Suchraum bei heuristischer Ressourcenauswahl. Eine Lösung durch Enumeration verbietet sich auch hier.

Das Modell K1 bietet den Vorteil einer differenzierten Zuordnung von Operationen zu Ressourcen. Die Allokationsheuristiken für K2 können teils nicht die guten Lösungen erstellen, die mit K1 erreicht werden. Allerdings sind die Allokationsheuristiken sehr schnell, während der größere Suchraum von K1 mehr Suchaufwand erfordert. Bei zeitgesteuerten Experimenten werden die besseren Ergebnisse bei Verwendung von K2 erreicht. Im Rahmen dieser Arbeit wurde daher ein Schwerpunkt auf dieses Modell gelegt. Bei Experimenten ohne Zeitlimit werden durch die Verwendung des Modells K1 die besseren Ergebnisse erreicht.

2.4 Einordnung des Problems

2.4.1 Klassifizierung

Das Gorba-Problem erweist sich als sehr komplex. Es werden viele Komponenten berücksichtigt, es existieren mehrere Nebenbedingungen und die Zielfunktion ist eine Komposition unterschiedlichster Funktionen.

Als Ansatz einer Klassifizierung werden an dieser Stelle einige Charakteristiken gemäß [Bru04] angegeben. Mit **o** sei dabei gekennzeichnet, dass die entsprechende Eigenschaft für das GORBA-Problem nicht angegeben werden kann.

$\alpha_1 = \mathbf{GMPM}$: Es handelt sich um so genannte multi-purpose Maschinen, die Zuordnungsfunktion μ gibt an, welcher Job auf welcher Maschine bearbeitet werden kann. Auch wenn GMPM-Probleme normalerweise nicht über ein Operationsmodell definiert werden, wie dies hier getan wird, so kann jedoch nicht von einem Shop-Scheduling Problem gesprochen werden, da die bekannten Shop-Scheduling Probleme stets weitere Einschränkungen an die Vorgängerbeziehung und die Zuordnungsfunktion umfassen.

$\alpha_2 = \mathbf{o}$: Die Anzahl der Ressourcen m ist beliebig, insbesondere kann $m \gg 2$ angenommen werden.

$\beta_1 = \mathbf{o}$: Operationsunterbrechungen (preemption) sind nicht erlaubt.

$\beta_2 = \mathbf{prec}$: Es existieren Vorgängerbeziehungen, angegeben durch die Funktion p . Bis auf Transitivität und Nichtreflexivität werden über diese Relation keine Aussagen gemacht.

$\beta_3 = \mathbf{o}$: Jobs haben keine früheste Startzeit.

$\beta_4 = \mathbf{individuelle } t(O_{ij}, R_{ij})$: Die Laufzeiten werden durch t angegeben und sind job- und ressourcenspezifisch.

$\beta_5 = \mathbf{individuelle } d_i$: Es existieren Zeitlimits d_i .

$\beta_6 = \mathbf{o}$: Es handelt sich nicht um ein Batch-Problem, Reihenfolgen müssen lediglich die Vorgängerbeziehungen respektieren. Rüstzeiten spielen keine Rolle.

$\gamma = \mathbf{Fitness}$: Die komponierte Optimierungsfunktion ist sehr komplex.

Das GORBA-Problem ist also mit

$$GMPM|prec, t(i, \mu), c(i, \mu), d(j), c_j|Fitness$$

zu notieren. Ein vergleichbares Problem konnte in der Literatur nicht identifiziert werden (siehe [Bru04] sowie [Bru06] für umfangreiche Darstellungen bekannter Schedulingprobleme).

2.4.2 Komplexität

Offensichtlich ist das GORBA-Problem NP-vollständig. An dieser Stelle sei nur eine Beweisskizze geliefert. Gegeben sei:

1. Es gilt $2 < m < n$, es gibt weniger Maschinen als Jobs.
2. d_i entspricht der Summe aller Jobbearbeitungszeiten, Deadlines werden also vernachlässigt.
3. Es wird nur noch das Kriterium der relativen Gesamtfertigstellungszeit betrachtet, alle anderen Kriteriengewichte seien 0.
4. c_i ist sehr groß und c liefere immer 1. Kosten werden also vernachlässigt.
5. Alle μ seien einelementig, jede Operation ist also genau einer Maschine zugeordnet.

Durch die Restriktionen 1. und 2. entspricht das Kriterium der relativen Gesamtfertigstellungszeit dem Makespan. Wegen 3. ist dies das einzige Optimierungskriterium. Durch 2. und 4. sind alle Lösungen straffrei. Durch die Restriktion 5. entspricht das so beschriebene Problem dem Job Shop Schedulingproblem.

Das Job Shop Scheduling Problem ist demnach ein Spezialfall des GORBA-Problems. Anders ausgedrückt kann mit Hilfe dieser Parameterwahl das Job Shop Scheduling Problem einfach auf das GORBA-Problem reduziert werden. Das Job Shop Scheduling Problem ist bis auf wenige Spezialfälle NP-vollständig, für eine Übersicht über NP-vollständige Probleme sowie entsprechende Beweise sei erneut auf [Bru04] verwiesen. Daraus folgt, dass das GORBA-Problem ebenfalls NP-vollständig ist (siehe zum Beispiel [GD79]).

2.5 Benchmarkaufgaben

Eine Beschreibung der benutzten Benchmarks findet sich in [SJQS06b]. Zur Bewertung eines Lösungsverfahrens wurden synthetische Benchmarkszenarien entwickelt, im Rahmen dieser Arbeit wurden 16 Szenarien untersucht. Jedes Szenario umfasst eine Beschreibung der Ressourcen, den Listen von Application Jobs und den zugehörigen Grid Jobs sowie allen weiteren in Abschnitt 2.1.1 eingeführten Elementen.

2.5.1 Testszenarien

Die Szenarien unterscheiden sich durch folgende Parameter:

- Der Grad der Ressourcenauswahlmöglichkeiten oder Parallelität misst die Anzahl der Elemente in den Mengen μ_{ij} . Dieser Parameter misst also nicht die Anzahl der Ressourcen, sondern die Anzahl der Alternativen, die für einen Grid Job gewählt werden kann. Ist dieser Parameter hoch, so hat ein Lösungsverfahren mehr Freiheiten bei der Ressourcenallokation. Dieser Parameter kann in den Benchmarks einen hohen oder einen niedrigen Wert annehmen.
- Der Abhängigkeitsgrad bezieht sich auf die von p geforderten Vorgängerbeziehungen. Ein hoher Abhängigkeitsgrad bedeutet weniger Freiheiten bei der zeitlichen Planung der Grid Jobs. Auch hier sind die Szenarien so konstruiert, dass dieser Abhängigkeitsgrad zwei Werte, einen großen oder geringen, annehmen kann.

- Die Anzahl der Grid Jobs beträgt 50, 100 oder 200. Zusätzlich existiert ein Szenario mit dem Kürzel „200d“. Hierbei wurde von jeder Ressource des Szenarios mit 200 Grid Jobs ein zweites Exemplar konfiguriert, es steht also die doppelte Anzahl an Ressourcen zur Verfügung.

Zur Berechnung des Abhängigkeitsgrades und der Ressourcenauswahlmöglichkeiten sei auf [SJQS06b] verwiesen. Im Folgenden werden die Benchmarkszenarien durch Abkürzungen wie „kRgA 200d“ bezeichnet, welches in diesem Fall das Szenario mit kleinem Ressourcenauswahlgrad, großem Abhängigkeitsgrad, 200 Grid Jobs sowie vielen Ressourcen darstellt. Die Abkürzungen der anderen 15 Szenarien ergeben sich entsprechend.

2.5.2 Erfolgskriterien

Da die untersuchten Optimierungsverfahren auf Zufallsprozessen beruhen, werden zur Bewertung eines Verfahrens stets mehrere Läufe durchgeführt. In den durchgeführten Experimenten wurden, sofern nicht anders angegeben, jeweils 50 Läufe durchgeführt. Dem Optimierungsverfahren stehen pro Lauf 3 Minuten Rechenzeit zur Verfügung. Jeder Test eines der 16 Benchmarkszenarios benötigt demnach 2:30 Stunden. Die Ergebnisse werden anschließend mit statistischen Methoden ausgewertet.

Als Referenzwerte wird zunächst für jedes Szenario die höchste Note einer Initiallösung der konventionellen Planungsheuristik berechnet. Dabei werden die Straffunktionen bei der Berechnung ignoriert. Das Überschreiten dieser „Rohnote“ durch einen Optimierungsalgorithmus wird als Erfolg gewertet, wobei für den Optimierungsalgorithmus die Straffunktionen aktiviert werden. Als Erfolgsraten werden dabei die Wahrscheinlichkeiten bezeichnet, die vorgegebene Rohnote zu überschreiten beziehungsweise eine straffreie Lösung zu finden.

Ein zweites Kriterium ist die Note des besten gefundenen Individuums. Nach den Läufen wurde jeweils die minimale, mittlere und maximale Note berechnet. Ebenso wurde die Breite des 95% Konfidenzintervalls berechnet.

Im Falle von HyGLEAM sind Konvergenzkriterien definiert. Der Algorithmus bricht ab, wenn über eine definierbare Anzahl Generationen weder global noch einer begrenzten

Nachbarschaft ein neues Optimum gefunden wird. Die mittleren Zeiten bis zum Erreichen der Konvergenz werden zwar ermittelt, jedoch nicht weiter beachtet. Weitere Konvergenzkriterien wie das Erreichen eines Notenniveaus können ebenfalls angegeben werden, auch hiervon wurde abgesehen.

Bei der Verwendung des Modells K2 wird auch die Verteilung der Allokationsheuristiken, mit denen das jeweils beste Ergebnis erzielt wurde, angegeben.

Weiterhin werden verfahrensspezifische Daten erhoben, siehe hierzu den Abschnitt 3.6.

Kapitel 3

Der evolutionäre Algorithmus HyGLEAM

In diesem Kapitel wird der evolutionäre Algorithmus GLEAM sowie die aktuelle und hybridisierte Variante HyGLEAM beschrieben. Das Ziel bei der Entwicklung von GLEAM war die Schaffung eines universell einsetzbaren praxistauglichen Optimierungswerkzeuges. Mit der Erweiterung zu HyGLEAM wurden neue Möglichkeiten geschaffen, den Algorithmus an besondere Probleme anzupassen. Seine Leistungsfähigkeit haben beide Algorithmen schon oft unter Beweis gestellt, in [JBB04] werden unter anderem Anwendungen zur Robotersteuerung, Designoptimierung oder Dienstplanerstellung aufgeführt.

Im ersten Abschnitt dieses Kapitels wird zunächst in knappen Zügen die Entwicklung evolutionärer Algorithmen dargestellt, für eine detailliertere Einführung wird auf entsprechende Literatur verwiesen.

Im zweiten Abschnitt werden einige besondere Konzepte und Mechanismen von GLEAM und HyGLEAM beschrieben, welche diese von anderen evolutionären Algorithmen abheben. Aktionsketten als Repräsentationskonzept bieten vielfältige Möglichkeiten zur Modellierung unterschiedlichster Problemstellungen. Die genetischen Mutations- und Rekombinationsoperatoren werden vorgestellt. Die Selektion beruht auf einem ausgefeilten Populationsmodell, welches zum Beispiel Nischenbildung ermöglicht. Zur Einbindung zusätzlicher lokaler Suchverfahren wurde ein Adaptionmechanismus geschaffen, mit dem

lokale Suchverfahren gezielt angesteuert werden können.

Zur Nutzung von HyGLEAM bei der Lösung des GORBA-Problems sind einige Konfigurationen und Anpassungen nötig. Im dritten Abschnitt werden die zwei Genmodelle für die Lösung des GORBA-Problems beschrieben. Außerdem wird beschrieben, wie die Benchmarks aus Abschnitt 2.5 durchzuführen sind.

3.1 Evolutionäre Algorithmen

Evolutionäre Algorithmen beruhen auf der Evolutionstheorie nach Darwin [Dar59]. Der zugrunde gelegte natürliche Evolutionsprozess basiert auf zufälligen Mutationen des Erbgutes (Genotyp) von Individuen, der Rekombination durch sexuelle Reproduktion und Selektionsmechanismen. Die zufälligen Mutationen des Genotyps bewirken eine Veränderung des Erscheinungsbildes (Phänotyp) der Lebewesen, welche sich anhand dieses Genotyps entwickeln. Lebewesen, die aufgrund ihres Phänotyps besser an ihre Umgebung angepasst sind, erhalten durch die natürliche Selektion eine höhere Chance zur Fortpflanzung. Nachteilige Mutationen des Genotyps werden dadurch mit geringerer Wahrscheinlichkeit an Nachkommen vererbt als vorteilbehaftete Änderungen des Erbgutes.

Die Evolution nach Darwin ist also ein Anpassungsprozess, der die Überlebensfähigkeit (Fitness) der Individuen einer Population in einer jeweiligen Umgebung optimiert. Evolutionäre Algorithmen haben dieses Optimierungsverfahren zum Vorbild. Unter dem Oberbegriff des evolutionären Algorithmus können mehrere teils unabhängige Entwicklungen vereinigt werden, so zum Beispiel:

- Genetische Algorithmen [Hol75]
- Evolutionäres Programmieren [FOW66]
- Evolutionsstrategien [Rec94]

Evolutionäre Algorithmen sind Inhalt zahlreicher Lehrbücher. Einen guten und aktuellen Überblick über das Feld geben zum Beispiel [ES03, WH04, Poh00], einen theoretischen Ansatz verfolgt [DeJ06]. Alle aufgeführten Strömungen werden intensiv weiter

erforscht, und neben den oben aufgeführten und grundlegenden Werken gibt es viele weiterführende Veröffentlichungen.

Genetische Algorithmen erfreuen sich einer hohen Popularität, da sie vergleichsweise einfach zu erklären sind und bereits vielfach theoretisch untersucht wurden. Das Genmodell beruht auf Bitfolgen, die Mutations- und Rekombinationsoperatoren sind teilweise sehr einfach gehalten. Ein beispielorientiertes Lehrbuch ist [Dav92], einen Überblick über Anwendungen gibt [Gol04]. Evolutionary Programming wird in [Mic96] gut erklärt. Das wesentliche Merkmal dieses Verfahrens sind komplexere Datenstrukturen zur Repräsentation von Individuen. In das Thema der Evolutionsstrategien wird auch in [Kos03, Bey01, Sch95] eingeführt.

3.2 Das Konzept der Aktionskette

Die Repräsentation von Individuen geschieht in HyGLEAM mit Hilfe von so genannten Aktionsketten (siehe hierzu beispielsweise [BJ02]). Der Aufbau dieser segmentierbaren Abfolge von Aktionen wird im Genmodell beschrieben. Im GLEAM-Kontext wird dies auch als Handlungsmodell bezeichnet, es wird in Dateien mit der Endung *.mod* konfiguriert. Aktionsketten können variable oder feste Längen haben. Es können Typen von Aktionen unterschieden werden, an einzelne Aktionen können reellwertige oder ganzzahlige Parameter geknüpft werden. Über die Auswahl zulässiger genetischer Operatoren können weitere Eigenschaften zugesichert werden, beispielsweise kann eine Löschung oder Kopie eines Elementes verhindert werden.

Die Interpretation von Chromosomen als parametrisierbare Aktionen rührt von einem in [Blu90] eingeführten Verständnis von GLEAM. Demnach wird mit GLEAM ein Lebewesen modelliert, welches Sensoren und Aktoren besitzt und Verhaltensmuster kennt und lernen kann. Verschiedene Verhaltensmuster können zu komplexen Aktionsketten verkettet werden, wodurch eine segmentierte Aktionskette entsteht. GLEAM wird unter anderem zur Steuerung von Industrierobotern benutzt, die Auffassung von Lösungen als Aktionsketten sind hierbei besonders anschaulich: Eine Aktion kann zum Beispiel der Befehl an einen Aktor sein, mit einer angegebenen Beschleunigung eine Bewegung vorge-

gebener Weite durchzuführen. Ein Beispiel für ein Verhaltensmuster wäre eine Folge von Aktionen zum Wechseln eines Werkzeuges oder ein Nothalt aller Motoren.

3.2.1 Handlungsmodell K2

In Abschnitt 2.3.3 wurde der Suchraum mit heuristischer Ressourcenallokation vorgestellt. Mit GKomb2 oder K2 wird das dazugehörige kombinatorische Handlungsmodell für das GORBA-Problem bezeichnet. Für jeden GridJob gibt es genau eine Aktion, die jedoch keine weiteren Parameter mehr besitzt. Die Reihenfolge der Aktionen gibt die Reihenfolge an, mit denen die GridJobs der Allokations- und Planungsheuristik übergeben werden. Des Weiteren gibt es in jeder Aktionskette genau eine so genannte Ressourcen-Auswahlstrategie-Aktion. Sie besitzt einen ganzzahligen Parameter, der die zu verwendende Allokationsheuristik angibt und der der Evolution unterworfen werden kann. Die Position dieser Aktion ist irrelevant.

3.2.2 Handlungsmodell K1

In Abschnitt 2.3.4 wurde der Suchraum mit evolutionärer Ressourcenallokation eingeführt. Das entsprechende Handlungsmodell wird auch mit GKomb1 oder kurz K1 abgekürzt. Wiederum existiert für jeden GridJob existiert genau eine Aktion. Die Aktionen besitzen hierbei einen Integer Parameter, der evolutionär variiert werden kann. Der Parameter gibt an, welche Ressource aus der Liste der möglichen Ressourcen für diesen GridJob eingeplant werden soll. Die Reihenfolge der Aktionen gibt die Reihenfolge an, mit denen die GridJobs der Planungsheuristik übergeben werden. Eine Ressourcen-Auswahlstrategie-Aktion wird in diesem Fall ignoriert.

3.3 Die genetischen Operatoren

Aktionsketten werden im Rahmen des Evolutionsprozesses durch Mutationsoperatoren manipuliert und Nachkommen durch Anwendung von Rekombinationsoperatoren generiert. So können ein oder alle Parameter einer oder aller Aktionen innerhalb von gegebener

nen Grenzen zufällig neu gesetzt oder um definierbare Schritt variiert werden. Beispiele für implementierte Operatoren mit Einfluss auf die Aktionsreihenfolge sind:

- Verschiebung eines Segmentes, also einer Folge von Aktionen
- Verschiebung einer einzelnen Aktion, auch über Segmentgrenzen hinaus
- Invertierung eines Segmentes, also eine Umkehrung der Anordnung der Aktionen
- Verschiebung von Segmentgrenzen
- Aufteilung eines Segmentes in zwei neue Segmente
- Verschmelzung zweier Segmente zu einem Segment

Über Rekombinationsoperatoren können Nachkommen erzeugt werden, welche Eigenschaften zweier Eltern vereinen. Das Verhalten der Rekombinationsoperatoren kann vielfältig konfiguriert werden. So kann vor Anwendung eines Rekombinationsoperators eine Prüfung des Hammingabstandes zwischen zwei Eltern stattfinden. Sind sich Eltern zu ähnlich, so wird auf eine Paarung verzichtet.

Es existieren zahlreiche Rekombinationsoperatoren zur Reihenfolgeoptimierung. Entsprechende Operatoren finden sich zum Beispiel in [ES03]. Auf Anraten des Autors dieser Arbeit wurden zwei solcher Operatoren von Herrn Dr. Jakob implementiert, ein Order-Crossover aus [Dav92] und der Precedence Preserving Crossover, der sowohl bei in [BW93] als auch in [BMK96] Erwähnung findet. Bei ersten Tests konnte eine leichte Steigerung der Performanz von GLEAM erreicht werden. Detaillierte Ergebnisse stehen jedoch noch aus.

3.4 Das Nachbarschaftsmodell

Das in HyGLEAM implementierte Populationsmodell wird in [GS90] dargestellt. Demnach wird eine Population als eine angeordnete Menge von Individuen aufgefasst, zwischen denen durch die Anordnung Nachbarschaftsbeziehungen bestehen können. Die Größe dieser durch Nachbarschaft (Demes) verknüpften Mengen wird als Deme-Size bezeichnet. Der

Selektionsmechanismus kann diese Nachbarschaft berücksichtigen, wodurch eine Nischenbildung ermöglicht wird. Dadurch wird eine genetische Vielfalt zwischen allen Individuen gesichert und eine zu schnelle Konvergenz des Verfahrens vermieden.

Das Verfahren verhält sich sowohl auf die Nachbarschaft, als auch auf diese Nachbarschaft von Knoten bezogen, elitär. Das bedeutet, dass weder die global beste Lösung, noch die beste Lösung der jeweiligen Demes im Rahmen der Evolution verworfen werden kann. Ein positives Konvergenzverhalten kann dadurch gesichert werden. Die Anzahl an Generationen, die ohne Verbesserung des globalen beziehungsweise lokalen besten Individuums verstreicht, wird neben einem Zeitlimit als ein Abbruchkriterium verwendet.

3.5 Lokaler Suchverfahren und Adaptionismus in HyGLEAM

Lokale Suchverfahren können auf verschiedene Arten in evolutionäre Algorithmen eingebunden werden. In [Jak04b] werden verschiedene untersuchte Möglichkeiten zur Integration solcher Verfahren vorgestellt. Für die vorliegende Arbeit wurde eine adaptive direkte Integration jeweils eines lokales Suchverfahrens gewählt. HyGLEAM ist in dieser Konfiguration als adaptiver, einfach-memetischer evolutionärer Algorithmus zu klassifizieren.

Der Adaptionismus entscheidet sehr differenziert, welche Individuen durch welche lokalen Suchverfahren bearbeitet werden sollen. Der Adaption sind folgende Parameter unterworfen:

- Die Wahrscheinlichkeit, alle Nachkommen einer Generation durch ein lokales Suchverfahren zu optimieren
- Bei Konfigurationen von HyGLEAM als adaptivem multi-memetischen Algorithmus jeweilige Wahrscheinlichkeiten zur Auswahl der verschiedenen lokalen Suchverfahren
- Für jedes Suchverfahren eine beliebige Anzahl definierbarer Steuerparameter

Für jeden Parameter ist eine sortierte Liste gültiger Werte anzugeben, unter denen der Adaptionismus wählt. Beim Aufruf eines lokalen Suchverfahrens wird diesem

eine Aktionskette und der Steuerungsparameter übergeben. Anhand der Anzahl der vom lokalen Suchverfahren aufgerufenen Evaluationen und der erzielten Note wird der Erfolg des Aufrufes als Notengewinn pro Rechenzeit abgeschätzt. Die Adaption kann zwischen verschiedenen Notenniveaus von Individuen differenzieren und die Parameter für diese Notenklassen unterschiedlich anpassen.

3.6 Durchführung der Benchmarks

Zur Durchführung eines Benchmarks für das GORBA-Problem sind zahlreiche Schritte durchzuführen. Zunächst muss das zu untersuchende Verfahren in HyGLEAM implementiert und integriert werden. Die Steuerungsparameter des lokalen Suchverfahrens sind zu definieren. Danach muss eine Version von HyGLEAM kompiliert werden. Hierzu gibt es zwei Möglichkeiten: Zum einen kann eine interaktive Version erstellt werden, die zahlreiche Kommandos zur Analyse bietet. Ebenso kann eine durch Skripte aufrufbare Version generiert werden, wie sie im Produktiveinsatz genutzt wird und die ohne weitere Benutzereingriffe Optimierungsläufe durchführen kann.

Das Handlungsmodell ist in einer entsprechenden Konfigurationsdatei zu definieren, unter anderem sind alle zu adaptierenden Parameter inklusive einer Werteliste vorzugeben. Weiterhin muss eine Experimentdatei erstellt werden, welche weitere Parameter definiert und in der sich Verweise auf zusätzliche Dateien befinden. Hierzu gehören Konfigurationsdateien wie jene zur Beschreibung des Handlungsmodells, Joblisten zur Beschreibung der Problemistanz (siehe Abschnitt 2.5), die Ausgaben der konventionellen Planung als Initiallösungen und ein Ort zur Speicherung der Optimierungsergebnisse.

Über Shell-Skripte wird HyGLEAM aufgerufen, wobei der Ort der Experimentdatei, ein Speicherort für eine Logdatei sowie diverse Steuerungsparameter übergeben werden. Diese Steuerungsparameter beinhalten unter anderem das Zeitlimit und die zu verwendende Populationsgröße. Über geeignete Skripte kann HyGLEAM mehrfach aufgerufen werden, wodurch statistisch aussagekräftige Analysen möglich werden.

Für jedes in Abschnitt 2.5 beschriebene Testszenario ist dieser Prozess zu wiederholen. Jedes Szenario wird mit verschiedenen Handlungsmodellen untersucht und jeweils ist

durch Versuche die optimale Populationsgröße zu bestimmen.

Die Ergebnisse der Aufrufe werden in Logfiles geschrieben, welche mit Hilfe eines speziell generierten Auswertungsprogrammes analysiert werden können. Neben den zuvor beschriebenen Erfolgsraten und Notenverteilungen wird ebenso das Verhalten des evolutionären Algorithmus untersucht. Dies sind:

- Die Populationsgröße, welche vorgegeben wurde
- Die Anzahl der Adaptionen durch den Adaptionsmechanismus in HyGLEAM
- Die mittleren Level der adaptierten Parameter (nicht die mittleren Werte!)
- Die per Adaption festgelegte Wahrscheinlichkeit, das LSV auf alle Individuen anzuwenden
- Die mittlere Anzahl der untersuchten Generationen
- Die mittlere Anzahl der Evaluationen (LSVs zählen die Evaluationsaufrufe mit)

Für vergleichbare Ergebnisse wurden alle Tests auf identischer Hardware ausgeführt. Hierfür wurden 5 identisch ausgestattete Arbeitsplatzrechner genutzt, wobei ein Testprozess an einen von zwei CPU-Kernen gebunden war. Die Rechner sind mit AMD Opteron Dual Core Prozessoren und mehreren Gigabyte Arbeitsspeicher ausgestattet, wobei HyGLEAM einen vernachlässigbaren Speicherbedarf hat.

Nur wenn sichergestellt werden konnte, dass einem Testprozess stets die gesamte CPU-Leistung zur Verfügung stand, wurde ein entsprechender Prozess gestartet. Dies ist insbesondere nachts und am Wochenende oder bei geringer Belastung während der Arbeitszeit der Fall. Zur Testdurchführung wurden die vorbereiteten Shellskripte per SSH auf den Maschinen ausgeführt, während die Testumgebung über einen Fileserver per NFS zur Verfügung gestellt wurde.

Entsprechende Testläufe der Auswertung wurden mit Hilfe der Optimierung mittels GLEAM durchgeführt und dienen als Referenz für alle untersuchten lokalen Suchverfahren in HyGLEAM. In Abbildung 3.1 wurden die Erfolgsraten von GLEAM mit dem Genmodell K1 und einem genotypischem Reparaturmechanismus abgebildet. Abbildung 3.2 zeigt

die Erfolgsraten mit dem Genmodell K2 sowie einem phänotypischen Reparaturmechanismus.

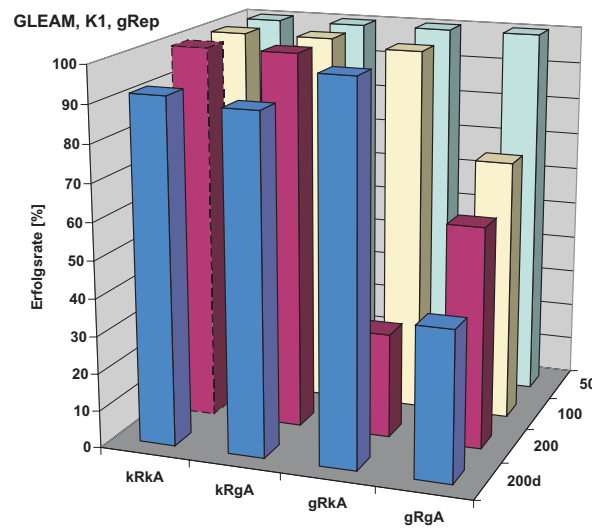


Abbildung 3.1: Erfolgsraten von GLEAM / K1 / gRep

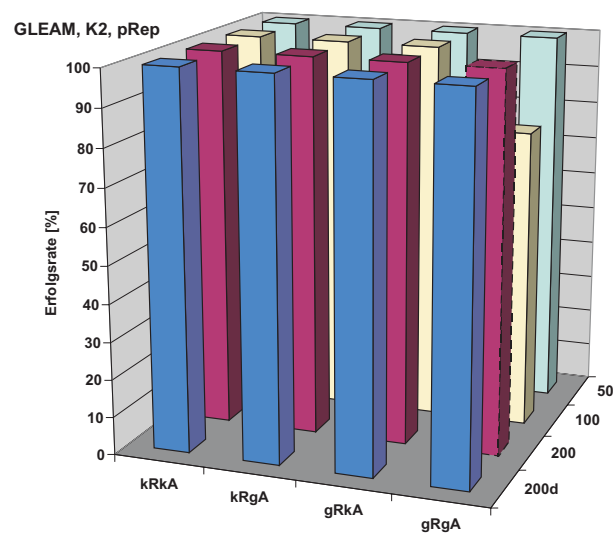


Abbildung 3.2: Erfolgsraten GLEAM / K2 / pRep

Kapitel 4

Lokale Suchverfahren für Reihenfolgeprobleme

Lokale Suchverfahren lassen sich durch folgendes Vorgehen beschreiben: Von einem Element des Suchraumes ausgehend werden schrittweise neue Elemente des Suchraumes ausgewählt und untersucht. Die Auswahlmöglichkeiten in jedem Schritt werden durch eine Nachbarschaftsfunktion angegeben. Die Gestalt des Suchraumes, die Nachbarschaftsfunktion sowie der Auswahlmechanismus sind wesentliche Charakteristiken lokaler Suchverfahren.

Eine gute Einführung in das Design lokaler Suchverfahren bietet das Kapitel 12 in [KT05]. Anwendungen in der kombinatorischen Optimierung werden in Kapitel 19 in [PS98], in Kapitel 3.5 in [Par02] sowie in [AL97] beschrieben. Einen Überblick über stochastische lokale Suchverfahren bietet [HS05].

Metaheuristiken sind besondere lokale Suchverfahren, evolutionäre Algorithmen wie HyGLEAM sind Vertreter dieser Algorithmenklasse. Suchraum, Nachbarschaftsfunktion und Auswahlmechanismus sind hierbei für verschiedene Optimierungsprobleme einsetzbar. Metaheuristiken arbeiten nach dem Black-Box Prinzip, die Lösung eines Problems erfordert lediglich die Einbindung einer Funktion in die Metaheuristik, welche für ein gegebenes Element des Suchraumes dessen Qualität bezüglich einer Zielfunktion liefert. Die Anwendung einer Metaheuristik ist daher sehr einfach und kann in vielen Fällen bereits

zufrieden stellende Ergebnisse liefern.

Der Vorteil von Metaheuristiken, ihre universelle Einsetzbarkeit, ist mit einem Nachteil verbunden: Auf ein bestimmtes Problem zugeschnittene Algorithmen können in der Regel wesentlich bessere Ergebnisse erzielen als allgemeingültige Verfahren. Im Folgenden Abschnitt wird zunächst begründet, warum Metaheuristiken nur begrenzt leistungsfähig sein können und wie dem begegnet werden kann.

Im zweiten Abschnitt dieses Kapitels werden Optimierungsmuster als ein neues Konzept eingeführt. Optimierungsmuster dienen der Charakterisierung von Problemen und helfen beim Design neuer lokaler Suchverfahren. Dabei werden mehrere Optimierungsmuster eingeführt. Diese Optimierungsmuster wurden bei der Integration von lokalen Suchverfahren in HyGLEAM berücksichtigt.

4.1 No Free Lunch

Einem universellen und leistungsfähigen Optimierungswerkzeug sind gemäß dem „no free lunch“-Theorem Grenzen gesetzt [WM97]: Gegeben sei ein Verfahren, welches eine maximale erwartete Performanz über alle Probleme einer allgemeinen Problemklasse besitzt. Vereinfachend kann davon ausgegangen werden, dass es spezielle Verfahren gibt, welche bezüglich eines beschränkten Anwendungsbereiches eine höhere erwartete Performanz bieten als das allgemeingültige Verfahren. Beim Design eines Optimierungsverfahrens muß demnach ein Tradeoff zwischen seiner Leistungsfähigkeit im Spezialfall und der Bandbreite der bearbeitbaren Probleme gefunden werden.

Diesem Problem begegnet man beim tatsächlichen Einsatz von Metaheuristiken oft durch die Verwendung hybrider Algorithmen. Zusätzlich zur Evaluierungsfunktion, der „Black Box“, werden problemspezifische Algorithmen integriert. Diese nutzen Wissen über die spezielle Gestalt des Problems, um beispielsweise den Suchraum einzuschränken oder die Auswahlfunktion zu verbessern. Solche Algorithmen definieren teils andere Nachbarschaftsbeziehungen, welche eine effektivere Optimierung ermöglichen.

Das Spektrum der von HyGLEAM lösbaren Probleme ist durchaus groß. Durch die Integration lokaler Suchverfahren (LSVs) kann der Algorithmus auf bestimmte Problem-

klassen zugeschnitten werden. Möglichkeiten zur Integration von LSVs in HyGLEAM werden in [Jak04b] vorgestellt.

Eine allgemeine Problemklasse ist die multidimensionale Parameteroptimierung. Für diese Klasse wurden bereits zwei lokale Suchverfahren in HyGLEAM integriert, namentlich das Rosenbrock-Verfahren [Ros60] und der Complex-Algorithmus nach Box [Box65]. Im Rahmen zahlreicher Benchmarks konnte gezeigt werden, dass die Integration dieser Suchverfahren einen deutlichen Performanzgewinn bedeutet. Anwendbar sind die Verfahren jedoch nur dort, wo Parameter auf reellwertigen, großen ganzzahligen oder entsprechenden gemischt-ganzzahligen Skalen zu optimieren sind.

Eine andere Problemklasse ist die Optimierung von Permutationen von Elementen. Insbesondere das Genmodell mit heuristischer Ressourcenallokation von GORBA stellt ein solches Permutationsproblem dar. Ziel dieser Arbeit ist die Integration lokaler Suchverfahren für ebendiese Problemklasse - wobei die Universalität von HyGLEAM nicht aufgegeben werden soll und eine alleinige Fokussierung auf das GORBA-Problem vermieden werden soll. Für ein genaueres Verständnis dieser Problemklasse dient das im folgenden Abschnitt eingeführte Konzept der Optimierungsmuster.

4.2 Ein neues Konzept: Optimierungsmuster

Als ein neues Konzept soll an dieser Stelle das der „Optimierungsmuster“ eingeführt werden. Die Funktion $f_A(x, a) \in \{TRUE, FALSE\}$ gebe für jedes Element x eines Suchraums (zum Beispiel eine Permutation oder ein Bitstring) und für jeden in einer geeigneten Sprache A formulierten Ausdruck a an, ob das Element dem Muster von a entspricht. Mit „Optimierungsmustern“ seien im folgenden die Ausdrücke entsprechender Sprachen gemeint.

Zur Entwicklung eines lokalen Suchverfahrens sind nun jene Sprachen A zu identifizieren, für die ein Zusammenhang zwischen $f_A(x, a)$ und der Güte der Lösung x besteht. Ein geeignetes lokales Suchverfahren identifiziert jene Muster a , für die ein positiver (negativer) Effekt auf die Lösungsgüte zu erwarten ist und bevorzugt (meidet) bei der Auswahl eines Nachbarn jene Elemente, die diesen Mustern entsprechen.

Der Begriff des Optimierungsmusters soll zunächst anhand einiger Beispiele deutlicher gemacht werden.

4.2.1 Beispiele für Optimierungsmuster

Im folgenden werden acht Sprachen, A1 bis A8 definiert.

Schemata und Building Blocks

Schemata werden insbesondere bei der Analyse von genetischen Algorithmen herangezogen, siehe zum Beispiel [ES03]. Schemata sind Ausdrücke in einer Sprache, die bereits 1975 von Holland in seiner grundlegenden Arbeit zu genetischen Algorithmen formuliert wird [Hol75]. Ausdrücke a der Schema-Sprache **A1** für n -dimensionale binäre Suchräume haben die Form $\{0, 1, -\}^n$. Dabei ist $f_{A1}(x, a)$ genau dann wahr, wenn x und a sich in allen Stellen, an denen in a kein $-$ steht, entsprechen.

Zahlreiche theoretische Untersuchungen zum Laufzeitverhalten evolutionärer Algorithmen beruhen auf der Analyse von Schemata oder dem verwandten Building Blocks Konzept. Die Auswirkungen genetischer Operatoren auf die Verteilung von Schemata sind sehr gut untersucht. Nichtsdestotrotz spielen Schemata bei der Analyse von Permutationsproblemen eine eher untergeordnete Rolle.

Auf zwei Elemente bezogene Muster

Ebenso einfache Optimierungsmuster sind direkte Nachfolger von Elementen einer Permutation. Die Muster der Sprache **A2** bestehe aus Tupeln (i, j) von jeweils einem Vorgänger i und einem Nachfolger j . $f_{A2}(x, (i, j))$ ist genau dann wahr, wenn in der Permutation x das Element j direkt hinter i steht.

Das Traveling Salesman Problem (TSP) in der euklidischen Ebene ist ein Beispiel für ein Optimierungsproblem, bei dem die Optimierung dieser Muster eine große Rolle spielt. Die Wegstrecke des Handlungsreisenden entspricht der Summe der Wegstrecken zwischen allen besuchten Punkten. Jede einzelne Strecke hängt nur von den beiden durch sie verbundenen Punkten ab. Im Gegensatz zu diesen direkten Nachfolgerbeziehungen lassen

absolute Positionen von Punkten in der Reihenfolge wenig Aussagen über die Qualität einer Lösung zu. Ein sehr bekanntes und erfolgreiches lokales Suchverfahren hierzu ist das variable r-Opt Verfahren [LK73].

Eine einfache Erweiterung der Optimierungsmuster „direkte Nachfolger“ sind zweiwertige Ordnungen von Elementen. Die zugehörige Funktion der Sprache **A3**, $f_{A3}(x, (i, j))$, ist genau dann wahr, wenn in der Permutation x das Element j an einer beliebigen Stelle hinter i steht. Genauer als Optimierungsmuster der Sprache A3 und damit ebenfalls eine Erweiterung der Optimierungsmuster von A2 sind jene der Sprache **A4**. Diese Muster umfassen Elementabstände: Die Funktion $f_{A4}(x, (i, j, d))$ ist in diesem Fall genau dann wahr, wenn die Differenz der Positionen der Elemente j und i genau d beträgt.

Auf Mengen von Elementen bezogene Muster

Segmente sind Kombinationen aus mehreren direkten Nachfolgermustern, welche an einer beliebigen Stelle innerhalb einer Lösung vorkommen können. In der Sprache **A5** sei a ein Segment der Länge n_a von Elementen $a_0, a_1, \dots, a_{n_a-1}, a_{n_a}$. Ein Element des Suchraumes sei durch eine Reihenfolge von n_x Elementen $x_1, x_2, \dots, x_{n_x-1}, x_{n_x}$. Dann gilt: $f_{A5}(x, a)$ ist genau dann wahr, wenn es eine Position i gibt mit $x_i = a_0, x_{i+1} = a_1, \dots, x_{i+n_a-1} = a_{n_a-1}, x_{i+n_a} = a_{n_a}$.

Während zweiwertige Ordnungen nur die relative Position zweier Elemente angeben, so beschreibt die Funktion $f_{A6}(x, a)$ der Sprache **A6** mehrwertige Ordnungen a , bei der die Elemente $a_0, a_1, \dots, a_{n_a-1}, a_{n_a}$ in dieser Reihenfolge, aber mit beliebigen Zwischenabständen in x enthalten sind.

Im vorliegenden Kontext seien mit Clustern Muster a bezeichnet, welche mehrwertigen Ordnungen entsprechen, erweitert um die Angabe von Abständen zwischen den Elementen. Eine Sprache **A7** könnte als Sequenz von Elementen und dazwischenliegenden Abständen definiert sein. Der Ausdruck $a = a_0, d_1, a_1, d_2, \dots$ bedeutet also, dass $f_{A7}(x, a)$ genau dann wahr ist, wenn es eine Position i gibt mit $x_i = a_0, x_{i+1+d_1} = a_1, x_{i+1+d_1+d_2} = a_2, \dots$

Absolute Positionen

Optimierungsmuster dieses Typs sind Zuordnungen $a = (i, p)$ von Elementen i zu Positionen p : $f_{A8}(x, (i, p))$ ist wahr genau dann, wenn $x_p = i$ gilt. Damit ist die Sprache **A8** definiert.

4.2.2 Modellierung Lokaler Suchverfahren

Eine mögliche Vorgehensweise beim Design und der Analyse lokaler Suchverfahren basiert auf der Suche nach Optimierungsmustern. Durch Ausprobieren von Mustern kann ein Zusammenhang zwischen $f_A(x, a)$ und der Lösungsqualität ermittelt werden. Wenn durch mehrere Versuche ein Zusammenhang der Form $E(\text{note}(x)|f_A(x, a)) \neq E(\text{note}(x)|\overline{f_A(x, a)})$ festgestellt wird, so sind bei weiteren Versuchen solche Lösungen, die dem Muster a entsprechen, zu bevorzugen oder zu meiden.

Je mehr über ein Problem bekannt ist, desto besser läßt sich ein Lösungsverfahren entwickeln. Das Konzept des Optimierungsmusters ist bei der Analyse eines Problems hilfreich, da es mit Hilfe von Sprachen charakterisiert werden kann. Kann für ein Problem eine Sprache A angegeben werden, deren Muster ein sicherer Indikator für die Lösungsqualität sind, so können lokale Suchverfahren angewendet werden, welche gezielt nach Ausdrücken der Sprache A suchen.

GLEAM besitzt Operatoren, welche vor allem Ausdrücke der Sprachen A2 und A3 (Elementmutationen, elementweise Crossover), A5 (Segmentmutationen, Segmentcrossover) und A8 (alle Reihenfolgmutationen und -Crossover) entsprechen. Desweiteren besitzt GLEAM Operatoren zur Parameteroptimierung, diese wurden aber im Rahmen dieser Arbeit nicht betrachtet. Im folgenden Kapitel werden verschiedene lokale Suchverfahren für das GORBA-Problem untersucht. Dabei wird jeweils auch die entsprechende Sprache angegeben.

Kapitel 5

Untersuchte lokale Suchverfahren

In diesem Kapitel werden die untersuchten lokalen Suchverfahren beschrieben. Zu jedem Verfahren wird jeweils die wesentliche Idee vorgestellt. Die Algorithmen werden beschrieben, wobei auch auf Besonderheiten bei der Implementierung eingegangen wird. Alle Verfahren wurden mit den Benchmarks zum GORBA-Problem getestet.

Im ersten Abschnitt wird das Verfahren „Stoss“ beschrieben. Es basiert darauf, dass einzelne Elemente innerhalb der Reihenfolge nach vorne verschoben werden - maximal soweit, bis sie an ihren Vorgänger „anstoßen“ und durch eine weitere Verschiebung die Vorgängerbeziehung verletzt werden würde.

Der zweite Abschnitt befasst sich mit dem Versuch, ein lokales Suchverfahren in Anlehnung an Ameisenalgorithmen zu entwerfen. Ein erstes Verfahren, „Ant 1“ wurde zunächst in einer einfachen Version getestet, die sich als unbrauchbar herausstellte. Eine erweiterte Version konnte bessere Ergebnisse erzielen, diese wird ebenfalls vorgestellt.

Ebenfalls an die Optimierung mit Hilfe von Ameisenalgorithmen angelehnt ist das lokale Suchverfahren „Ant 2“, welches im vierten Abschnitt beschrieben wird.

Im fünften und letzten Abschnitt dieses Kapitels wird der Ansatz „Triv“ beschrieben. Verschiedene, vergleichsweise triviale Operatoren definieren die Nachbarschaft, die hierbei untersucht wird. Durch einen einfachen Lernmechanismus werden günstige Operatoren identifiziert und wiederholt aufgerufen.

5.1 Lokales Suchverfahren: Stoss

Der Konstruktion lagen folgende Annahmen über die Interpretation von Reihenfolgen beim GORBA-Problem zugrunde:

1. Eine Verschiebung eines Elementes nach vorne erhöht dessen Priorität im Rahmen der Planung, wodurch der zugehörige Application Job schneller bearbeitet werden könnte.
2. Die Vorgängerbeziehungen des GORBA-Problems sollten auch von der Jobreihenfolge berücksichtigt werden, auf der die Planung beruht.
3. Geringfügige Verschiebungen von Elementen haben meist nur geringfügige Effekte.

Das Suchverfahren manipuliert eine Reihenfolge von Elementen unter Berücksichtigung gegebener Vorgängerbeziehungen. Das Verfahren versucht, einzelne Elemente so weit nach vorne zu verschieben, bis diese an ihren Vorgänger „anstoßen“. Die durchsuchte Nachbarschaft ist darüberhinaus dadurch eingeschränkt, dass die Verschiebung nur in eine Richtung erfolgen kann, gültigkeitserhaltend sein muß und eine (adaptierbare) Mindestverschiebungsweite zu überschreiten ist.

Dem in Abschnitt 4.2 eingeführtem Konzept des Optimierungsmusters entsprechen ist dieses Verfahren der Sprache A1 zuzuordnen, welche in Abschnitt 4.2.1 erläutert wird. Hierbei wird gezielt untersucht, ob zwei Elemente eines Application Jobs besser in direkter Nachbarschaft stehen sollten oder nicht. Gleichzeitig wird für das ausgewählte Element dessen optimale Position gesucht, dies entspricht der Suche nach einem Muster der Sprache A8.

5.1.1 Algorithmus und Implementierung

Bei Verwendung des LSVs wird zu Beginn eines Optimierungslaufes von HyGLEAM eine Initialisierungsroutine aufgerufen, welche eine Matrix der Vorgängerbeziehungen ausliest und diese mit Hilfe des Warshall-Algorithmus zu ihrer transitiven Hülle erweitert [War62]. Die Erweiterung zur transitiven Hülle erfordert einmalig etwas Rechenzeit und ist ansonsten performanzneutral. Es kann so jedoch garantiert werden, dass nach Anwendung des

LSVs nicht mehr Vorgängerbeziehungen verletzt werden als dies in der übergebenen Permutation der Fall war.

In zufälliger Reihenfolge wird probiert, die einzelnen Elemente der Permutation zu verschieben. Für das jeweils ausgewählte Element wird dessen Vorgänger bestimmt. Ist der Abstand zwischen beiden größer als die Mindestverschiebungsweite, so wird das Element direkt hinter den Vorgänger verschoben und die neue Lösung wird bewertet. Andernfalls werden in zufälliger Reihenfolge alle anderen Elemente untersucht.

Dem LSV wird für einen Suchschritt eine Aktionskette übergeben, über 3 Parameter wird das Verhalten des LSVs gesteuert: die Pivotwahrscheinlichkeit, die Updatestrategie sowie die minimale Verschiebungsweite.

Die Pivotwahrscheinlichkeit gibt an, mit welcher Wahrscheinlichkeit der Parameter Pivot auf ERSTER gesetzt wird, andernfalls wird Pivot mit STEILSTER festgelegt. Die Pivotwahrscheinlichkeit wird über den Adaptionmechanismus in HyGLEAM adaptiert und kann sieben Werte von 0 bis 1 annehmen. Ist Pivot auf ERSTER gesetzt, so bricht das Verfahren bei der ersten gefundenen Verbesserung ab und liefert das Ergebnis zurück. Ist der Parameter auf STEILSTER gesetzt, so werden alle Elemente der Permutation auf Verschiebbarkeit untersucht und das Ergebnis der erfolgreichsten Verschiebung wird zurückgeliefert.

Wenn der Steuerungsparameter Udate auf LAMACK gesetzt wurde, so wird die neue Note zurückgeliefert sowie die Verschiebung durchgeführt. Ist Update auf BALDWIN gesetzt, so wird lediglich die erzielbare Note zurückgeliefert. Die Wahrscheinlichkeit, mit der Update auf LAMACK gesetzt wird, kann vorgegeben werden.

Die minimale Verschiebungsweite wird ebenfalls über den Adaptionmechanismus von HyGLEAM gesteuert. Die zehn möglichen Werte des Parameters liegen zwischen 0,05 und 0,7. Multipliziert man diesen Faktor mit der Anzahl zu planender Jobs, so ergibt sich die Distanz zwischen zwei Positionen, ab der eine Verschiebung eines Elementes als sinnvoll erachtet wird.

5.1.2 Ergebnisse der Benchmarks

Für jedes in Abschnitt 2.5 beschriebene Testszenario wurden Benchmarks mit verschiedenen Populationsgrößen durchgeführt. Abbildung 5.1 zeigt die Erfolgsraten, also die Wahrscheinlichkeit, die Rohnote der konventionellen Planung zu überschreiten. Ergebnisse dieser Tests sind im Anhang A.4 aufgeführt. Als Beobachtungen und Interpretationen lassen sich vor allem festhalten:

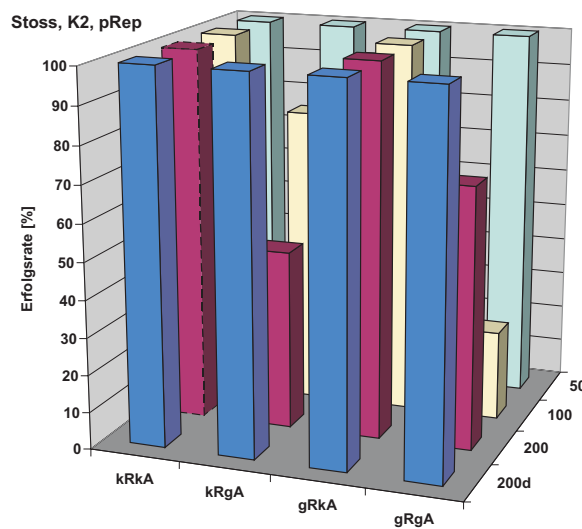


Abbildung 5.1: Erfolgsraten von Stoss / K2 / pRep

- Die erreichten Noten sowie die Erfolgsraten verfehlen in vielen Fällen nur sehr knapp das Niveau der Optimierung mit GLEAM, in manchen Situationen ist die Differenz jedoch deutlich.
- Die Anzahl der in 3 Minuten untersuchten Individuen liegt deutlich unter jenen bei der Optimierung mit GLEAM. Dadurch erklärt sich auch, warum die optimale Populationsgröße für alle Benchmarks unterhalb jenen von GLEAM liegt: Durch geringere Populationsgrößen können in der gleichen Zeit mehr Generationen untersucht werden.
- Die Anzahl durchgeführter Evaluationen liegt geringfügig über jenen der Optimierung mit GLEAM. Dies kann darauf zurückgeführt werden, dass das LSV pro Aufruf

teilweise mehrere Evaluationen durchführt und gewisse Aufgaben zur Pflege der Aktionskettenstruktur nur einmal pro LSV-Aufruf durchführt.

- Der Adaptionsmechanismus tendiert weder zu besonders niedrigen noch zu besonders hohen Werten für die Pivotwahrscheinlichkeit.
- Das Verhältnis von Mindestverschiebeweite zur Permutationslänge wird vom Adaptionsmechanismus meist auf etwa 1:10 reguliert. Dies bestätigt die Vermutung, dass zu kleine Verschiebungen zu wenig Effekt zeigen.

Als Fazit kann festgehalten werden, dass das LSV Stoss weder einen Vorteil, noch einen bedeutenden Nachteil brachte. Gleichwohl waren einige während der Implementierung gemachte Erfahrungen hilfreich bei der Programmierung neuer lokaler Suchverfahren.

Zukünftige Untersuchungen könnten sich damit beschäftigen, ob die Verschiebung von Elementen zu ihrem Vorgänger auch als intelligenter Mutationsoperator in GLEAM eingebunden werden kann. Bislang berücksichtigt kein Mutationsoperator in GLEAM die Vorgängerbeziehung.

5.2 HyGLEAM und Ameisenalgorithmen

Ameisenalgorithmen haben sich als besonders leistungsfähig bei der Lösung von kombinatorischen Optimierungsproblemen erwiesen. Genau wie dies für evolutionäre Algorithmen gilt, so gibt es auch für Ameisenalgorithmen ein Vorbild in der Natur: Ameisenalgorithmen imitieren das Verhalten von Ameisenkolonien zur verteilten Suche optimaler Wege. An dieser Stelle sollen Ansätze beschrieben werden, bei der Konstruktion neuer lokaler Suchverfahren für HyGLEAM auf Konzepte von Ameisenalgorithmen zurückzugreifen.

5.2.1 Einführung in Ameisenalgorithmen

Zunächst soll jedoch kurz auf das Verhalten von Ameisen bei der Wegsuche und die Umsetzung im Rahmen von Ameisenalgorithmen beschrieben werden. Detailliertere Darstellungen finden sich in [BDT99, DS04]. Beispiele für die Anwendung von Ameisenalgorithmen im Scheduling liefern [Blu04, Blu02, BBHS00, MM05, SMM00].

Verhalten von Ameisen

Ameisen kommunizieren und speichern Wissen über den Verlauf von Wegen durch Konzentrationen von Duftstoffen (den Pheromonen). Ameisen orientieren sich bei der Suche eines Weges an Pheromonspuren, die von vorausgegangenen Ameisen gelegt wurden. Während Ameisen einen Weg verfolgen, deponieren sie dabei eigene Pheromone entlang der Strecke und bewahren somit die Information, welche ansonsten durch Verwitterung allmählich untergehen würde. Dieser Vorgang wird auch als Ausbleichen oder Evaporation bezeichnet.

Findet eine Ameise einen neuen, besseren Weg, so wird dieser neue Weg über Pheromonspuren markiert und den anderen Ameisen kommuniziert. Wird ein Weg hingegen unpassierbar, so werden Ameisen entlang dieses Weges keine Pheromone mehr deponieren. Durch die Evaporation werden keine Ameisen mehr auf diese Fährte gelockt.

Umsetzung als Ameisenalgorithmus

Ameisenalgorithmen imitieren dieses Verhalten. Dem Lauf einer Ameise zu einem Ziel entspricht ein Aufruf einer Konstruktionsfunktion, welche einen neuen Weg oder allgemeiner eine neue Lösung konstruiert. Bei der Konstruktionsroutine werden Entscheidungen auf Basis von Pheromonwerten und einer Heuristik getroffen. Nach der Konstruktion und Evaluation der neuen Lösung werden die Pheromonwerte angepasst.

Die Pheromonkonzentrationen werden üblicherweise in einer Pheromonmatrix T mit Werten τ_{ij} gespeichert. Die Werte η_{ij} beschreiben die Ergebnisse einer Heuristik H . Während des Konstruktionsprozesses wählt die Ameise im Zustand i die Alternative j gemäß des Ausdrucks $\tau_{ij}^\alpha \eta_{ij}^\beta$. Der Parameter α steuert dabei den Einfluss der Pheromonverteilung auf die Entscheidung, β tut dies mit den Ergebnissen der Heuristik.

Es existieren zwei Verfahren, nach denen eine Auswahl getroffen wird. Über den Parameter p_{wahl} wird die Wahrscheinlichkeit angegeben, die Alternative j gemäß der Verteilung von

$$P_i(j) = \frac{\tau_{ij}^\alpha \eta_{ij}^\beta}{\sum_j \tau_{ij}^\alpha \eta_{ij}^\beta}$$

auszuwählen. Ansonsten wird mit Wahrscheinlichkeit $1 - p_{wahl}$ der Ausdruck

$$\tau_{ij}^{\alpha} \eta_{ij}^{\beta}$$

maximiert.

Nach der Konstruktion und Evaluation einer oder mehrerer Lösung(en) wird die Pheromonmatrix anhand des gewonnenen Wissens aktualisiert. Mittels einer Updatefunktion werden hierbei in der Regel bestimmte Pheromonwerte τ_{ij} um einen Betrag c_{depot} erhöht oder erniedrigt. Außerdem werden die Werte der Pheromonmatrix durch eine Evaporationsfunktion regelmäßig abgesenkt, wodurch eine zu schnelle Konvergenz des Verfahrens vermieden wird.

5.2.2 Hybridisierungsansatz

Im Gegensatz zu klassischen Implementierungen des Ameisenalgorithmus wird dieser im vorliegenden Fall als Heuristik zur weiteren Verbesserung eines vorgegebenen Individuums verwendet. Heuristiken bei Ameisenalgorithmen dienen üblicherweise dazu, dem Ameisenalgorithmus problemspezifisches Wissen über gute Lösungen zuzuführen. Im vorliegenden Fall soll jedoch anwendungsneutral, also ohne die Einbeziehung einer solchen Information optimiert werden.

Der Ameisenalgorithmus als lokales Suchverfahren in HyGLEAM wird jedoch stets mit einer Information initialisiert: der Gestalt des zu optimierenden Individuums. Vor allem im späteren Verlauf der Optimierung mit HyGLEAM kann die Lösung, die das Individuum repräsentiert, sehr gut sein. So wurde sie im Laufe der Zeit von den evolutionären Operationen in HyGLEAM optimiert und das Individuum hat sich durch die Selektion gegenüber schlechteren Lösungen durchgesetzt. Gegebenenfalls hat das Individuum bereits Verbesserungen mit Hilfe anderer Optimierungsalgorithmen erfahren.

Die Heuristik H bewertet jene Alternativen j als besser, durch deren Auswahl im Zustand i die neu konstruierte Lösung der übergebenen Lösung möglichst ähnlich ist. Diese Ähnlichkeit kann auf verschiedene Distanzmaße bezogen sein. Die folgenden Suchverfahren, die auf diesem Hybridisierungsansatz beruhen sind genau wegen dieser Ähnlichkeit als lokale Suchverfahren einzuordnen.

5.3 Die erste Version von ANT 1

Eine mögliche Bedeutung eines hohen Pheromonwertes τ_{ij} ist, dass es günstig ist, Elemente i und j in der Reihenfolge direkt nebeneinander zu positionieren. Diese Interpretation der Pheromonwerte wird beispielsweise oft bei Handlungsreisendenproblemen angewandt. Das Verfahren ist der Sprache A1 zuzuordnen, welche in Abschnitt 4.2.1 eingeführt wird.

5.3.1 Grundgerüst des Algorithmus

Beim Aufruf des Verfahrens wird jeweils der als Pseudocode angegebene Algorithmus durchgeführt, siehe hierzu Abbildung 5.3.1.

5.3.2 Pheromonwerte

Der Pheromonwert $\hat{\tau}_{ij}$ bedeutet bei diesem Verfahren einen Zusammenhang zwischen der Lösungsqualität und der Tatsache, dass die Elemente i und j in der Reihenfolge direkt nebeneinander stehen.

5.3.3 Heuristikwerte

Eigenschaften der übergebenen und eventuell guten Lösung wird in Form der Heuristik H als Vorlage integriert. Der Heuristikwert wurde zunächst als

$$\hat{\eta}_{ij} = \begin{cases} 1, 0 & j \text{ folgt in der Vorlage auf } i \\ 0, 1 & \text{sonst} \end{cases}$$

definiert. Nach ersten Tests konnte jedoch eine Verbesserung der Ergebnisse erzielt werden, indem auf die Definition

$$\hat{\eta}_{ij} = \frac{1}{|ij|}$$

umgestellt wurde, der Wert entspricht also dem Kehrwert der Distanz zwischen den Elementen i und j in der vorgegeben Lösung.

WIEDERHOLE für jede Ameise:

Konstruieren:

 Beginne bei Position 0 -> Wählen

Wählen:

 wähle gemäß Auswahlverfahren einen Nachfolger

 WENN Vorgänger im Original anderen Nachfolger hatte

 DANN übernehme gewähltes Element -> Vorziehen

 WENN Ende erreicht

 DANN übernehme gewähltes Element -> Update

 Übernehme gewähltes Element -> Wählen

Vorziehen:

 WENN Ende nicht erreicht UND Originalnachfolger ist erlaubt

 DANN übernehme Originalnachfolger -> Vorziehen

 SONST: Springe zum ersten noch nicht übernommenem...

 ...Element aus Referenz -> Nachholen

Nachholen:

 WENN Originalnachfolger noch nicht aufgenommen wurde

 DANN übernehme Originalnachfolger -> Nachholen

 SONST

 WENN alle Elemente geplant

 DANN -> Update

 SONST: Springe zum ersten noch nicht übernommenem...

 ...Element aus Referenz -> Wählen

Update:

 WENN Notenverbesserung erreicht

 DANN Deponiere Pheromone, TERMINIERE

 SONST Evaporiere Pheromone, TERMINIERE

Abbildung 5.2: Pseudocode der Startroutine von ANT 1, Version 1

5.3.4 Auswahlmechanismus

Der Auswahlmechanismus unterscheidet sich nicht von herkömmlichen Auswahlverfahren von Ameisenalgorithmen. Die Menge G aller gültigen Nachfolger g wird ermittelt, also all jener Elemente, deren Vorgänger bereits aufgenommen wurden. Zu beachten ist in diesem Fall, dass der Auswahlmechanismus nicht in jedem Schritt aufgerufen wird. Befindet sich der Algorithmus nicht im Modus „wählen“, so wird der Nachfolger des aktuellen Jobs in der Originalmatrix übernommen.

Für die Auswahl des ersten Elements wurden ebenso Pheromon- und Heuristikwerte definiert. Vereinfachend können diese als entsprechende Werte bezüglich eines nicht an eine andere Stelle positionierbaren „0-ten“ Elements gesehen werden.

In jedem Auswahlschritt werden aus den Pheromonwerten $\hat{\tau}_{ij}$ die Werte

$$\tau_{ij} = \frac{\hat{\tau}_{ij} * 1_{\{j \in G\}}}{\sum_G \hat{\tau}_{ig}}$$

berechnet. Der Vektor τ_i ist demnach ein normierter Vektor, mit denen gültige Nachfolger des Jobs i bewertet werden und dessen Werte τ_{ij} für ungültige j stets 0 sind. Nach dem gleichen Verfahren wird auch der Heuristikvektor η_i gemäß

$$\eta_{ij} = \frac{\hat{\eta}_{ij} * 1_{\{j \in G\}}}{\sum_G \hat{\eta}_{ig}}$$

gebildet.

Es wurden zwei Verfahren zur Auswahl implementiert, von denen eines mit Hilfe eines Steuerungsparameters p_{wahl} zum Zuge kommt. Mit einer Wahrscheinlichkeit von p_{wahl} wird für Position p ein Job j gemäß der Verteilung

$$P(p, j) = \frac{\tau_{pj}^\alpha * \eta_{pj}^\beta}{\sum_{\tilde{j}} \tau_{p\tilde{j}}^\alpha * \eta_{p\tilde{j}}^\beta}$$

ausgewählt. Dagegen wird mit einer Wahrscheinlichkeit von $1 - p_{wahl}$ lediglich der Ausdruck $\tau_{pj}^\alpha * \eta_{pj}^\beta$ maximiert.

5.3.5 Pheromonupdate

Nach einer Bewertung der konstruierten Lösung wird verglichen, ob gegenüber der Ausgangslösung eine Verbesserung oder eine Verschlechterung erreicht wurde. Erreichte die konstruierte Lösung nicht die Qualität der bisherigen Lösung, so werden alle Pheromone gemäß $\hat{\tau}_{ij} = 0,9 * \hat{\tau}_{ij}$ evaporiert.

Wurde eine Verbesserung erzielt, so werden Pheromone in der Pheromonmatrix \hat{T} deponiert. Zunächst wurde dafür folgendes Verfahren implementiert: Die Pheromonwerte $\hat{\tau}_{ij}$ werden bei allen Jobs i und j , welche in der neu konstruierten, nicht aber in der vorgegebenen Reihenfolge direkt aufeinander folgten um einen konstanten Wert (c_{depot}) erhöht. In ersten Tests erwies sich auch dieser Mechanismus als nicht sehr gut und es konnte eine leichte Verbesserung erreicht werden, wenn die Menge des deponierten Pheromons auch von der Qualität der Lösung abhängig gemacht wurde: Durch die Zuweisung

$$\hat{\tau}_{ij} = \hat{\tau}_{ij} + \sqrt{\frac{note}{c_{depot}}}$$

wird das Wissen über besonders gute Lösungen deutlicher in der Pheromonmatrix gespeichert als schlechte.

5.3.6 Adaptionmechanismus

Über den Adaptionmechanismus von HyGLEAM wurde gesteuert, wie viel Zeit in die Verbesserung eines Individuums investiert wird. Der entsprechende Steuerungsparameter wurde mit „Anzahl der Ameisen“ bezeichnet. Dem Adaptionmechanismus wurden hierfür Werte zwischen 20 und 640 vorgegeben.

5.3.7 Parameterstudien

Die Steuerungsparameter α , β sowie p_{wahl} wurden im Rahmen von ersten Experimenten bestimmt. Als Grundlage diente das Benchmarkset mit 100 GridJobs, großem Abhängigkeitsgrad und vielen Ressourcenalternativen (siehe 2.5). Für jeden Parameter wurden jeweils 6 plausible Werte bestimmt. Jede Wertekombination wurde jeweils 100 mal ge-

testet. Ein Test bestand aus 20 bis 640 Iterationen des Suchverfahrens (der Anzahl der Ameisen), vor jedem Test wurde die Pheromonmatrix in einen Initialzustand versetzt.

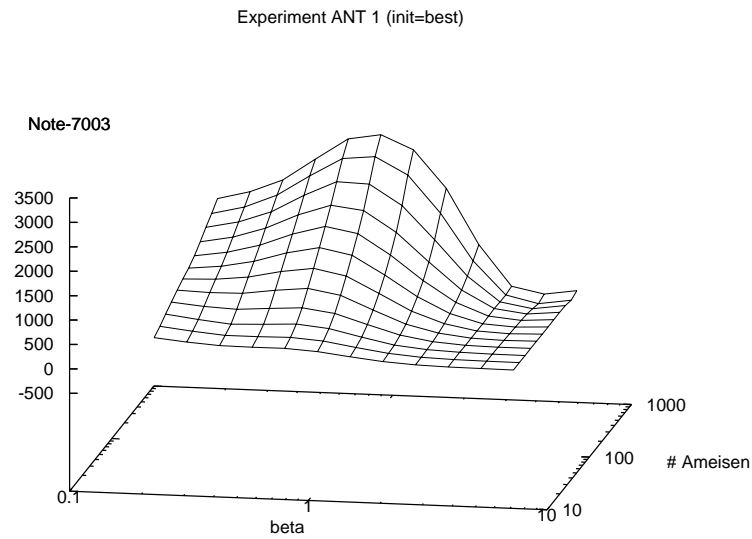
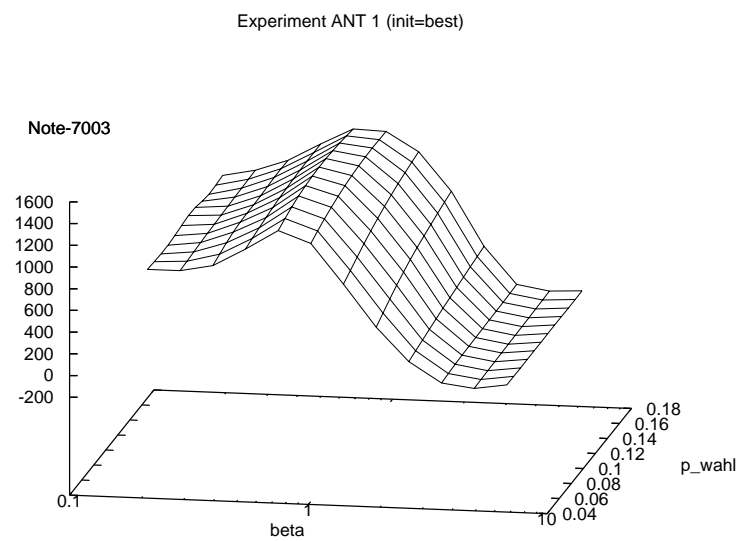
Dieses Vorgehen zur Bestimmung der Parameter wurde gewählt, da nur so in vertretbarer Zeit sinnvoll erscheinende Werte für die Parameter bestimmt werden konnten. Eine Bestimmung der optimalen Populationsgröße für jeden GORBA-Benchmark ist selbst dann schwer an einem Tag zu bewältigen, wenn alle verwendbaren CPUs zur Verfügung stehen. Da die drei untersuchten Parameter jeweils voneinander abhängen, wäre hierfür ein Vielfaches an Rechenzeit nötig gewesen.

Die Ergebnisse der konventionellen Planungsheuristiken von GORBA wurden als Ausgangslösung bereitgestellt. Die Güte einer Konfiguration wurde über die durchschnittliche Differenz von erzielter Note und der besten Note der Ausgangslösung (Notenwert 7003) gemessen.

Mit Hilfe von AWK- sowie Linux-Shellskripten wurden die Ergebnisse aus den Logdateien extrahiert und aggregiert. Für jede Parameterkombination wurde für jede Wertekombination der durchschnittliche Notengewinn berechnet und in eine jeweilige Datei geschrieben. Zur Visualisierung der Ergebnisse wurden diese Dateien über ein gnuplot-Skript zu Grafiken aufgearbeitet. Als Beispiel wird in der Abbildung 5.3 der Effekt der Anzahl der Iteration (Anzahl Ameisen) und des Parameters β dargestellt. In Abbildung 5.4 werden p_{wahl} und β gegenübergestellt.

Die Auswertung ergab folgendes Bild:

- Für α kann festgestellt werden, dass sehr kleine Werte (deutlich unter 1) bessere Ergebnisse lieferten. Dies ist sehr schlecht, da dies eine starke Relativierung der Pheromonwerte bedeutet, diese also kaum einen Hinweis zur Findung besserer Lösungen lieferten.
- Die besten Ergebnisse wurden erzielt, wenn β auf 1,0 gesetzt war, wie in Abbildungen 5.3 und 5.4 leicht erkannt werden kann. Lediglich in der Anfangsphase konnten etwas bessere Ergebnisse mit geringeren Werten erzielt werden. Da eine Potenzierung mit 1,0 unnötig ist kann durch diese Parameterwahl Rechenzeit gespart werden.
- Für p_{wahl} konnte ein Bereich zwischen 0,05 und 0,15 als gut identifiziert werden,

Abbildung 5.3: Ant 1v1: Parameter Anzahl Ameisen vs. β Abbildung 5.4: Ant 1v1: Parameter p_{wahl} vs. β

weswegen dieser Parameter im Folgenden mit 0,1 festgelegt wurde.

- Der offensichtliche Zusammenhang zwischen der Anzahl der Iterationen des Verfahrens und des Erfolges war abzusehen. Die Laufzeit nach einem Aufruf des Suchverfahrens hängt fast linear mit der Anzahl der Ameisen zusammen.

5.3.8 Bewertung des Verfahrens

Die ersten durchgeführten GORBA-Benchmarks für dieses Verfahren lieferten sehr schlechte Ergebnisse, was auf folgende Effekte zurückgeführt wurde:

- Die Anzahl der Ameisen wird vom Adaptionsmechanismus in die Nähe des mit 640 offensichtlich zu hoch angesetzten Maximalwertes geregelt. Der Adaptionsmechanismus zählt zur Aufwandsbewertung des LSV die Aufrufe der Planungs- und Bewertungsfunktionen. Der beträchtliche Aufwand für die Konstruktion einer Lösung wird ignoriert.
- Aus dem gleichen Grund wurde die Wahrscheinlichkeit, dass alle Individuen einer Generation durch das Verfahren optimiert werden auf sehr hohe Werte adaptiert. Die Anzahl der untersuchbaren Generationen sinkt dadurch.
- Die Anzahl der Evaluationen sank erheblich, dieses erste Ameisenverfahren war vermutlich obendrein sehr ineffizient implementiert.
- Der Aufwand für Konstruktion, Planung und Bewertung nahm bei großen Probleminstanzen überproportional zu. Die Anzahl der Evaluationen lassen einen mindestens quadratischen Aufwand der Konstruktionsroutine bezüglich der Anzahl von Elementen vermuten.

Die Vermutung lag nahe, dass das Verfahren ungeeignet ist. Um dies zu bestätigen wurde noch ein abschließendes Experiment unternommen. Der Auswahlmechanismus wurde dahingehend verändert, dass zwar eine gültige Alternative gemäß Pheromon- und Heuristikwerten berechnet wurde, dem Konstruktionsprozess jedoch eine zufällige gültige Alternative zurückgeliefert wurde. Kurze Tests ergaben, dass kein Nachteil gegenüber der

originalen Variante bestand. Ausführliche Benchmarks wurden mit dem Verfahren daher nicht unternommen. Im Ergebnis muss diese Version einer lokalen Suche also als gescheitert betrachtet werden.

5.4 Lokales Suchverfahren: ANT 1, Version 2

Die Experimente mit der ersten Version von ANT 1 haben bestätigt, dass die Qualität von Lösungen wenig von der direkten Nachbarschaft von Elementen in der Reihenfolge abhängt. Weiterhin sollte untersucht werden, ob der Abstand zwischen Elementen einer Permutation einen Rückschluss auf die Qualität zulässt.

Hierzu wurde im Gegensatz zum vorherigen Experiment der Versuch unternommen, Distanzen zwischen Elementen zu messen und zu optimieren. Dies entspricht einer Suche nach Optimierungsmustern der Sprache A2, wie sie in Abschnitt 4.2.1 vorgestellt wurde. Motiviert wurde der Ansatz aufgrund folgender Vermutungen:

- Nur die Position des letzten Grid Jobs eines Application Jobs hat einen wesentlichen Einfluss auf die Bewertung, diese Position sollte möglichst weit vorne sein. Die vorherigen Grid Jobs sollten jedoch möglichst spät bearbeitet werden, um die wertvollen Positionen zu Beginn der Reihenfolge nicht zu belegen. Daraus folgt, dass die Grid Jobs eines Application Jobs so dicht wie möglich beieinander stehen sollten.
- Ist diese Distanz jedoch zu gering, so könnte das im Falle von zwei Ressourcenkonkurrenten eines Application Jobs dazu führen, dass die Ressource noch belegt ist und der zweite Job eine schlechtere Alternative zugewiesen bekommt.
- Bei großen Distanzen steigt wiederum die Wahrscheinlichkeit, dass vor dem zweiten Job ein dritter Konkurrent um die Ressource zuvorkommt.

Es ist anzunehmen, dass der Effekt bei sehr großen Distanzen vernachlässigbar ist. Deswegen geht das im folgenden beschriebene Verfahren vom nahen Umfeld eines Elements aus. Es wird für alle Paare von Elementen untersucht, ob diese in guten Ketten „nahe beieinander“ stehen sollten oder eher nicht.

```

WIEDERHOLE für jede Ameise:
  WIEDERHOLE für jede Position:
    Bestimme nächstes Element:
      Bestimme gültige Elemente
      Bestimme Pheromonwerte
      Bestimme Heuristikwerte\
      Wähle ein gültiges Element anhand beider Werte
  Update:
    WENN Notenverbesserung erreicht
      DANN Deponiere Pheromone
    SONST Evaporiere Pheromone

```

Abbildung 5.5: Pseudocode der Startroutine von ANT 1, Version 2

Erneut wurden Ameisenalgorithmen als Vorbild des Verfahrens herangezogen. Neue Lösungen werden konstruiert, in dem eine Auswahlroutine diesmal in jedem Schritt anhand von Pheromon- und Heuristikwerten das nächste Element bestimmt. Elemente, deren Vorgänger noch nicht in die Reihenfolge aufgenommen wurde, werden durch die Auswahlroutine nicht berücksichtigt. Zunächst werden die wesentlichen Komponenten des Verfahrens dargestellt.

5.4.1 Grundgerüst des Algorithmus

Im Gegensatz zum vorher dargestellten Verfahren wird die Auswahlroutine in diesem Fall bei jeder Belegung einer Position aufgerufen. Der Pseudocode ist in Abbildung 5.4.1 dargestellt.

5.4.2 Pheromonwerte

Ein hoher Wert $\hat{\tau}_{ij}$ drückt aus, dass das Element j möglichst kurz nach Element i zu positionieren ist. Ein geringer Wert bedeutet hingegen, dass ein Zusammenhang zwischen i und j nicht zu erkennen ist. Die Konstruktion berücksichtigt bei der Besetzung einer

Position für jeden Kandidaten j die Werte $\hat{\tau}_{ij}$ der zuletzt besetzten Elemente.

Für die Besetzung einer Position p wird für jedes mögliche Element j der Pheromonwert gemäß

$$\tau_{pj} = \sum_{a=1}^9 (1 - a * 0, 1) \hat{\tau}_{i_{p-a}j}$$

berechnet (wobei dieser Ausdruck bei den ersten Elementen etwas angepasst werden muß). Durch eine Gewichtung werden also die zuletzt belegten Positionen bzw. die dort positionierten Elemente stärker berücksichtigt.

5.4.3 Heuristikwerte

Die Heuristik H hat auch in diesem Fall eine andere Bedeutung als in herkömmlichen Ameisenalgorithmen. Der Wert $\hat{\eta}_{ij} = \frac{1}{|ij|}$ entspricht dem Kehrwert der Distanz zwischen den Elementen i und j in der vorgegebenen Lösung. Die Heuristik berücksichtigt bei der Besetzung einer Position p für jedes mögliche Element j den (hier ebenfalls vereinfacht dargestellten) Ausdruck

$$\eta_{pj} = \sum_{b=1}^9 (1 - b * 0, 1) \hat{\eta}_{i_{p-b}j} = \sum_{b=1}^9 \frac{1 - b * 0, 1}{|i_{p-b}j|}$$

als Heuristikwert. Wie zuvor wird der Einfluss der Elemente auch durch die Heuristik gewichtet.

Wieder wird über die Heuristik eine Nähe zur übergebenen Lösung bewirkt. Statt über die Heuristik Wissen über gute Lösungen als Vorbild einzubinden dient die übergebene Lösung als Vorbild. Auch diese Version des Verfahrens ist eindeutig als lokales Suchverfahren einzuordnen.

5.4.4 Auswahlmechanismus

Der Auswahlmechanismus ist nicht weiter außergewöhnlich: Bei der Belegung von Position p werden die auf eine Summe von 1 normierten Vektoren τ_{pj} und η_{pj} mit Steuerungsparametern α und β potenziert. Es wurden zwei Verfahren zur Auswahl implementiert, von denen eines mit Hilfe eines Steuerungsparameters p_{wahl} zum Zuge kommt.

Mit einer Wahrscheinlichkeit von p_{wahl} wird für Position p ein Job j gemäß der Verteilung

$$P(p, j) = \frac{\tau_{pj}^\alpha * \eta_{pj}^\beta}{\sum_{\tilde{j}} \tau_{p\tilde{j}}^\alpha * \eta_{p\tilde{j}}^\beta}$$

ausgewählt. Dagegen wird mit einer Wahrscheinlichkeit von $1 - p_{wahl}$ der Ausdruck

$$\tau_{pj}^\alpha * \eta_{pj}^\beta$$

maximiert.

5.4.5 Pheromonupdate

Nach einer Bewertung der konstruierten Lösung wird verglichen, ob gegenüber der Ausgangslösung eine Verbesserung oder eine Verschlechterung erreicht wurde. Erreichte die konstruierte Lösung nicht die Qualität der bisherigen Lösung, so werden die Pheromone gemäß $\hat{\tau}_{ij} = 0,9 * \hat{\tau}_{ij}$ evaporiert.

Wurde eine Verbesserung erzielt, so werden Pheromone in der Pheromonmatrix \hat{T} deponiert. Die Menge der Pheromone entspricht dem relativen Notengewinn gegenüber der vorgegebenen Lösung. Die Menge des tatsächlich an $\hat{\tau}_{ij}$ ausgeschütteten Pheromons ist durch $\min\{0; 1 - (0,1 * |ij|)\}$ gegeben, wobei $|ij|$ die Differenz der Positionen der Elemente i und j kennzeichne.

5.4.6 Adaptionmechanismus

Über den Adaptionmechanismus von HyGLEAM wird auch hier gesteuert, wie viel Zeit in die Verbesserung eines Individuums investiert wird. Der Steuerungsparameter hiervon ist wieder die Anzahl der Ameisen. Nach den vorangegangenen schlechten Erfahrungen mit besonders hohen Werten wurden dem Adaptionmechanismus hierbei Werte zwischen 5 und 50 vorgegeben.

5.4.7 Parameterstudien

Erneut wurden zunächst die Steuerungsparameter α , β sowie p_{wahl} im Rahmen von einfachen Tests bestimmt. Das Verfahren entspricht weitgehend dem zuvor beschriebenen. Wieder wurde versucht, das beste Ergebnis der konventionellen Planung zu verbessern, wobei auch hier wiederholt Kombinationen plausibel erscheinender Parameterwerte verwendet wurden. Wie schon bei der ersten Version wurden diese Tests mit Hilfe von Skripten durchgeführt, ausgewertet und zu Grafiken verarbeitet.

Für p_{wahl} haben sich erneut niedrige Werte um 0,1 als besonders günstig erwiesen. Noch wesentlich niedrigere Werte von p_{wahl} führen dazu, dass die Lösungen dem übergebenen Individuum zu ähnlich werden und dadurch seltener andere Bewertungen zustande kommen. Durch höhere Werte von p_{wahl} wird offenbar Wissen über gute Lösungen nicht ausreichend genutzt und es werden zufällige Lösungen konstruiert - was sehr selten erfolgreich ist.

Ähnliche Ergebnisse wie bei niedrigen Werten von p_{wahl} können auch mit hohen α und β erreicht werden. Hier machen sich jedoch zwei Effekte bemerkbar. Zum einen bedeuten höhere Werte von p_{wahl} häufigere Aufrufe einer Routine, die eine Auswahl gemäß einer Verteilung durchführt. Dies kostet etwas mehr Rechenzeit. Außerdem haben die Potenzierungen mit hohen α und β zu etwas weniger Evaluationen pro Zeit geführt - ein Indiz dafür, dass große Exponenten ebenso mehr Rechenzeit kosten.

Mit einem Wert von 0,1 für p_{wahl} wurden die besten Ergebnisse mit β um 1,0 erreicht werden. Dadurch können Potenzierungen eingespart werden, die etwas Rechenzeit kosten würden. Unter der Maßgabe $p_{wahl} = 0,1$ und $\beta = 1,0$ hat sich $\alpha = \frac{3}{4}$ als günstig erwiesen.

5.4.8 Ergebnisse der Benchmarks

Zwar sind die Ergebnisse der zweiten Version von ANT 1 wesentlich besser zu bewerten als jene der ersten Version. Wiederum wurden allerdings nicht überall die selben Erfolgsraten oder Notenwerte wie durch die Optimierung mit GLEAM erreicht. Abbildung 5.6 zeigt die Erfolgsraten von ANT 1 in der aktuellen Version, ausführliche Ergebnisse finden sich in Anhang A.5.

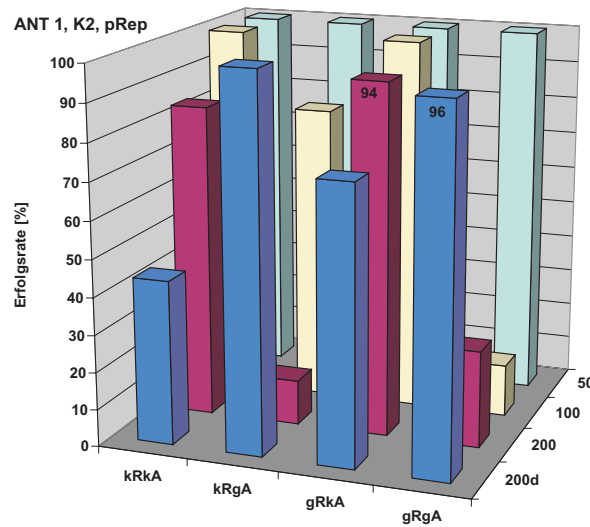


Abbildung 5.6: Erfolgsraten von Ant 1 / K2 / pRep

Die wichtigsten Erkenntnisse sind:

- Für alle Benchmarks mit 50 Grid Jobs wurden bereits nach kurzer Zeit Schedules gefunden, bei denen keine Straffunktion mehr zum Zuge kommt. Bei 100 Grid Jobs ist dies nur in der Hälfte der Benchmarks der Fall, nämlich bei kleinem Abhängigkeitsgrad. Bei 200 Grid Jobs wurden nur bei einem von acht Benchmarks zuverlässig straffreie Lösungen gefunden.
- Die Anzahl der Evaluationen nimmt mit wachsender Anzahl von Grid Jobs stärker als bei GLEAM ab. Dies erklärt, warum ANT 1 auch in dieser Version gegenüber GLEAM sehr schlecht abschnitt, während die Ergebnisse bei 50 Grid Jobs fast vergleichbar waren.
- In fast allen Fällen wurde die Anzahl der Ameisen vom Adaptionsmechanismus recht niedrig festgesetzt, oft wurde das Minimum von fünf Iterationen gewählt.
- Experimente, bei denen HyGLEAM und ANT 1 mehr Zeit zugestanden wurde (6, 9, 12 und 15 Minuten), brachten keine überraschende Erkenntnis: Die Erfolgsraten und die mittleren Noten steigen an, bei steigender Anzahl an Evaluationen profi-

tiert HyGLEAM zunehmends von größeren Populationsgrößen, dies entspricht einer ausführlicheren Breitensuche.

- Ebenso wurden ausnahmsweise auch einzelne Experimente mit dem Genmodell K1 vorgenommen. Wie erwartet schnitt das Verfahren in diesen Fällen deutlich schlechter ab.

Das Verfahren besitzt also ebenfalls Schwachstellen, ist aber nicht als vollständiger Misserfolg zu werten. So stellt das Benchmarkszenario GG 200 für GLEAM ein großes Problem dar, nur bei einer Populationsgröße wurde in drei Minuten stets Straffreiheit erreicht. Daher wurde dieses Szenario auch mit längeren Laufzeiten von HyGLEAM getestet.

Bei Zeiten von 12 oder 15 Minuten konnte ANT 1 in der Hälfte der Tests Straffreiheit erreichen. Dies ist zwar nach wie vor schlechter als das Ergebnis von GLEAM. Bemerkenswert ist aber, dass HyGLEAM und ANT 1 dieses Ergebnis mit einem Bruchteil an durchgeführten Evaluationen erreichte. Dies könnte so interpretiert werden, dass ANT 1 die Information aus einer Evaluation besser nutzt als GLEAM.

Der Programmcode von GLEAM ist bereits hochgradig optimiert. Bei der vorliegenden Implementierung von ANT 1 wurde jedoch zunächst vor allem Wert darauf gelegt, wiederverwendbare Schnittstellen und verständlichen Code zu produzieren. Gelänge es, diesen Code hinsichtlich kurzer Laufzeiten zu optimieren, so könnte in diesem Fall mit geringfügigen Verbesserungen gerechnet werden.

Ebenso wäre zu erwarten, dass bei Problemen mit rechenintensiveren Evaluationsroutinen HyGLEAM mit dieser Version von ANT 1 besser abschneidet als ohne. Entsprechende Untersuchungen sind jedoch nicht das Ziel dieser Arbeit gewesen.

5.5 Lokales Suchverfahren: ANT 2

Ein weiteres Verfahren auf der Basis des in Abschnitt 5.2.2 vorgestellten Hybridisierungsansatzes ist das lokale Suchverfahren ANT 2. Beide Versionen von ANT 1 haben gemeinsam, dass sie die relative Position von Elementen zueinander untersuchen. Ein alternativer

Ansatz ist, absolute Positionen von Elementen in der Reihenfolge zu bestimmen.

Elemente werden durch die Allokationsheuristiken von GORBA der ermittelten Reihenfolge nach in einen Belegungsplan übernommen. Das Verhalten der Planungs- und Allokationsheuristiken ist für jedes Element vom Zustand des bis dato erstellten Belegungsplanes abhängig. Das hier dargestellte Verfahren beruht auf zwei Annahmen:

1. Es existiert eine Korrelation zwischen der Position eines Elementes und der Qualität der repräsentierten Lösung.
2. Für ein gegebenes Element sind die Korrelationen zwischen der Lösungsqualität und zwei benachbarten Positionen ähnlich.

Die erste Annahme impliziert, dass zur Optimierung von Reihenfolgen Muster der Sprache A8 (vgl. Abschnitt 4.2.1) untersucht werden sollten. Für die identifizierten Muster a sollte dann gelten:

$$E(\text{note}(x)|f_{A8}(x, i, p)) > E(\text{note}(x)|\overline{f_{A8}(x, i, p)})$$

Indem die Werte einer Pheromonmatrix τ_{ip} als $E(\text{note}(x)|f_{A8}(x, i, p))$ interpretiert werden kann dies erreicht werden.

Die zweite Annahme lässt sich auch wie folgt übersetzen: Die Verteilung der erwarteten Lösungsqualität über alle möglichen Positionen eines Elementes besitzt wenige große Sprünge. Bei der Positionierung eines Elementes innerhalb einer gewissen Nachbarschaft ist die erwartete Lösungsqualität für die einzelnen Positionen dieser Nachbarschaft also ähnlich. Der Ausdruck $E(\text{note}(x)|f_{A8}(x, i, p))$ lässt sich dann aus den Werten der Nachbarpositionen $E(\text{note}(x)|f_{A8}(x, i, p-1))$ und $E(\text{note}(x)|f_{A8}(x, i, p+1))$ und somit aus der Dichtefunktion des Erwartungswertes über alle Positionen abschätzen.

Ein Verfahren hierzu ist die Relative Pheromone Evaluation Rule, siehe hierzu [DM02]. Dabei handelt es sich um eine erweiterte Variante der Summation Rule, welche in [MM00, MM03] vorgestellt wurde. Bei diesem LSV entsprechen die Werte τ_{ip} einer Abschätzung für $E(\text{note}(x)|f_{A8}(x, i, p))$. Die Relative Pheromone Evaluation Rule bestimmt die Interpretation der Pheromonmatrix: Dabei wird $E(\text{note}(x)|f_{A8}(x, i, p))$ anhand der Verteilung der τ_{ip} geschätzt.

5.5.1 Grundgerüst des Algorithmus

Das Verfahren entspricht im wesentlichen jenem der zweiten Version von ANT 1, siehe Abschnitt 5.4.1.

5.5.2 Pheromonwerte

Die Pheromonwerte τ_{ip} repräsentieren einen Zusammenhang zwischen der Lösungsqualität und der Tatsache, dass das Element i in der Reihenfolge an Position p steht. Bei der Auswertung der Pheromone wird jedoch die Verteilung F_i über die Positionen p verwendet:

$$F_i(p) = \frac{\sum_{a=1}^p \tau_{ia}^\alpha}{\sum_{b=1}^{p_{max}} \tau_{ib}^\alpha}$$

5.5.3 Heuristikwerte

Auch in diesem Fall wird anstelle einer anwendungsspezifischen Heuristik über η_{ip} eine Ähnlichkeit der konstruierten Lösung zum übergebenen Individuum bewirkt. Dabei wird bei der Belegung einer Position p für jedes Element i der Kehrwert der Distanz von p und der Position p_i^* von i im übergebenen Individuum genutzt:

$$\eta_{ip} = \frac{1}{|p - p_i^*|}$$

5.5.4 Auswahlmechanismus

Der Auswahlmechanismus besteht wieder in einer Auswahl eines Elementes i , wobei mit Wahrscheinlichkeit p_{wahl} entsprechend einer Verteilung $P(i|p)$ gewählt wird. In allen anderen Fällen, also mit einer Wahrscheinlichkeit von $1 - p_{wahl}$, wird dieser Ausdruck hingegen maximiert.

$$P(i|p) = \frac{\left(\frac{\sum_{a=1}^p \tau_{ia}^\alpha}{\sum_{b=1}^{pmax} \tau_{ib}^\alpha} \right) * \eta_{ip}^\beta}{\sum_{j \in O} \left(\frac{\sum_{a=1}^p \tau_{ja}^\alpha}{\sum_{b=1}^{pmax} \tau_{jb}^\alpha} \right) * \eta_{jp}^\beta}$$

5.5.5 Pheromonupdate

Bei Erfolg des Verfahrens werden jene Werte τ_{ip} der Pheromonmatrix T erhöht, bei denen in der gefundenen Lösung Element i an Position p steht. Ansonsten entspricht der Mechanismus jenem von ANT 1 in der ersten Version (siehe Abschnitt 5.3.5).

5.5.6 Parametrisierung des Verfahrens

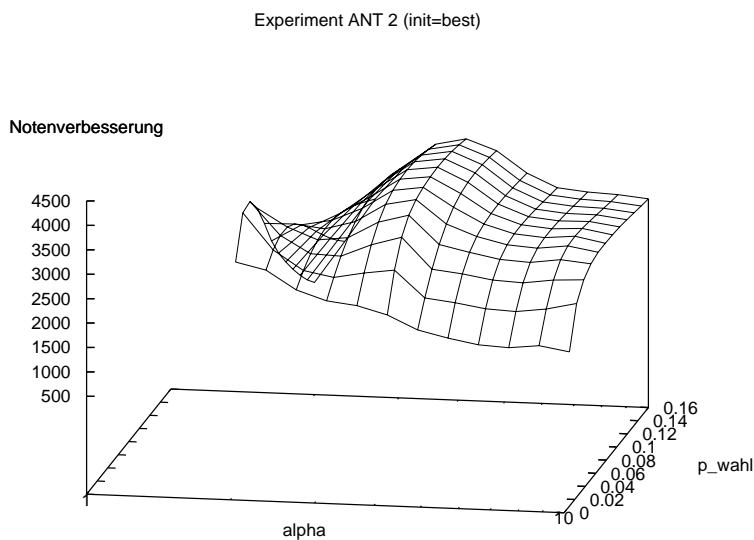


Abbildung 5.7: Ant 2: Parameter α vs. p_{wahl}

Auch die Steuerungsparameter des Verfahrens ANT 2 wurden mit Hilfe einer Voruntersuchung bestimmt. Das vorher angewandte Verfahren wurde beibehalten. Entsprechend dieser Untersuchung wurden folgende Werte ermittelt:

- $\alpha = 4$, Abbildung 5.7 zeigt, dass diese Wahl nahe liegt.
- $\beta = 2$
- $p_{wahl} = 0.1$, auch diese Wahl kann anhand Abbildung 5.7 nachvollzogen werden: Für kleinere Werte als 0,1 bricht die Leistung meist ein, bei größeren Werten steigt der Bedarf an Rechenzeit pro Iteration.

5.5.7 Ergebnisse der Benchmarks

Ergebnisse der Tests sind in Abbildung 5.8 dargestellt, umfangreiche Messwerte befinden sich in Anhang A.6.

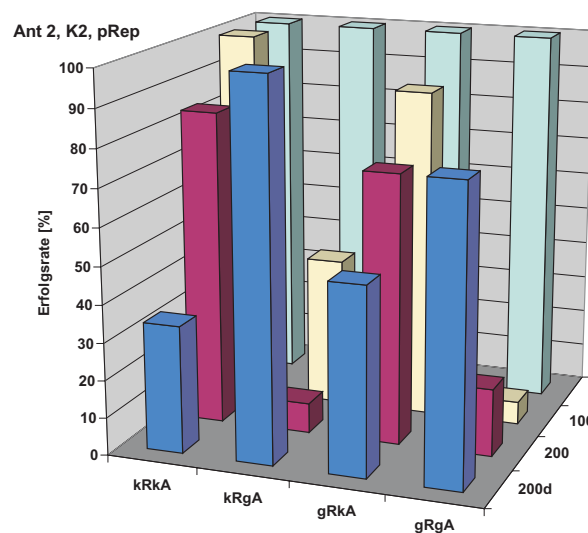


Abbildung 5.8: Erfolgsraten von Ant 2 / K2 / pRep

Die wichtigsten Erkenntnisse sind:

- Die Ergebnisse sind erneut als unbefriedigend zu bewerten, Erfolgsraten und erreichte Noten sind stets unterhalb jenen von GLEAM.
- Die Konstruktionsroutine hat einen extrem hohen Rechenaufwand. In Tabelle 5.9 werden die in 3 Minuten durchgeführten Evaluationen von GLEAM, Ant 1 in der

Anzahl der Grid Jobs	GLEAM	Ant 1v2	ANT 2
50	1.500.000	290.000	235.000
100	570.000	70.000	56.000
200	190.000	12.000	10.000

Abbildung 5.9: Anzahl der Evaluationen von GLEAM, Ant 1v2 und ANT 2 für gRgA (gerundet)

zweiten Version sowie ANT 2 gegenübergestellt, wobei gerundete Werte für die Benchmarkszenarien gRgA benutzt wurden.

Auch das Verfahren ANT 2 ist somit als nicht geeignet zu bewerten. Dies ist aufgrund der Anzahl durchgeführter Evaluationen nicht weiter verwunderlich. Zu untersuchen bleibt, ob bei der gleichen Anzahl an Evaluationen gegenüber GLEAM die Ergebnisse ebenso schlecht ausfallen. Hierzu wurden einige Versuche mit wesentlich längeren Optimierungszeiten unternommen, die jedoch aufgrund des enormen Zeitbedarfs abgebrochen werden mußten.

5.6 Lokales Suchverfahren: TRIV

Die von Ameisenalgorithmen inspirierten Verfahren zuvor sind nicht zuletzt am gewaltigen Rechenaufwand gescheitert, den die Auswahl einzelner Grid Jobs erfordert hat. Dieser Overhead lässt sich daran festmachen, dass für große Anzahlen von gridJobs der Anteil der verwendeten Rechenzeit für die Evaluationsroutine abnimmt, während der Anteil für die Konstruktionsroutine zunimmt.

Als Antwort hierauf wurde ein neuer Ansatz verfolgt. Dieses Suchverfahren besitzt verschiedene mehr oder weniger triviale Operatoren, mit denen Reihenfolgen manipuliert werden können. Jeder dieser Operatoren berücksichtigt dabei Optimierungsmuster einer jeweiligen Sprache und definiert eine eigene Nachbarschaftsfunktion im Suchraum. Das Verfahren wird von einem Lernmechanismus gesteuert, welcher die anzuwendende Operation bestimmt.

Ziel des Verfahrens ist auch, Hinweise für weitere zu testende Operatoren oder lokale

Suchverfahren zu finden. Hierzu kann analysiert werden, welche Operatoren wesentlich zum Erfolg eines Verfahrens beitragen und welche eher unbedeutend sind.

Cluster beschreiben Teilmengen von Elementen einer Lösung, welche in einer beliebigen Weise über Vorgängerbeziehungen miteinander verknüpft sind. Zur Beschreibung eines Clusters gehören auch die zwischen den Elementen liegenden Abstände. Das Konzept des Clusters wurde an dieser Stelle eingeführt, um die Anwendungsneutralität zu unterstreichen: Zwar sind Cluster in diesem Beispiel stets gleichbedeutend mit Application Jobs. Das Verfahren nutzt zur Ermittlung der Zusammenhänge jedoch nur die Vorgängerbeziehung, wodurch auch andere Anwendungen angepasst werden können.

Die einzelnen untersuchten Operatoren sind:

Translation von Elementen: Elemente werden verschoben. Der Verschiebungsweite ist durch die Vorgängerbeziehung eine Grenze gesetzt, da kein Element vor einem seiner Vorgänger oder hinter einem seiner Nachfolger positioniert werden kann. Bei dieser Operation werden vor allem Muster der Sprachen A2 und A8 untersucht.

Translation von Clustern: Bei dieser Operation werden alle Elemente eines Clusters um eine identische Weite nach vorne oder nach hinten verschoben. Aufgrund der Abgeschlossenheit des Clusters über die Vorgängerbeziehungen können diese ignoriert werden. Diese Operation bewahrt bei jeder Operation ein Muster der Sprache A7 bei, während es dessen Elemente verschiebt und somit mehrere Muster der Sprache A8 untersucht.

Translation von Segmenten: Hierbei werden alle Elemente eines Segments um eine identische Weite nach vorne oder nach hinten verschoben. Erneut muß eine Prüfung stattfinden, ob durch die Verschiebung eine Vorgängerbeziehung verletzt wird. Hierbei werden also Muster der Sprache A5 während einer Manipulation gezielt beibehalten, während viele neue Muster der Sprache A8 untersucht werden.

Permutation von Elementen: Zwei beliebige Elemente können ihre Position tauschen. Dabei ist zu prüfen, ob zwischen diesen beiden Positionen ein Element steht, welches Nachfolger des ersten oder Vorgänger des zweiten Elements ist. Erst wenn dies nicht der Fall ist darf ein Austausch durchgeführt werden. Die zugehörige Sprache ist A3.

Permutation von Clustern: Diese Operation ordnet die Elemente von zwei Clustern neu an. Dabei behalten die Elemente der beiden Cluster jeweils ihre Reihenfolge. Alle Elemente, die nicht Teil eines der beiden Cluster sind, behalten ihre absoluten Positionen. Bei dieser Operation werden also Muster der Sprache A6 beibehalten, während sowohl Muster der Sprachen A7 und A8 untersucht werden.

Kontraktion von Clustern: Die Operation besitzt zwei Parameter (Fixpunkt und Skalierungsfaktor) und wird auf Cluster angewendet. Der Fixpunkt bezeichnet eine beliebige Position der Permutation. Der positive, reellwertige Skalierungsfaktor ist stets kleiner als 1. Vom Fixpunkt ausgehend werden durch Verschiebungen alle Abstände zwischen dem Fixpunkt und den Elementen des Clusters anhand des Skalierungsfaktors verringert. Hier und beim folgenden Operator werden Muster der Sprache A7 untersucht, während die über die Sprache A6 beschriebenen relativen Ordnungen erhalten bleiben.

Expansion von Clustern: Als Umkehrfunktion der Kontraktion wird bei der Expansion der Abstand zwischen Fixpunkt und den Elementen des Clusters erhöht.

Nachdem für die entsprechenden Elemente mit Hilfe der Operatoren neue Positionen festgelegt wurden, werden alle verbleibenden Elemente in ihrer bisherigen Reihenfolge auf die noch nicht vergebenen Positionen verteilt.

Welche Operation jeweils durchgeführt wird, wird über einen eigenen Mechanismus entschieden. Für jeden Operationsaufruf wird protokolliert, welche Operation durchgeführt wurde und ob sie Erfolg hatte. Die Wahrscheinlichkeit, mit der ein Operator durchgeführt wird, richtet sich an seiner Treffsicherheit in der Vergangenheit, wobei Mindestwahrscheinlichkeiten beachtet werden. Dieses Verfahren ist auch als wiederholte, adaptiv gesteuerte Mutation ausgewählter Individuen zu sehen.

5.6.1 Algorithmus und Implementierung

Zur Identifikation der über Vorgängerbeziehungen zusammenhängenden Elemente wird zunächst eine Initialisierungsroutine aufgerufen. Zunächst wird das Produkt aus der ge-

gegebenen Vorgängermatrix mit der transponierten Vorgängermatrix gebildet. Die Diagonalelemente der so ermittelten Matrix werden auf TRUE gesetzt. Anschließend wird mit Hilfe des Warshall-Algorithmus [War62] die reflexiv-transitive Hülle gebildet. Anschließend werden die Elemente nacheinander analysiert: Wenn sie nicht mit einem bereits analysiertem Element verbunden sind, so gründen sie einen neuen Cluster. Andernfalls sind sie mit einem Element verbunden, dem bereits ein Cluster zugeordnet ist, und erben diese Zuordnung.

Die in Abschnitt 5.6 vorgestellten Operatoren wurden als Funktionen implementiert, die mit Angaben über die zu manipulierenden Elemente sowie gegebenenfalls zufälligen Steuerungsparametern (der Verschiebungsweite oder dem Fixpunkt und dem Skalierungsfaktor) aufgerufen werden. Die Operatoren werden nur ausgeführt, wenn durch sie keine Vorgängerbeziehung verletzt wird.

Der triviale Lernmechanismus speichert für jedes Verfahren die Anzahl der erfolgreichen und der erfolglosen Versuche, per Mutation eine Verbesserung erbeizuführen. Findet ein Operator eine bessere Lösung, so steigt seine Aufrufwahrscheinlichkeit. Findet er keine Lösung, so wird die Wahrscheinlichkeit allmählich wieder heruntergeregelt. Ebenso wäre eine Ansteuerung der einzelnen Operatoren mit Hilfe des von HyGLEAM bereitgestellten Adaptionmechanismus möglich. Hiergegen sprach die Vielzahl der Operatoren, da Erfahrungen gezeigt hatten, dass HyGLEAM nicht zu viele Parameter gleichzeitig sinnvoll adaptieren kann.

Bei jedem Aufruf des Verfahrens werden 8 Versuche unternommen, mit Hilfe eines Operators eine Verbesserung zu erzielen.

5.6.2 Ergebnisse der Benchmarks

Abbildung 5.10 zeigt die Erfolgsraten. Im Anhang A.7 sind die ausführlichen Benchmarkergebnisse dargestellt.

Die Messwerte der Anzahl an Evaluationen ist nicht plausibel, da nicht weniger Evaluationen als das Produkt aus Populationsgröße und Generationsanzahl berechnet werden können. Offenbar wurden durch einen Fehler zahlreiche Evaluationen nicht gezählt. Damit kann erklärt werden, warum der Adaptionmechanismus von HyGLEAM die Wahrschein-

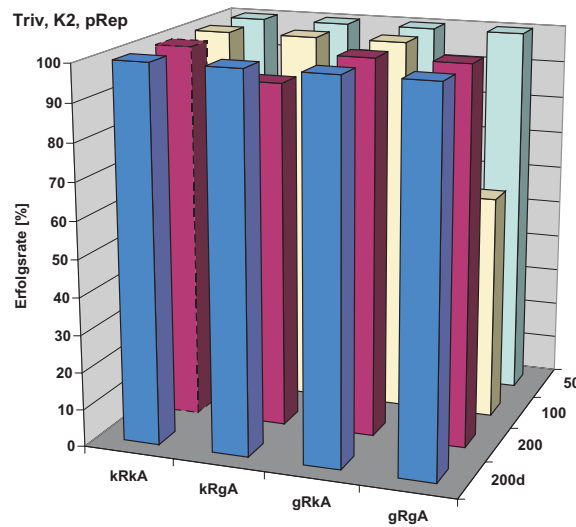


Abbildung 5.10: Erfolgsraten von Triv / K2 / pRep

lichkeit, alle Individuen zu optimieren, stets auf den Maximalwert geregelt hat. (Das in den Benchmarkergebnissen angegebene Level 5 entspricht der höchsten Wahrscheinlichkeit.)

Werden dem lokalen Suchverfahren zu wenige Evaluationen zugerechnet, so steigt die Erfolgsrate dieser Evaluationen. Folgerichtig entscheidet der Adaptionsmechanismus, mehr Rechenzeit in das Verfahren zu investieren. Dies macht er, indem er die Wahrscheinlichkeit erhöht, das lokale Suchverfahren Triv auf alle Individuen jeder Generation einmal anzuwenden.

Pro Aufruf von Triv werden 8 Evaluationen durchgeführt. Schätzt man die Anzahl der Evaluationen mit 8 mal dem Produkt aus Populationsgröße und Generationsanzahl ab, so erhält man eine vorsichtige Abschätzung der Evaluationen. Diese scheint jedoch realistischer zu sein als die gemessene Anzahl. Eine Wiederholung aller Tests war leider nicht möglich, da diese erneut etwa 200 CPU-Stunden gekostet hätte, zusätzlich zu einem Vor- und Nachbereitungsaufwand.

Die Erfolgsraten von Triv sind jedoch wesentlich besser als die der Ameisen-inspirierten Verfahren. In zwei von 16 Szenarien wurden in 8% beziehungsweise 40% der Tests keine straffreien Lösungen gefunden. Im zweiten Fall, beim Benchmark gRgA 100, gelang dies

aber auch mit GLEAM in 31% der Fälle nicht.

Unter allen untersuchten Verfahren ist Triv nach GLEAM als das beste Verfahren zu bewerten. Ziel weiterführender Untersuchungen sollte sein, diejenigen Operatoren zu identifizieren, die zum Erfolg des Verfahrens beigetragen haben. Dies entspricht - wie in Abschnitt 4.2.2 beschrieben - der Suche nach Sprachen, mit denen Indikatoren guter Lösungen beschrieben werden können. Mit diesem Wissen ist zum einen die Konstruktion neuer lokaler Suchverfahren möglich. Zum anderen können entsprechende Mutationsoperatoren in den evolutionären Algorithmus GLEAM aufgenommen werden.

Kapitel 6

Fazit und Ausblick

6.1 Zusammenfassung der Arbeit

GORBA ist eine Software für das Ressourcenmanagement im Grid. Zur effizienten Planung und Allokation von Jobs ist ein komplexes Schedulingproblem zu lösen. Das GORBA-Problem wurde mit Hilfe einer etablierten Notation formuliert. Zur Lösung des Problems werden Vereinfachungen genutzt, hierzu zählen auch mehrere Heuristiken zur Einschränkung des Suchraumes, welche beschrieben wurden. Ähnliche Aufgabenstellungen konnten in der Literatur nicht ausgemacht werden. Das GORBA-Problem gehört der Klasse NP-vollständig an, eine entsprechende Beweisskizze wurde geliefert. Für die Bewertung von Lösungsverfahren wurden 16 Benchmarkszenarien eingeführt.

Zur Lösung des GORBA-Problems ist von einem Optimierungsverfahren eine geeignete Reihenfolge von Elementen zu finden. Hierzu wird der evolutionäre Algorithmus HyGLEAM genutzt. Die wesentlichen von HyGLEAM genutzten Mechanismen und Konzepte wurden erklärt. Hierzu zählen vor allem das Genmodell, die genetischen Operatoren und das Nachbarschaftsmodell. HyGLEAM die memetische Variante des Algorithmus GLEAM. Die Einbindung lokaler Suchverfahren sowie ein Adaptionsmechanismus zur Ansteuerung lokaler Suchverfahren wurden beschrieben. Ebenso wurde auf die Vorgehensweise zur Durchführung der Benchmarks des GORBA-Problems eingegangen. Als Referenz wurden Benchmarks mit GLEAM durchgeführt.

Der Einsatz hybrider Algorithmen, also Kombinationen von Metaheuristiken und spezifischeren lokalen Suchverfahren, wurde mit Hilfe des No Free Lunch Theorems motiviert. Als ein Werkzeug zur Charakterisierung lokaler Suchverfahren wurde das Konzept des Optimierungsmusters eingeführt. Durch die Angabe relevanter Optimierungsmuster können sowohl lokale Suchverfahren als auch Problemstellungen beschrieben werden. Durch eine entsprechende Analyse einer Optimierungsaufgabe können so gezielt lokale Suchverfahren identifiziert werden.

Zur Lösung des GORBA-Problems wurden fünf lokale Suchverfahren untersucht. Alle Verfahren wurden ausführlich motiviert und beschrieben. Die Güte der Verfahren wurde mit Hilfe der Benchmarks des GORBA-Problems bewertet. Mit dem Verfahren „Stoss“ wurde zunächst der Versuch unternommen, durch wiederholte Verschiebungen einzelner Elemente neue und bessere Lösungen zu finden. Die Ergebnisse waren jedoch durchgehend schlechter als die zuvor mit GLEAM erzielten.

Als ein neuer Ansatz wurden lokale Suchverfahren in Anlehnung an Ameisenalgorithmen entwickelt. Wissen, welches durch die Evaluation konstruierter Individuen gewonnen wurde, wird hierbei in einer Pheromonmatrix gespeichert. Mit diesem Wissen sollten zunehmend bessere Varianten der Individuen aus der Population von HyGLEAM erstellt werden. Bei der ersten Version von ANT 1 wurde hierbei auf die Nachbarschaft von Elementen in der Permutation abgezielt. Die ersten Benchmarkergebnisse des Verfahrens waren schlecht, und so wurde der Ansatz verworfen.

Zwei weitere Varianten dieses Ansatzes wurden entwickelt. Eine erweiterte Version von ANT 1 untersucht Elemente dahingehend, ob sie in guten Lösungen nahe beieinander stehen sollten oder nicht. Das lokale Suchverfahren ANT 2 untersucht die Verteilungen des Zusammenhangs zwischen der Lösungsqualität und der absoluten Position von Elementen. Diese beiden Verfahren erzielten zwar bessere Ergebnisse als die erste Version von ANT 1. Die Leistungen beider Verfahren liegen jedoch ebenfalls deutlich unter jenen von GLEAM. Der Aufwand für die Konstruktion neuer Individuen ist dabei sehr zeitaufwändig, worin ein wesentlicher Grund für den Misserfolg der Algorithmen zu sehen ist.

Mit „Triv“ wurde ein letzter Versuch unternommen, Individuen durch geeignete Manipulationen zu verbessern. Hierbei wurde ein Katalog von mehreren, vergleichsweise tri-

vialen Operatoren definiert, welche wiederholt auf Lösungen angewendet werden. Ein simpler Lernmechanismus adaptiert dabei die Wahrscheinlichkeiten, mit denen einer der Operatoren gewählt wird. Mit „Triv“ wurden die besten Benchmarkergebnisse aller lokaler Suchverfahren erzielt, die Erfolgsraten liegen nur knapp unter jenen von GLEAM.

6.2 Ausblick

Im Rahmen dieser Diplomarbeit konnte keine Verbesserung der Leistung von HyGLEAM zur Lösung des GORBA-Problems erreicht werden. Dennoch können viele, im Laufe der Analyse des GORBA-Problems und der Implementierung gewonnenen Erkenntnisse zur Weiterentwicklung von HyGLEAM beitragen.

GORBA ist bislang noch nicht im Produktiveinsatz. Die wohl wichtigsten Hinweise, inwiefern das GORBA-Problem richtig gestellt ist und wie HyGLEAM darauf angepasst werden kann, wird der erste Einsatz von GORBA bringen. Das GORBA-Problem beruht bislang auf vielen Hypothesen über zukünftige Anwendungen und Anwender. Eine Konkretisierung der Anforderungen an GORBA sollte daher stets mit der Weiterentwicklung von GORBA einhergehen.

Die untersuchten lokalen Suchverfahren operieren in einem vereinfachten Suchraum des GORBA-Problems. Eine anwendungsspezifische Suche im Lösungsraum und damit eine Umplanung kann viele Vorteile bringen. Beim Eintreffen neuer Jobs könnte eine Umplanung schneller sein als eine komplette Neuplanung aller Jobs. Viel wesentlicher ist der Vorteil, dass nicht bei jeder Evaluation eines Individuums alle Jobs einzuplanen sind. Die Implementierung eines derartigen Mechanismus in HyGLEAM ist allerdings als sehr aufwändig einzuschätzen.

Die genetischen Operatoren sind ein wesentlicher Erfolgsfaktor evolutionärer Algorithmen. Die begonnene Integration neuer Rekombinationsoperatoren in GLEAM zeigt bereits erste positive Ergebnisse. Die Mutationsoperatoren des Verfahrens Triv könnten ebenso in GLEAM integriert werden. Weitere Untersuchungen des Verfahrens Triv könnten die Frage beantworten, ob der Adaptionsmechanismus von HyGLEAM auch für die Auswahl der genetischen Operatoren sinnvoll einzusetzen ist. Von einer Integration dieser genetischen

Operatoren würden auch andere Anwendungen von HyGLEAM profitieren.

6.3 Dank

Mein Dank gilt Herrn Prof. Dr. Schmeck und Herrn Dr. Jakob für die Betreuung meiner Diplomarbeit. Ebenso möchte ich mich für die Unterstützung durch Frau Dr. Mostaghim, Herrn Dr. Stucky, den Teilnehmern des Diplomandenseminars am AIFB sowie der Forschungsgruppe Grid am IAI bedanken. Ebenso danke ich meiner Familie für ihre Unterstützung.

Anhang A

Testergebnisse

A.1 Benchmarks und verwendete Abkürzungen

Im Folgenden befinden sich die aufgearbeiteten Testergebnisse von GLEAM und den untersuchten lokalen Suchverfahren Stoss, Ant 1 in der zweiten Version, Ant 2 sowie Triv. Die Bezeichnungen bedeuten dabei:

Bezeichnung	Bedeutung
kR / gR	kleiner / großer Ressourcenauswahlgrad
kA / gA	kleiner / großer Abhängigkeitsgrad
GJobAnz	Anzahl der Grid Jobs des Benchmarks
Pop-Size	Populationsgröße des evolutionären Algorithmus
Zeit Schn	Durchschnittliche Zeit bis zur Konvergenz
StdA, rStdA	(relative) Standardabweichung
Gen Schn	Durchschnittliche Anzahl an Generationen
RAuswStrat	Verteilung der gewählten Allokationsheuristik
fst, che, AJ	Global Fast, Global Cheap oder Application Job spezifisch
StrFk	Anteil der Lösungen mit Straffunktionen (X: irrelevant)
95%-Ki	Breite des 95%-Konfidenzintervalls der Note

A.2 Benchmarkergebnisse für GLEAM / K1 / gRep

A.2.1 Szenarien „gR gA“

GJob	Pop- Anz	Size	Erfolg Note	NSF	Zeit Schn	----- Schn	Note Min	Max	----- StdA	Gen rStdA	Indiv Schn	RAuswStrat fst che	StrFk AJ Ue	X
	50	300	98	98	2:34	41473	21819	42425	2849	6.9	1073	1662836	-AktParam--	1 0
	50	400	100	100	2:57	41923	40811	42650	371	0.9	922	1911743	-AktParam--	0 0
	50	500	100	100	3:00	41972	41201	42973	280	0.7	746	1936323	-AktParam--	0 0
	100	300	68	68	3:00	37645	22244	42722	5470	14.5	545	792833	-AktParam--	16 0
	100	400	66	66	3:00	37052	23444	42178	5563	15.0	393	790734	-AktParam--	17 0
	100	500	70	70	3:00	37227	24375	42015	5450	14.6	303	787879	-AktParam--	15 0
	100	600	58	58	3:00	35949	23536	42146	5673	15.8	251	801695	-AktParam--	21 0
	200	90	38	38	3:00	35571	28245	39581	3086	8.7	773	288507	-AktParam--	31 0
	200	120	44	44	3:00	35773	29792	39688	3205	9.0	558	285586	-AktParam--	28 0
	200	150	59	59	3:00	36789	29694	39411	2761	7.5	426	283826	-AktParam--	21 0
	200	200	54	54	3:00	36529	29908	39195	2683	7.3	295	277279	-AktParam--	23 0
	200	250	46	46	3:00	35983	29808	39116	2621	7.3	226	276601	-AktParam--	27 0
	200	300	48	48	3:00	35967	29783	38814	2622	7.3	183	276788	-AktParam--	25 0
d200	120	30	30	30	3:00	35753	31580	40450	2648	7.4	711	411788	-AktParam--	35 0
d200	150	40	40	40	3:00	36223	26921	40396	3104	8.6	548	402716	-AktParam--	30 0
d200	200	32	32	32	3:00	35862	33766	40155	2581	7.2	396	400465	-AktParam--	34 0
d200	250	34	34	34	3:00	35560	26889	39678	2842	8.0	307	396705	-AktParam--	33 0
d200	300	32	32	32	3:00	35291	26953	39336	2862	8.1	250	393375	-AktParam--	34 0

A.2.2 Szenarien „gR kA“

GJob	Pop- Anz	Erfolg Size	Zeit Note	----- NSF	Note Schn	----- Schn	Min	Note Max	----- StdA	Gen rStdA	Indiv Schn	RAuswStrat fst	StrFk che	StrFk AJ	StrFk Ue	StrFk X
	50	400	100	100	2:49	46385	44602	48199	969	2.1	1392	2618321	-AktParam--	0	0	
	50	500	100	100	2:58	46797	44930	49768	988	2.1	1156	2747340	-AktParam--	0	0	
	50	600	100	100	2:59	46748	44716	48704	983	2.1	972	2766016	-AktParam--	0	0	
	100	400	90	90	3:00	41345	30329	43108	3251	7.9	591	1103152	-AktParam--	5	0	
	100	500	96	96	3:00	41964	32756	43244	1942	4.6	455	1099677	-AktParam--	2	0	
	100	600	98	98	3:00	41782	29767	42893	1784	4.3	369	1099148	-AktParam--	1	0	
	100	700	86	86	3:00	40533	29563	43250	3801	9.4	312	1117341	-AktParam--	7	0	
	100	800	90	90	3:00	40630	31181	42404	3099	7.6	268	1118423	-AktParam--	5	0	
	200	150	18	18	3:00	32485	30374	39647	3176	9.8	683	413213	-AktParam--	41	0	
	200	200	28	28	3:00	33326	30500	39522	3603	10.8	472	410212	-AktParam--	36	0	
	200	250	24	24	3:00	32617	26494	39042	3639	11.2	352	401464	-AktParam--	38	0	
	200	300	22	22	3:00	32423	29074	38839	3321	10.2	283	400970	-AktParam--	39	0	
	200	400	22	22	3:00	32023	26278	38417	3541	11.1	203	403223	-AktParam--	38	0	
d200	120	92	92	3:00	40878	35320	41890	1615	1615	4.0	1191	577223	-AktParam--	4	0	
d200	150	96	96	3:00	40976	27308	42085	2174	2174	5.3	901	562884	-AktParam--	2	0	
d200	200	100	100	3:00	41290	40504	41902	286	286	0.7	630	554882	-AktParam--	0	0	
d200	250	100	100	3:00	41121	40489	41715	305	305	0.7	484	551361	-AktParam--	0	0	
d200	300	98	98	3:00	40883	35100	41448	866	866	2.1	391	550088	-AktParam--	1	0	

A.2.3 Szenarien „kR gA“

GJob	Pop-	Erfolg	Zeit	-----				Note	-----		Gen	Indiv	RAuswStrat	StrFk			
Anz	Size	Note	NSF	Schn	Schn	Min	Max		StdA	rStdA	Schn	Schn	fst	che	AJ	Ue	X
50	300	100	100	1:26	45714	44220	47012		880	1.9	781	1178367	-AktParam--		0	0	
50	400	100	100	2:05	46133	44694	47259		878	1.9	834	1696186	-AktParam--		0	0	
50	500	100	100	2:31	46102	44309	47259		903	2.0	815	2050983	-AktParam--		0	0	
100	200	100	100	2:49	47063	44016	48198		716	1.5	1059	952185	-AktParam--		0	0	
100	250	100	100	2:56	47333	45439	48306		536	1.1	878	973597	-AktParam--		0	0	
100	300	100	100	3:00	47280	45788	48086		442	0.9	720	992496	-AktParam--		0	0	
100	400	100	100	3:00	47418	46061	48387		431	0.9	521	988988	-AktParam--		0	0	
100	500	100	100	3:00	47303	46220	48524		374	0.8	407	988619	-AktParam--		0	0	
100	600	100	100	3:00	47293	46141	47840		382	0.8	334	1004404	-AktParam--		0	0	
100	700	100	100	3:00	47366	46675	49068		441	0.9	275	1006049	-AktParam--		0	0	
200	150	100	92	3:00	44852	37735	46361		1993	4.4	575	374956	-AktParam--		4	0	
200	200	100	100	3:00	45421	44422	46318		417	0.9	388	366097	-AktParam--		0	0	
200	250	100	100	3:00	45217	44431	46181		393	0.9	296	364933	-AktParam--		0	0	
200	300	100	100	3:00	44907	43582	45629		376	0.8	236	365364	-AktParam--		0	0	
200	400	96	96	3:00	44165	37681	45222		1377	3.1	168	367104	-AktParam--		2	0	
200	500	98	98	3:00	43725	37245	44621		1001	2.3	132	373585	-AktParam--		1	0	
d200	150	68	68	3:00	43202	34341	47806		4857	11.2	739	520266	-AktParam--		16	0	
d200	200	84	84	3:00	44653	35238	47575		3808	8.5	524	511899	-AktParam--		8	0	
d200	250	90	90	3:00	45037	35942	47506		2980	6.6	398	505500	-AktParam--		5	0	
d200	300	82	82	3:00	44009	33954	46982		3911	8.9	324	504338	-AktParam--		9	0	
d200	400	86	86	3:00	43713	34987	46154		3035	6.9	232	503355	-AktParam--		7	0	

A.2.4 Szenarien „kR kA“

GJob	Pop-	Erfolg	Zeit	-----				Note	-----		Gen	Indiv	RAuswStrat	StrFk			
Anz	Size	Note	NSF	Schn	Schn	Min	Max		StdA	rStdA	Schn	Schn	fst	che	AJ	Ue	X
50	300	100	100	1:05	49258	48578	49967		290	0.6	838	1201296	-AktParam--		0	0	
50	400	100	100	1:32	49263	47520	50003		386	0.8	860	1644212	-AktParam--		0	0	
50	500	100	100	1:56	49374	48280	50003		315	0.6	896	2140169	-AktParam--		0	0	
100	250	100	100	2:57	44110	43032	45332		522	1.2	1240	1316422	-AktParam--		0	0	
100	300	100	100	3:00	44049	43354	45431		447	1.0	997	1321576	-AktParam--		0	0	
100	400	100	100	3:00	44104	43108	45418		495	1.1	733	1321025	-AktParam--		0	0	
100	500	100	100	3:00	44021	42964	45094		440	1.0	555	1308506	-AktParam--		0	0	
200	200	96	96	3:00	40614	30502	41605		2090	5.1	527	496178	-AktParam--		2	0	
200	250	90	90	3:00	39916	30260	41652		2968	7.4	403	497215	-AktParam--		5	0	
200	300	98	98	3:00	40312	29662	41095		1565	3.9	331	506032	-AktParam--		1	0	
200	400	96	96	3:00	39743	30163	40895		1688	4.2	238	510709	-AktParam--		2	0	
200	500	100	100	3:00	39566	38916	40485		339	0.9	184	509944	-AktParam--		0	0	
200	600	90	90	3:00	38461	29268	39874		2123	5.5	146	503909	-AktParam--		5	0	
d200	150	86	86	3:00	41133	32346	42839		3029	7.4	1030	652229	-AktParam--		7	0	
d200	200	80	80	2:56	40577	32046	43297		3621	8.9	719	635500	-AktParam--		10	0	
d200	250	92	92	3:00	41411	32089	42752		2698	6.5	537	631370	-AktParam--		4	0	
d200	300	90	90	3:00	41253	32046	42719		2674	6.5	432	632907	-AktParam--		5	0	
d200	400	80	80	3:00	40189	31963	42583		3492	8.7	310	639305	-AktParam--		10	0	
d200	500	92	92	3:00	40968	31618	42313		2215	5.4	238	637481	-AktParam--		4	0	
d200	600	76	76	3:00	39151	31446	42754		3610	9.2	185	608581	-AktParam--		12	0	
d200	700	70	70	3:00	38232	31319	42858		4188	11.0	165	636676	-AktParam--		15	0	

A.3 Benchmarkergebnisse für GLEAM / K2 / pRep

A.3.1 Szenarien „gR gA“

GJob	Pop-	Erfolg	Zeit	----- Note -----				-----		Gen	Indiv	RAuswStrat		StrFk		
Anz	Size	Note	NSF	Schn	Schn	Min	Max	StdA	rStdA	Schn	Schn	fst	che	AJ	Ue	X
50	250	100	100	2:15	42156	41267	43639	364	0.9	761	874367	0	49	50	0	0
50	300	100	100	2:34	42254	41238	43730	391	0.9	723	984600	0	56	44	0	0
50	400	100	100	2:55	42317	41291	43327	334	0.8	647	1174889	0	52	48	0	0
50	500	100	100	3:00	42359	41694	43213	356	0.8	401	936536	0	48	52	0	0
100	250	59	59	2:59	35645	20348	41554	5883	16.5	478	523749	0	11	89	41	0
100	300	75	75	3:00	37599	23175	42786	4756	12.6	394	526138	0	10	90	25	0
100	400	79	79	3:00	38133	27359	41854	4295	11.3	282	514938	0	14	86	21	0
100	500	76	76	3:00	37627	24062	42136	4703	12.5	219	513961	0	15	85	24	0
100	600	70	70	3:00	36917	26526	41186	4774	12.9	178	514281	0	5	95	30	0
200	90	92	92	3:00	39098	34215	40585	1472	3.8	458	174443	0	2	98	8	0
200	120	98	98	3:00	39376	33975	40252	815	2.1	331	174781	0	3	97	2	0
200	150	97	97	3:00	39420	34466	40458	834	2.1	255	173825	0	8	92	2	0
200	200	100	100	3:00	39575	38342	40275	348	0.9	185	173677	0	5	95	0	0
200	250	99	99	3:00	39415	34860	40458	565	1.4	142	171055	0	6	94	1	0
200	300	99	99	3:00	39306	34594	40362	609	1.6	115	170953	0	6	94	1	0
200	400	99	99	3:00	39141	34018	39901	615	1.6	83	169573	0	8	92	1	0
d200	250	100	100	3:00	41798	40832	42755	393	0.9	161	198657	99	1	0	0	0
d200	300	100	100	3:00	41828	40792	42689	354	0.8	129	198392	100	0	0	0	0
d200	400	100	100	3:00	41618	40752	42780	362	0.9	94	197484	100	0	0	0	0
d200	500	100	100	3:00	41469	40787	42070	306	0.7	72	197024	100	0	0	0	0

A.3.2 Szenarien „gR kA“

GJob	Pop-	Erfolg	Zeit	-----	Note	-----	Gen	Indiv	RAuswStrat	StrFk							
Anz	Size	Note	NSF	Schn	Schn	Min	Max	StdA	rStdA	Schn	Schn	fst	che	AJ	Ue	X	
50	250	100	100	1:50	48618	46709	50270	760	1.6	929	973330	50	7	43	0	0	
50	300	100	100	2:10	48877	47159	50376	662	1.4	944	1160973	48	10	42	0	0	
50	400	100	100	2:38	48961	47074	51095	628	1.3	849	1403754	38	4	58	0	0	
50	500	100	100	2:58	49205	47401	50698	555	1.1	753	1573192	36	8	56	0	0	
100	250	100	100	2:59	43777	42328	45136	638	1.5	580	574114	25	6	69	0	0	
100	300	100	100	3:00	43968	41939	45411	707	1.6	470	573151	31	6	63	0	0	
100	400	100	100	3:00	43880	42327	45149	585	1.3	334	570729	33	5	62	0	0	
100	500	100	100	3:00	43831	42328	45265	617	1.4	257	569253	37	3	60	0	0	
200	120	100	100	3:00	40187	38060	41505	515	1.3	404	194853	18	60	22	0	0	
200	150	100	100	3:00	40281	38960	41701	447	1.1	307	194219	23	57	20	0	0	
200	200	100	100	3:00	40269	39465	40958	348	0.9	217	192789	21	44	35	0	0	
200	250	100	100	3:00	40266	39206	40997	374	0.9	164	190599	17	51	32	0	0	
200	300	100	100	3:00	40208	38960	41193	404	1.0	132	189923	17	51	32	0	0	
200	400	100	100	3:00	40028	38832	41182	366	0.9	94	190022	26	45	29	0	0	
200	500	100	100	3:00	39865	38907	40825	336	0.8	71	188300	26	49	25	0	0	
d200	120	100	100	3:00	42520	41251	43418	487	1.1	403	200093	95	0	5	0	0	
d200	150	100	100	3:00	42541	41358	43865	484	1.1	310	198928	92	0	8	0	0	
d200	200	100	100	3:00	42494	40834	43705	530	1.2	216	195076	94	0	6	0	0	
d200	250	100	100	3:00	42437	41054	43978	522	1.2	166	193079	96	0	4	0	0	
d200	300	100	100	3:00	42326	40772	43364	415	1.0	133	191393	93	0	7	0	0	
d200	400	100	100	3:00	42108	40486	43140	438	1.0	96	191183	95	0	5	0	0	
d200	500	100	100	3:00	42006	41055	42844	374	0.9	74	190755	91	1	8	0	0	

A.3.3 Szenarien „kR gA“

GJob	Pop-	Erfolg	Zeit	-----				Note	-----		Gen	Indiv	RAusw	Strat	StrFk	
Anz	Size	Note	NSF	Schn	Schn	Min	Max	StdA	rStdA	Schn	Schn	fst	che	AJ	Ue	X
50	300	100	100	1:37	45102	44669	45504	330	0.7	781	1190460	38	6	56	0	0
50	400	100	100	2:00	45124	44516	45504	306	0.7	720	1467926	38	8	54	0	0
50	500	100	100	2:39	45243	44669	45504	303	0.7	770	1945242	44	2	54	0	0
100	300	100	100	3:00	46886	45416	47811	541	1.2	632	855114	54	10	36	0	0
100	400	98	98	3:00	46901	34584	48515	1844	3.9	469	852301	52	12	36	1	0
100	500	100	100	3:00	47137	46379	48555	482	1.0	365	859175	70	6	24	0	0
100	600	100	100	3:00	47117	46357	48906	417	0.9	296	852514	52	6	42	0	0
200	200	100	98	3:00	45816	39910	47126	1018	2.2	322	300835	36	40	24	1	0
200	250	100	100	3:00	45988	44977	47320	516	1.1	244	298308	48	28	24	0	0
200	300	100	100	3:00	45821	43973	46634	492	1.1	197	296570	16	46	38	0	0
200	400	98	98	3:00	45549	38722	46492	1085	2.4	143	297267	40	24	36	1	0
d200	150	100	100	3:00	47630	46256	49466	609	1.3	583	378056	52	2	46	0	0
d200	200	100	100	3:00	47853	46310	49870	698	1.5	422	374225	62	0	38	0	0
d200	250	100	100	3:00	47926	46668	48854	517	1.1	317	367560	66	2	32	0	0
d200	300	100	100	3:00	47852	46525	49330	554	1.2	254	366226	68	2	30	0	0
d200	400	100	100	3:00	47751	46963	48488	364	0.8	183	364917	64	2	34	0	0

A.3.4 Szenarien „kR kA“

GJob	Pop- Anz	Size	Erfolg Note NSF	Zeit Schn	----- Schn	Note Min	Max	----- StdA	rStdA	Gen Schn	Indiv Schn	RAusw	Strat	StrFk				
	50	300	100	100	1:16	45313	44495	46151	373	0.8	849	1124339	50	16	34	0	0	
	50	400	100	100	1:44	45344	44659	46151	343	0.8	856	1523925	58	16	26	0	0	
	50	500	100	100	2:15	45399	44642	46204	384	0.8	896	1971821	58	14	28	0	0	
	100	300	100	100	2:59	42486	41609	43471	387	0.9	822	1009482	26	28	46	0	0	
	100	400	100	100	3:00	42432	41746	43806	413	1.0	588	1004796	30	20	50	0	0	
	100	500	100	100	3:00	42630	41815	43491	366	0.9	455	1003692	26	24	50	0	0	
	100	600	100	100	3:00	42567	41960	43406	349	0.8	367	1000287	14	42	44	0	0	
	200	90	96	96	3:00	40480	33782	41271	1349	3.3	1038	371544	62	12	26	2	0	
	200	120	100	100	3:00	40807	39889	41532	357	0.9	733	376501	58	18	24	0	0	
	200	150	100	100	3:00	40782	40058	41345	305	0.7	554	369688	56	12	32	0	0	
	200	200	100	100	3:00	40649	39987	41305	320	0.8	395	370131	66	10	24	0	0	
	200	250	100	100	3:00	40545	39880	41042	284	0.7	306	369872	60	10	30	0	0	
	200	300	100	100	3:00	40406	39690	40941	270	0.7	247	370730	68	18	14	0	0	
d200	150	100	100	100	3:00	41801	41058	42613	373	0.9	599	386278	60	0	40	0	0	
d200	200	100	100	100	3:00	41791	40856	42552	368	0.9	424	383385	70	0	30	0	0	
d200	250	100	100	100	3:00	41780	41180	42506	307	0.7	327	382361	62	0	38	0	0	
d200	300	100	100	100	3:00	41675	41045	42414	303	0.7	264	381119	62	0	38	0	0	

A.4 Benchmarkergebnisse für Stoss / K2 / pRep

A.4.1 Szenarien „gR gA“

Populationsgröße

Erfolgsrate erreichte Mindestnote																	
Erfolgsrate Straffreiheit																	
Anzahl der Adaptionen																	
Level d. Parameters "Pivotregel" 0=0, 1=0.2, ...																	
d. Parameters "Verschiebungsweite" 0=0, 1=0.2, ...																	
Level d. W'keit von "LSV für ganze Gen." 0=0, 1=0,2...																	
Zeit bis zur Konvergenz (Max. 3:00 Minuten)																	
erreichte Note																	
Minimalwert erreichte Note																	
Breite des 95%-KI der Note																	
Anzahl der Generationen																	
Evaluationen																	
Anteil "Fast"																	
"Cheap"																	
"Appl."																	
ÜbLä																	
X																	
gR_gA 50 K2 stoss 39850 =====																	
10	98	98	3121	3.0	5.0	2.7	0:36	41176	24842	681	841	282536	0	74	26	1	0
20	100	100	5976	3.3	5.7	2.5	1:15	41737	40149	157	762	574237	0	66	34	0	0
50	100	100	127012	8.8	5.5	2.3	2:43	42054	41194	128	655	1262831	0	60	40	0	0
90	100	100	141242	7.7	5.2	3.1	3:00	42153	41243	137	397	1463506	2	40	58	0	0
gR_gA 100 K2 stoss 36917 =====																	
10	14	14	3506	2.4	5.1	3.4	2:51	26380	16852	-	904	516429	8	2	90	43	0
20	4	4	3806	3.1	5.1	3.5	2:59	23941	14900	-	484	539282	8	6	86	48	0
50	16	16	3876	2.7	4.8	3.4	3:00	28957	18434	-	178	543155	2	6	92	42	0
90	24	24	4075	2.8	4.8	3.2	3:00	29395	17354	-	98	541808	0	8	92	38	0
gR_gA 200 K2 stoss 37745 =====																	
10	54	54	1105	2.6	4.5	2.7	3:00	36071	27346	-	307	181254	0	4	96	22	0
20	64	64	976	2.6	4.8	3.1	3:00	36817	30811	-	131	182895	0	2	98	18	0
50	70	70	1039	2.8	5.1	2.9	3:01	37077	31832	-	47	182101	0	6	94	15	0
90	56	56	998	3.0	4.6	3.3	3:02	36671	31791	-	23	180354	0	0	100	18	0
gR_gA 200d K2 stoss 37931 =====																	
10	100	100	1088	2.9	4.9	3.0	3:00	41052	40236	130	298	206316	100	0	0	0	0
20	100	100	1070	2.8	5.2	2.8	3:00	40991	39990	121	133	204894	100	0	0	0	0
50	100	100	1100	3.1	5.6	3.5	3:01	41075	40431	99	48	205716	100	0	0	0	0
90	100	100	1151	2.7	4.8	4.0	3:01	40780	39992	109	26	204255	100	0	0	0	0

Erfolgsrate erreichte Mindestnote																		
Erfolgsrate Straffreiheit																		
Anzahl der Adaptionen																		
Level d. Parameters "Pivotregel" 0=0, 1=0.2, ...																		
d. Parameters "Verschiebungsweite" 0=0, 1=0.2, ...																		
Level d. W'keit von "LSV für ganze Gen." 0=0, 1=0,2...																		
Zeit bis zur Konvergenz (Max. 3:00 Minuten)																		
erreichte Note																		
Minimalwert erreichte Note																		
Breite des 95%-KI der Note																		
Anzahl der Generationen																		
Evaluationen																		
Anteil "Fast"																		
"Cheap"																		
"Appl."																		
ÜbLä																		
X																		
gR_kA 50 K2 stoss 40793 =====																		
10	100	100	3690	3.8	5.6	2.1	0:43	47057	43897	270	1005	380683	10	40	50	0	0	
20	100	100	7105	3.2	5.3	2.7	1:27	47266	45378	259	934	768849	28	38	34	0	0	
50	100	100	128763	7.7	5.6	2.8	2:36	47829	46031	250	686	1403188	38	30	32	0	0	
90	100	100	147583	4.4	5.5	2.8	2:59	48317	46656	270	431	1623075	38	18	44	0	0	
gR_kA 100 K2 stoss 38333 =====																		
10	100	100	3522	3.2	6.2	3.1	2:52	42667	39994	310	1025	568451	20	16	64	0	0	
20	100	100	3649	3.2	5.3	2.3	3:00	42888	41260	221	510	597237	30	10	60	0	0	
50	100	100	3483	3.6	5.1	2.6	3:00	42781	39143	254	176	593572	24	14	62	0	0	
90	100	100	3445	3.3	5.6	2.9	3:00	42870	41308	215	89	593473	16	10	74	0	0	
gR_kA 200 K2 stoss 37289 =====																		
10	100	100	898	3.1	5.3	2.5	3:00	39624	37944	164	255	202973	2	68	30	0	0	
20	100	100	789	3.3	5.4	2.6	3:00	39709	38074	173	105	203324	4	68	28	0	0	
50	100	100	769	3.0	5.8	3.3	3:02	39824	38413	144	33	204686	10	70	20	0	0	
90	100	100	759	2.9	5.0	3.0	3:01	39481	38311	133	17	202308	6	84	10	0	0	
gR_kA 200d K2 stoss 39889 =====																		
10	92	92	1034	3.0	5.9	2.8	3:00	41427	35908	303	305	205020	88	2	10	1	0	
20	100	100	955	3.6	5.2	2.6	3:00	41744	40030	180	128	205549	94	0	6	0	0	
50	100	100	835	3.5	5.2	2.8	3:01	41588	40054	175	36	204993	94	2	4	0	0	
90	96	96	807	3.0	4.8	2.8	3:01	41206	39442	181	20	204231	96	0	4	0	0	

A.4.3 Szenarien „kR gA“

Populationsgröße

	Erfolgsrate erreichte Mindestnote																
	Erfolgsrate Straffreiheit																
	Anzahl der Adaptionen																
	Level d. Parameters "Pivotregel" 0=0, 1=0.2, ...																
	d. Parameters "Verschiebungsweite" 0=0, 1=0.2, ...																
	Level d. W'keit von "LSV für ganze Gen." 0=0, 1=0,2...																
	Zeit bis zur Konvergenz (Max. 3:00 Minuten)																
	erreichte Note																
	Minimalwert erreichte Note																
	Breite des 95%-KI der Note																
	Anzahl der Generationen																
	Evaluationen																
	Anteil "Fast"																
	"Cheap"																
	"Appl."																
	ÜbLä																
																	X
kR_gA 50 K2 stoss 40386 =====																	
5	100	100	1101	3.1	6.3	2.8	0:09	44414	43684	87	637	119771	38	22	40	0	0
10	100	100	2221	2.9	5.9	2.6	0:19	44500	43743	96	606	245562	36	22	42	0	0
20	100	100	4288	3.3	6.5	2.5	0:39	44524	43638	75	584	489109	44	14	42	0	0
30	100	100	7021	3.5	5.4	2.6	1:05	44776	43946	91	651	810302	58	8	34	0	0
50	100	100	112893	4	5.9	2.4	1:50	44963	44283	88	610	1361971	48	6	46	0	0
kR_gA 100 K2 stoss 38497 =====																	
5	68	68	2342	3.2	6.5	3.0	1:25	42247	32435	-	1274	417752	48	28	24	16	0
10	68	68	3559	3.0	5.6	2.8	2:17	42361	32214	-	903	675633	46	24	30	16	0
20	80	80	4727	2.7	5.1	3.1	2:56	43849	33021	1435	576	868679	48	24	28	10	0
30	74	74	4725	2.7	5.8	3.3	3:00	43192	32043	-	384	887730	62	20	18	13	0
50	78	78	4832	3.0	5.1	3.3	3:00	43677	32756	1468	219	889213	56	14	30	11	0
kR_gA 200 K2 stoss 39639 =====																	
5	34	34	1429	2.9	5.3	3.4	2:57	38559	28029	-	825	333875	22	52	26	33	0
10	42	42	1458	2.7	5.9	3.2	3:00	39199	31245	-	406	339144	26	50	24	29	0
20	32	32	1471	2.7	5.7	3.5	3:00	38834	33156	-	182	337592	22	46	32	34	0
30	44	44	1463	2.6	5.2	2.8	3:00	39671	28281	-	118	337454	24	46	30	28	0
50	48	48	1514	3.0	5.8	3.4	3:00	40053	34006	-	66	337499	28	46	26	26	0
kR_gA 200d K2 stoss 41238 =====																	
5	98	98	1957	2.9	7.1	2.7	2:53	46322	32953	588	1120	389144	72	4	24	1	0
10	100	100	2022	2.8	6.6	3.1	3:00	46628	45232	158	554	407498	70	2	28	0	0
20	100	100	1966	3.0	5.8	3.0	3:00	46700	45508	170	257	405867	52	4	44	0	0
30	100	100	1980	3.0	5.2	2.9	3:00	46773	45615	122	165	404997	56	6	38	0	0
50	100	100	2026	3.0	5.7	3.1	3:00	46725	45499	131	93	406656	60	4	36	0	0

A.4.4 Szenarien „kR kA“

Populationsgröße

Erfolgsrate erreichte Mindestnote																	
Erfolgsrate Straffreiheit																	
Anzahl der Adaptionen																	
Level d. Parameters "Pivotregel" 0=0, 1=0.2, ...																	
d. Parameters "Verschiebungsweite" 0=0, 1=0.2, ...																	
Level d. W'keit von "LSV für ganze Gen." 0=0, 1=0,2...																	
Zeit bis zur Konvergenz (Max. 3:00 Minuten)																	
erreichte Note																	
Minimalwert erreichte Note																	
Breite des 95%-KI der Note																	
Anzahl der Generationen																	
Evaluationen																	
Anteil "Fast"																	
"Cheap"																	
"Appl."																	
ÜbLä																	
X																	
kR_kA 50 K2 stoss 38705 =====																	
5	100	100	1702	3.2	5.5	2.9	0:13	44313	42645	184	978	215803	46	24	30	0	0
10	100	100	2961	3.2	5.4	2.3	0:24	44389	42878	177	814	381840	46	22	32	0	0
20	100	100	6359	3.3	5.7	2.9	0:54	44478	43528	135	828	851122	48	24	28	0	0
30	100	100	8867	3.2	6.4	2.3	1:15	44487	43612	164	774	1177422	54	16	30	0	0
50	100	100	13987	2.9	5.2	2.4	1:59	44703	43189	173	750	1864832	48	26	26	0	0
kR_kA 100 K2 stoss 36481 =====																	
5	96	96	3508	3.2	5.5	2.8	1:59	40541	23967	824	2010	742813	36	32	32	2	0
10	100	100	4712	3.0	5.7	3.0	2:46	41176	40091	170	1350	1039487	34	30	36	0	0
20	100	100	5165	3.2	5.5	2.6	2:59	41388	40046	167	715	1118658	28	30	42	0	0
30	100	100	5079	3.1	4.7	3.0	3:00	41329	40033	180	453	1126397	32	34	34	0	0
50	100	100	5093	3.0	5.1	2.9	3:00	41567	40595	151	263	1145132	38	28	34	0	0
kR_kA 200 K2 stoss 36243 =====																	
5	100	100	1439	3.4	6.2	2.8	3:00	39796	39191	87	874	431665	64	14	22	0	0
10	100	100	1302	2.3	5.8	3.0	3:00	39718	39323	86	370	434649	70	14	16	0	0
20	100	100	1253	3.3	5.8	3.1	3:00	39713	39123	87	152	434358	52	10	38	0	0
30	100	100	1259	2.9	4.6	3.3	3:00	39650	38912	76	99	435494	54	18	28	0	0
50	100	100	1335	3.0	5.0	3.3	3:00	39485	38990	84	56	439918	62	18	20	0	0
kR_kA 200d K2 stoss 39156 =====																	
5	90	90	1593	3.1	5.2	2.8	3:00	40098	31436	722	952	442487	58	6	36	5	0
10	90	90	1559	3.7	5.5	2.6	3:00	40020	31145	773	443	440680	66	2	32	5	0
20	98	98	1421	3.2	4.8	3.1	3:00	40712	31271	402	181	445166	68	0	32	1	0
30	96	96	1438	3.0	5.5	3.0	3:00	40543	31399	456	111	445738	78	0	22	2	0
50	100	100	1461	3.2	5.4	3.2	3:00	40652	39948	95	64	440434	52	8	40	0	0

-- Fortsetzung der vorherigen Seite --

Populationsgröße

	Erfolgsrate erreichte Mindestnote															
	Erfolgsrate Straffreiheit															
	Anzahl der Adaptionen															
	Level d. Parameters "Anzahl der Ameisen" 0=5, 1=10, ...															
	Level d. W'keit von "LSV für ganze Gen." 0=0, 1=0,2...															
	Zeit bis zur Konvergenz (Max. 3:00 Minuten)															
	erreichte Note															
	Minimalwert erreichte Note															
	Breite des 95%-KI der Note															
	Anzahl der Generationen															
	Evaluationen															
	Anteil "Fast"															
	"Cheap"															
	"Appl."															
	ÜbLä															
																X
gR_gA 200 K2 Ant1 37745	=====															
10	18	18	194	1.0	1.1	3:00	33502	26103	-	105	14636	0	0	100	41	0
20	26	26	121	1.1	1.0	3:03	34330	25047	-	30	9887	0	2	98	36	0
30	22	22	115	1.1	1.1	3:03	34063	28885	-	18	9802	0	0	100	38	0
50	6	6	114	1.2	1.0	3:06	32038	27937	-	11	9930	0	2	98	46	0
5	32	32	379	1.0	1.2	6:00	32353	4326	-	436	26891	0	26	74	33	0
10	40	40	383	1.1	1.2	6:00	35334	28864	-	207	28466	0	0	100	29	0
20	26	26	369	1.1	1.1	6:00	34433	28169	-	95	28860	0	0	100	37	0
30	28	28	287	1.1	1.1	6:04	34754	26544	-	48	23464	0	2	98	36	0
10	44	44	564	1.1	1.2	9:00	35913	29519	-	314	41971	0	0	100	26	0
20	42	42	556	1.1	1.1	9:01	35942	29713	-	144	42953	0	2	98	27	0
30	34	34	464	1.0	1.2	9:02	35459	30167	-	78	37799	0	0	100	32	0
10	30	30	777	1.1	1.2	12	34973	29560	-	422	56184	0	2	98	35	0
20	46	46	746	1.1	1.1	12	36022	28939	-	196	57900	0	4	96	27	0
30	56	56	742	1.0	1.1	12	36720	33530	-	126	58684	0	0	100	22	0
10	52	52	937	1.0	1.2	15	35993	27266	-	520	69891	0	0	100	24	0
20	40	40	942	1.0	1.1	15	35654	30279	-	246	71932	0	2	98	30	0
30	46	46	918	1.0	1.0	15	36008	30428	-	159	72847	0	0	100	27	0
gR_gA 200d K2 Ant1 37931	=====															
10	90	90	191	1.0	1.1	3:00	39556	29811	649	98	14607	100	0	0	5	0
20	88	88	186	1.0	1.0	3:01	39570	33934	548	45	15198	100	0	0	6	0
30	96	96	182	1.0	1.1	3:01	39949	33798	363	29	15424	100	0	0	2	0
50	82	82	174	1.2	1.1	3:02	38762	26132	853	17	15623	100	0	0	9	0
90	72	72	173	1.0	1.1	3:01	37410	29268	-	10	15672	100	0	0	14	0
150	12	12	166	1.1	1.3	3:03	31276	26132	-	5	15464	98	2	0	44	0

A.5.2 Szenarien „gR kA“

Populationsgröße

Erfolgsrate erreichte Mindestnote																			
Erfolgsrate Straffreiheit																			
Anzahl der Adaptionen																			
Level d. Parameters "Anzahl der Ameisen" 0=5, 1=10, ...																			
Level d. W'keit von "LSV für ganze Gen." 0=0, 1=0,2...																			
Zeit bis zur Konvergenz (Max. 3:00 Minuten)																			
erreichte Note																			
Minimalwert erreichte Note																			
Breite des 95%-KI der Note																			
Anzahl der Generationen																			
Evaluationen																			
Anteil "Fast"																			
"Cheap"																			
"Appl."																			
ÜbLä																			
X																			
gR_kA 50 K2 Ant1 40793 =====																			
30	100	100	3368	1.0	1.1	2:54	46618	44125	306	625	279534	30	18	52	0	0			
50	100	100	3241	1.0	1.1	3:00	47106	45316	271	378	288172	36	14	50	0	0			
90	100	100	3115	1.0	1.0	3:00	47269	45480	253	206	290588	54	10	36	0	0			
150	100	100	2939	1.0	1.0	3:00	47893	45637	255	121	296157	52	8	40	0	0			
gR_kA 100 K2 Ant1 38333 =====																			
50	98	98	817	1.0	1.0	3:00	41166	30472	513	83	67646	32	18	50	1	0			
70	100	100	785	1.0	1.0	3:00	41528	39497	271	58	68084	24	24	52	0	0			
90	100	100	791	1.1	1.1	3:01	41177	38775	251	45	69865	30	18	52	0	0			
120	100	100	766	1.0	1.1	3:01	41131	38441	240	33	69961	28	30	42	0	0			
150	100	100	808	1.1	1.1	3:00	41011	39382	201	27	70737	26	10	64	0	0			
gR_kA 200 K2 Ant1 37289 =====																			
20	92	92	142	1.5	1.0	3:01	38311	32010	490	34	12409	12	76	12	4	0			
30	94	94	143	1.3	1.1	3:02	38282	32228	346	23	12585	20	68	12	2	0			
50	82	82	143	1.4	1.1	3:02	37026	27860	744	14	12698	20	72	8	8	0			
90	28	28	146	1.4	1.1	3:03	33395	25859	-	8	12832	16	58	26	33	0			
10	92	92	294	1.3	1.0	6:01	38554	32831	364	158	23322	6	92	2	2	0			
20	98	98	284	1.3	1.0	6:02	38667	32499	316	73	24212	18	70	12	1	0			
30	92	92	286	1.4	1.1	6:02	38347	31771	469	47	24546	20	64	16	4	0			
50	96	96	280	1.3	1.1	6:04	38553	30745	361	27	25077	20	72	8	1	0			
10	96	96	437	1.3	1.1	9:00	38893	37024	204	241	34267	6	84	10	0	0			
20	92	92	431	1.2	1.1	9:01	38209	31011	562	112	35276	10	74	16	4	0			
30	96	96	416	1.3	1.1	9:02	38930	32852	388	71	35935	16	70	14	2	0			
50	98	98	424	1.3	1.0	9:04	39040	37286	139	41	36793	26	54	20	0	0			
gR_kA 200d K2 Ant1 39889 =====																			
20	74	74	153	1.0	1.2	3:01	39220	28164	-	37	12368	66	0	34	11	0			
30	68	68	149	1.0	1.0	3:02	39070	30701	-	24	12663	72	0	28	13	0			

50 36 36 150 1.1 1.1 3:03 36199 27713 - 14 12864 76 0 24 28 0

A.5.4 Szenarien „kR kA“

Populationsgröße

Erfolgsrate erreichte Mindestnote																			
Erfolgsrate Straffreiheit																			
Anzahl der Adaptionen																			
Level d. Parameters "Anzahl der Ameisen" 0=5, 1=10, ...																			
Level d. W'keit von "LSV für ganze Gen." 0=0, 1=0,2...																			
Zeit bis zur Konvergenz (Max. 3:00 Minuten)																			
erreichte Note																			
Minimalwert erreichte Note																			
Breite des 95%-KI der Note																			
Anzahl der Generationen																			
Evaluationen																			
Anteil "Fast"																			
"Cheap"																			
"Appl."																			
ÜbLä																			
X																			
kR_kA 50 K2 Ant1 38705 =====																			
30	100	100	3063	1.0	1.2	2:44	44602	43019	170	622	296827	52	32	16	0	0			
50	100	100	2984	1.0	1.2	3:00	44684	43462	140	413	324316	40	32	28	0	0			
70	100	100	2920	1.0	1.1	3:00	44926	43773	134	293	324001	46	16	38	0	0			
90	100	100	3045	1.0	1.2	3:00	44843	43463	143	226	327000	60	24	16	0	0			
kR_kA 100 K2 Ant1 36481 =====																			
30	100	100	799	1.0	1.1	3:00	41023	39436	156	140	68531	38	22	40	0	0			
50	100	100	730	1.1	1.1	3:00	40945	39821	122	80	69592	36	16	48	0	0			
70	100	100	715	1.1	1.0	3:00	40893	39400	134	57	70687	32	24	44	0	0			
90	100	100	733	1.0	1.1	3:00	40743	39568	133	44	71113	32	28	40	0	0			
kR_kA 200 K2 Ant1 36243 =====																			
5	58	58	149	1.1	1.0	3:00	34310	21559	-	164	11563	58	4	38	21	0			
10	72	72	149	1.2	1.1	3:00	36002	23670	-	75	12190	58	10	32	14	0			
30	84	84	146	1.2	1.1	3:02	36546	28208	700	23	12862	60	10	30	8	0			
50	68	68	146	1.2	1.0	3:02	35011	27575	-	14	12932	50	10	40	16	0			
70	50	50	147	1.3	1.1	3:03	33998	26732	-	10	13076	58	4	38	22	0			
kR_kA 200d K2 Ant1 39156 =====																			
5	44	44	160	1.0	1.2	3:00	36185	30513	-	174	11539	48	0	52	28	0			
10	24	24	155	1.0	1.0	3:00	34360	29108	-	78	12091	34	2	64	38	0			
30	28	28	154	1.0	1.0	3:02	34474	29154	-	24	12888	42	4	54	34	0			
50	24	24	151	1.0	1.0	3:03	33661	28984	-	14	13065	48	6	46	38	0			
70	10	10	150	1.0	1.1	3:02	32143	28870	-	10	13041	38	4	58	45	0			

A.6 Benchmarkergebnisse für ANT 2 / K2 / pRep

A.6.1 Szenarien „gR gA“

Populationsgröße

Erfolgsrate erreichte Mindestnote																			
Erfolgsrate Straffreiheit																			
Anzahl der Adaptionen																			
Level d. Parameters "Anzahl der Ameisen" 0=5, 1=10, ...																			
Level d. W'keit von "LSV für ganze Gen." 0=0, 1=0,2...																			
Zeit bis zur Konvergenz (Max. 3:00 Minuten)																			
erreichte Note																			
Minimalwert erreichte Note																			
Breite des 95%-KI der Note																			
Anzahl der Generationen																			
Evaluationen																			
Anteil "Fast"																			
"Cheap"																			
"Appl."																			
ÜbLä																			
X																			
gR_gA 50 K2 Ant2 39850 =====																			
20	100	100	140	6.1	1.7	2:57	41194	40481	120	313	320481	0	64	36	0	0			
30	100	100	148	6.0	2.1	3:00	41311	40460	128	184	322575	0	62	38	0	0			
50	100	100	186	6.1	2.5	3:02	41295	40447	126	84	326559	0	56	44	0	0			
70	100	100	203	6.1	2.9	3:02	41369	40581	95	73	329205	0	48	52	0	0			
gR_gA 100 K2 Ant2 36917 =====																			
5	6	6	21	3.2	1.2	2:54	20821	11736	-	779	71748	2	14	84	47	0			
10	2	2	24	3.6	1.5	3:00	20542	10268	-	322	75452	2	12	86	49	0			
20	4	4	27	4.1	1.8	3:01	21168	11432	-	142	76636	0	10	90	48	0			
30	2	2	36	4.3	2.2	3:02	20468	9418	-	73	75825	2	14	84	49	0			
50	2	2	45	4.1	2.5	3:03	19663	9125	-	46	77441	2	16	82	49	0			
70	2	2	56	4.9	2.7	3:06	17391	9536	-	23	77308	0	22	78	49	0			
gR_gA 200 K2 Ant2 37745 =====																			
5	8	8	13	3.1	1.6	3:00	28632	5984	-	148	13315	0	12	88	46	0			
10	18	18	16	3.3	1.9	3:02	32337	25963	-	61	13602	0	2	98	41	0			
20	12	12	18	3.0	2.3	3:09	31618	23630	-	17	8886	0	0	100	44	0			
30	10	10	20	3.9	2.4	3:20	29653	19307	-	9	9452	0	8	92	45	0			
50	0	0	28	4.0	2.7	3:34	26529	20800	-	5	9964	0	2	98	50	0			
90	0	0	37	4.5	2.9	3:22	23329	19307	-	3	9145	2	8	90	50	0			
150	0	0	49	4.3	3.1	3:15	22173	19307	-	2	9221	6	20	74	50	0			
5	22	22	20	3.3	1.5	6:00	31730	5447	-	278	26328	2	6	92	38	0			
10	18	18	21	3.3	1.5	6:01	33626	26820	-	135	26463	0	2	98	40	0			
20	22	22	27	3.7	2.0	6:05	33492	22373	-	51	27250	0	0	100	39	0			
30	16	16	28	4.1	2.0	6:14	33048	22923	-	31	27251	0	0	100	42	0			

-- Fortsetzung auf der nächsten Seite --

Populationsgröße

	Erfolgsrate erreichte Mindestnote																
	Erfolgsrate Straffreiheit																
	Anzahl der Adaptionen																
	Level d. Parameters "Anzahl der Ameisen" 0=5, 1=10, ...																
	Level d. W'keit von "LSV für ganze Gen." 0=0, 1=0,2...																
	Zeit bis zur Konvergenz (Max. 3:00 Minuten)																
	erreichte Note																
	Minimalwert erreichte Note																
	Breite des 95%-KI der Note																
	Anzahl der Generationen																
	Evaluationen																
	Anteil "Fast"																
	"Cheap"																
	"Appl."																
	ÜbLä																
	X																
gR_gA 200 K2 Ant2 37745 =====																	
5	34	34	23	3.8	1.4	8:59	32692	2896	-	395	39110	2	10	88	32	0	
10	24	24	24	3.6	1.6	9:03	34303	26194	-	194	39708	0	0	100	38	0	
20	22	22	32	3.7	2.0	9:09	34273	27500	-	75	40444	0	2	98	39	0	
30	12	12	30	3.8	2.3	9:18	32940	25204	-	27	25254	0	2	98	44	0	
5	32	32	24	3.8	1.4	12	33581	12926	-	534	52932	2	18	80	32	0	
10	30	30	29	3.6	1.3	12	34876	26074	-	266	54262	0	0	100	34	0	
20	26	26	36	4.5	2.0	12	34215	26160	-	94	54824	0	0	100	37	0	
30	32	32	38	4.3	2.1	12	34987	23814	-	57	54825	0	2	98	33	0	
5	16	16	27	3.9	1.2	15	32414	6864	-	649	65143	0	10	90	42	0	
10	32	32	35	4.0	1.4	15	35310	29335	-	304	67293	0	4	96	30	0	
20	50	50	43	4.1	1.8	15	35813	28146	-	117	67804	0	0	100	25	0	
30	28	28	43	4.3	2.2	15	34252	26288	-	69	68332	0	2	98	36	0	
gR_gA 200d K2 Ant2 37931 =====																	
5	64	64	19	3.6	1.7	3:00	37346	21366	-	132	13584	100	0	0	18	0	
10	78	78	22	3.4	1.7	3:01	38696	33507	709	60	14027	100	0	0	11	0	
20	78	78	22	3.7	2.2	3:04	38203	30871	892	21	13575	100	0	0	11	0	
30	58	58	25	4.0	2.3	3:08	36471	26223	-	13	13921	100	0	0	21	0	
50	38	38	35	4.0	2.8	3:11	33951	26132	-	7	13848	98	2	0	30	0	
90	18	18	50	4.0	3.4	3:09	30554	26132	-	4	13709	100	0	0	41	0	

A.6.2 Szenarien „gR kA“

Populationsgröße

		Erfolgsrate erreichte Mindestnote																	
		Erfolgsrate Straffreiheit																	
		Anzahl der Adaptionen																	
		Level d. Parameters "Anzahl der Ameisen" 0=5, 1=10, ...																	
		Level d. W'keit von "LSV für ganze Gen." 0=0, 1=0,2...																	
		Zeit bis zur Konvergenz (Max. 3:00 Minuten)																	
		erreichte Note																	
		Minimalwert erreichte Note																	
		Breite des 95%-KI der Note																	
		Anzahl der Generationen																	
		Evaluationen																	
		Anteil "Fast"																	
		"Cheap"																	
		"Appl."																	
		ÜbLä																	
		X																	
gR_kA 50 K2 Ant2 40793		=====																	
30	100	100	162	5.9	1.9	3:01	46303	44179	284	176	238687	40	16	44	0	0			
50	100	100	193	5.5	2.5	3:02	46194	43062	364	75	236810	34	28	38	0	0			
90	100	100	246	6.0	2.6	3:03	46345	43249	362	38	237651	62	14	24	0	0			
gR_kA 100 K2 Ant2 38333		=====																	
5	88	88	27	4.0	1.4	2:56	39420	11951	1674	557	54524	26	24	50	6	0			
10	80	80	34	4.3	1.7	3:00	38997	28246	1350	206	56740	24	38	38	10	0			
20	86	86	42	4.2	2.1	3:01	39593	28032	1124	86	55382	32	30	38	7	0			
30	84	84	48	4.0	2.1	3:02	39528	29352	1131	62	56303	30	30	40	8	0			
50	74	74	57	4.5	2.6	3:04	38017	20800	-	27	55368	30	18	52	13	0			
gR_kA 200 K2 Ant2 37289		=====																	
5	68	68	16	3.2	1.4	3:01	36106	3513	-	122	10559	16	76	8	12	0			
10	72	72	16	3.3	1.9	3:03	36797	29594	-	41	10688	16	72	12	12	0			
20	70	70	18	3.3	2.0	3:04	36233	27094	-	19	11040	16	68	16	15	0			
30	58	58	21	3.8	2.3	3:09	34805	23917	-	12	11209	26	58	16	21	0			
5	80	80	22	3.5	1.5	6:00	37627	30195	674	219	21192	16	68	16	8	0			
10	92	92	23	3.4	1.5	6:02	38100	32157	423	96	21707	4	90	6	3	0			
20	84	84	24	4.1	1.9	6:10	37634	27074	827	36	22236	20	68	12	6	0			
10	84	84	30	3.7	1.6	9:02	37734	31266	673	141	32077	10	82	8	8	0			
20	80	80	31	4.1	2.1	9:14	37359	27524	952	51	32777	10	78	12	8	0			
30	86	86	34	4.2	2.5	9:18	37480	25733	838	32	33117	12	74	14	7	0			
gR_kA 200d K2 Ant2 39889		=====																	
5	50	50	13	3.0	1.5	3:00	36392	24612	-	116	10405	50	2	48	21	0			
10	50	50	14	3.1	1.7	3:02	36895	26352	-	51	10744	46	0	54	23	0			
20	36	36	18	3.4	2.4	3:08	34798	24243	-	17	10873	76	0	24	29	0			

Erfolgsrate erreichte Mindestnote																		
Erfolgsrate Straffreiheit																		
Anzahl der Adaptionen																		
Level d. Parameters "Anzahl der Ameisen" 0=5, 1=10, ...																		
Level d. W'keit von "LSV für ganze Gen." 0=0, 1=0,2...																		
Zeit bis zur Konvergenz (Max. 3:00 Minuten)																		
erreichte Note																		
Minimalwert erreichte Note																		
Breite des 95%-KI der Note																		
Anzahl der Generationen																		
Evaluationen																		
Anteil "Fast"																		
"Cheap"																		
"Appl."																		
ÜbLä																		
X																		
kR_gA 50 K2 Ant2 40386 =====																		
30	100	100	356	5.7	2.4	3:00	44471	43494	89	157	352838	40	24	36	0	0		
50	100	100	383	5.9	2.3	3:01	44484	44089	76	75	354401	44	12	44	0	0		
70	100	100	396	5.8	3.6	3:04	44531	43472	98	43	357033	48	8	44	0	0		
90	100	98	468	5.7	3.9	3:05	44462	44068	62	32	356663	42	12	46	1	0		
kR_gA 100 K2 Ant2 38497 =====																		
5	32	32	51	4.5	1.5	2:58	36199	22542	-	602	77125	50	26	24	34	0		
10	40	40	56	4.9	1.9	3:01	37562	30987	-	241	78308	42	32	26	30	0		
20	32	32	68	5.3	2.3	3:02	36633	28212	-	109	91712	40	42	18	34	0		
30	28	28	66	5.2	2.7	3:04	35961	28946	-	55	79688	58	30	12	36	0		
kR_gA 200 K2 Ant2 39639 =====																		
5	8	8	17	3.6	1.6	3:01	33598	18871	-	131	13670	24	42	34	46	0		
10	8	8	20	3.3	1.4	3:01	34303	27021	-	62	14144	42	24	34	46	0		
20	8	8	24	3.9	2.2	3:04	34528	27095	-	29	17739	40	40	20	46	0		
kR_gA 200d K2 Ant2 41238 =====																		
5	92	92	21	3.5	1.6	3:01	43689	24858	1086	133	14085	60	8	32	4	0		
10	100	100	21	3.3	2.0	3:02	44733	41626	279	54	14340	48	4	48	0	0		
20	98	98	25	3.9	2.3	3:07	44358	37320	371	29	18375	66	6	28	1	0		
30	96	96	28	4.0	2.5	3:11	43500	30219	653	13	14831	70	2	28	2	0		

A.6.4 Szenarien „kR kA“

Populationsgröße

		Erfolgsrate erreichte Mindestnote															
		Erfolgsrate Straffreiheit															
		Anzahl der Adaptionen															
		Level d. Parameters "Anzahl der Ameisen" 0=5, 1=10, ...															
		Level d. W'keit von "LSV für ganze Gen." 0=0, 1=0,2...															
		Zeit bis zur Konvergenz (Max. 3:00 Minuten)															
		erreichte Note															
		Minimalwert erreichte Note															
		Breite des 95%-KI der Note															
		Anzahl der Generationen															
		Evaluationen															
		Anteil "Fast"															
		"Cheap"															
		"Appl."															
		ÜbLä															
		X															
kR_kA 50 K2 Ant2 38705		=====															
5	100	100	133	5.4	1.3	2:15	44122	42741	156	748	191768	46	32	22	0	0	
10	100	100	147	5.8	1.5	2:38	44037	42075	197	473	223977	48	28	24	0	0	
20	98	98	194	5.6	2.0	3:00	43866	26687	725	211	277403	42	40	18	1	0	
30	98	98	196	5.9	2.2	3:01	43922	27436	693	151	255093	42	30	28	1	0	
50	100	100	233	5.8	2.6	3:02	44182	43282	157	65	253189	64	20	16	0	0	
70	100	100	254	5.9	3.4	3:04	43916	42340	182	46	255627	58	22	20	0	0	
90	100	100	292	6.0	3.4	3:03	43824	42326	199	29	254939	58	22	20	0	0	
120	100	96	1066	5.0	1.5	3:01	44748	43870	135	35	295620	46	24	30	2	0	
150	100	92	1059	5.2	1.9	3:01	44634	42420	196	26	294050	46	22	32	4	0	
kR_kA 100 K2 Ant2 36481		=====															
10	98	98	54	5.0	1.6	3:01	40212	30256	457	162	54485	30	42	28	1	0	
20	98	98	57	5.0	1.7	3:02	40252	30325	459	83	63263	36	26	38	1	0	
30	100	100	64	4.9	2.0	3:05	40280	38910	208	49	56300	28	26	46	0	0	
50	98	98	71	4.7	2.3	3:06	39898	30262	460	29	57067	36	18	46	1	0	
kR_kA 200 K2 Ant2 36243		=====															
10	72	72	149	1.2	1.1	3:00	36002	23670	-	75	12190	58	10	32	14	0	
20	64	64	23	3.7	1.9	3:04	34570	24400	-	22	13340	60	16	24	18	0	
30	84	84	146	1.2	1.1	3:02	36546	28208	700	23	12862	60	10	30	8	0	
50	68	68	146	1.2	1.0	3:02	35011	27575	-	14	12932	50	10	40	16	0	
kR_kA 200d K2 Ant2 39156		=====															
5	34	34	17	3.0	1.6	3:00	34010	7410	-	108	10370	24	6	70	33	0	
10	10	10	16	3.4	2.2	3:03	31989	28491	-	41	10591	20	4	76	45	0	
20	18	18	22	3.3	2.4	3:05	32898	28472	-	24	13448	36	4	60	41	0	
30	12	12	23	3.7	2.4	3:20	31728	28462	-	12	11710	30	8	62	43	0	

A.7 Benchmarkergebnisse für TRIV / K2 / pRep

A.7.1 Szenarien „gR gA“

Populationsgröße																
		Erfolgsrate erreichte Mindestnote														
		Erfolgsrate Straffreiheit														
		Anzahl der Adaptionen														
		Level d. W'keit von "LSV für ganze Gen." 0=0, 1=0,2...														
		Zeit bis zur Konvergenz (Max. 3:00 Minuten)														
		erreichte Note														
		Minimalwert erreichte Note														
		Breite des 95%-KI der Note														
		Anzahl der Generationen														
		Evaluationen														
		Anteil "Fast"														
		"Cheap"														
		"Appl."														
		ÜbLä														
		X														
gR_gA 50 K2 stoss 39850 =====																
10	100	94	197	5.0	0:54	42036	41074	101	907	530	0	68	32	3	0	
20	100	96	272	5.0	1:33	42084	41223	113	738	433	0	60	40	2	0	
50	100	98	501	5.0	2:57	42239	41217	118	560	272	0	48	52	1	0	
90	100	96	537	5.0	3:00	42430	41819	99	321	278	6	42	52	2	0	
gR_gA 100 K2 stoss 36917 =====																
10	28	26	356	5.0	2:05	30435	16849	-	1046	363	4	12	84	37	0	
20	32	32	359	5.0	2:56	31180	17500	-	644	262	0	26	74	34	0	
50	40	38	311	5.0	3:00	32801	21369	-	246	298	4	12	84	31	0	
90	60	54	209	5.0	3:00	35864	22580	-	124	258	0	10	90	23	0	
gR_gA 200 K2 stoss 37745 =====																
10	94	88	242	5.0	3:00	39152	34133	374	599	420	0	4	96	6	0	
20	94	84	162	5.0	3:00	39258	33111	414	248	303	0	14	86	8	0	
50	100	92	78	5.0	3:00	39601	38538	86	79	348	0	18	82	4	0	
90	100	84	54	5.0	3:00	39488	38595	97	41	362	0	8	92	8	0	
gR_gA 200d K2 stoss 37931 =====																
10	100	92	274	5.0	2:59	41608	40736	137	678	379	100	0	0	4	0	
20	100	94	179	5.0	3:00	41923	41022	134	281	367	100	0	0	3	0	
50	100	86	85	5.0	3:00	42029	41172	107	92	341	100	0	0	7	0	
90	100	88	52	5.0	3:00	41928	41223	93	47	275	100	0	0	6	0	

A.7.2 Szenarien „gR kA“

Populationsgröße

Erfolgsrate erreichte Mindestnote																
Erfolgsrate Straffreiheit																
Anzahl der Adaptionen																
Level d. W'keit von "LSV für ganze Gen." 0=0, 1=0,2...																
Zeit bis zur Konvergenz (Max. 3:00 Minuten)																
erreichte Note																
Minimalwert erreichte Note																
Breite des 95%-KI der Note																
Anzahl der Generationen																
Evaluationen																
Anteil "Fast"																
"Cheap"																
"Appl."																
ÜbLä																
																X
gR_kA 50 K2 stoss 40793 =====																
10	100	98	273	5.0	0:34	47637	45682	267	819	332	30	26	44	1	0	
20	100	100	481	5.0	1:16	48134	46481	240	822	378	30	24	46	0	0	
50	100	98	991	5.0	2:34	48772	47076	248	677	311	38	14	48	1	0	
90	100	98	1093	5.0	3:00	49237	47575	163	433	306	56	2	42	1	0	
gR_kA 100 K2 stoss 38333 =====																
10	100	94	632	5.0	2:06	43607	41384	218	1408	310	32	10	58	3	0	
20	100	90	786	5.0	2:52	43816	42325	196	904	339	48	16	36	5	0	
50	100	92	544	5.0	3:00	44097	42073	231	310	327	42	12	46	4	0	
90	100	88	360	5.0	3:00	44218	42457	185	147	317	20	10	70	6	0	
gR_kA 200 K2 stoss 37289 =====																
10	100	96	347	5.0	2:59	40227	38570	166	716	318	6	72	22	2	0	
20	100	88	254	5.0	3:00	40435	38924	142	299	357	26	54	20	6	0	
50	100	88	114	5.0	3:00	40710	39315	125	87	317	28	48	24	6	0	
90	100	78	68	5.0	3:00	40428	39036	150	43	350	24	34	42	11	0	
gR_kA 200d K2 stoss 39889 =====																
10	100	92	348	5.0	3:00	42411	41256	193	728	411	76	0	24	4	0	
20	100	100	227	5.0	3:00	42630	41333	152	288	275	80	0	20	0	0	
50	100	86	101	5.0	3:00	42855	41831	133	87	301	96	0	4	7	0	
90	100	74	68	5.0	3:00	42566	41388	130	44	325	98	0	2	13	0	

A.7.3 Szenarien „kR gA“

Populationsgröße

	Erfolgsrate erreichte Mindestnote															
	Erfolgsrate Straffreiheit															
	Anzahl der Adaptionen															
	Level d. W'keit von "LSV für ganze Gen." 0=0, 1=0,2...															
	Zeit bis zur Konvergenz (Max. 3:00 Minuten)															
	erreichte Note															
	Minimalwert erreichte Note															
	Breite des 95%-KI der Note															
	Anzahl der Generationen															
	Evaluationen															
	Anteil "Fast"															
	"Cheap"															
	"Appl."															
	ÜbLä															
	X															
kR_gA 50 K2 stoss 40386	=====															
10	100	96	67	4.8	0:26	44679	44283	92	652	2719	32	18	50	2	0	0
20	100	100	100	5.0	1:01	44822	44283	91	694	668	52	12	36	0	0	0
50	100	100	259	5.0	2:13	45026	44283	94	611	247	40	8	52	0	0	0
90	100	98	348	5.0	3:00	45219	44700	85	460	253	42	0	58	1	0	0
kR_gA 100 K2 stoss 38497	=====															
10	82	80	255	5.0	1:28	44342	33086	1401	1045	404	40	26	34	10	0	0
20	82	78	313	5.0	2:24	44437	32836	1449	777	278	48	20	32	11	0	0
50	94	92	375	5.0	3:00	45916	33091	907	384	276	64	16	20	4	0	0
90	100	96	311	5.0	3:00	47006	45238	144	203	269	66	6	28	2	0	0
kR_gA 200 K2 stoss 39639	=====															
10	58	58	324	5.0	2:54	41862	35548	-	913	322	38	24	38	21	0	0
20	86	80	277	5.0	3:00	44793	36527	806	431	343	32	26	42	10	0	0
50	88	78	127	5.0	3:00	44926	36188	861	135	308	34	20	46	11	0	0
90	92	78	75	5.0	3:00	45148	36116	645	70	316	38	28	34	11	0	0
kR_gA 200d K2 stoss 41238	=====															
10	100	100	347	5.0	2:31	47130	45283	274	993	389	64	2	34	0	0	0
20	100	98	358	5.0	2:59	47383	45664	181	551	367	66	6	28	1	0	0
50	100	100	209	5.0	3:00	47876	46737	177	184	285	58	2	40	0	0	0
90	100	92	122	5.0	3:00	47813	46758	165	91	261	60	2	38	4	0	0

A.7.4 Szenarien „kR kA“

Populationsgröße

Erfolgsrate erreichte Mindestnote																
Erfolgsrate Straffreiheit																
Anzahl der Adaptionen																
Level d. W'keit von "LSV für ganze Gen." 0=0, 1=0,2...																
Zeit bis zur Konvergenz (Max. 3:00 Minuten)																
erreichte Note																
Minimalwert erreichte Note																
Breite des 95%-KI der Note																
Anzahl der Generationen																
Evaluationen																
Anteil "Fast"																
"Cheap"																
"Appl."																
ÜbLä																
X																
kR_kA 50 K2 stoss 38705 =====																
10	100	96	181	5.0	0:22	44988	44264	108	837	699	50	24	26	2	0	
20	100	100	308	5.0	0:47	45043	44186	112	822	354	42	24	34	0	0	
50	100	100	692	5.0	1:58	45228	44435	108	797	301	46	20	34	0	0	
90	100	100	1006	5.0	2:51	45364	44703	84	640	286	56	14	30	0	0	
kR_kA 100 K2 stoss 36481 =====																
10	100	100	605	5.0	1:18	41972	40959	158	1531	571	40	28	32	0	0	
20	100	100	791	5.0	2:24	42249	41270	143	1180	383	30	26	44	0	0	
50	100	96	792	5.0	3:00	42460	41481	111	537	314	30	28	42	2	0	
90	100	100	603	5.0	3:00	42551	41839	102	271	320	22	30	48	0	0	
kR_kA 200 K2 stoss 36243 =====																
10	92	86	613	5.0	2:59	40122	30223	618	1380	367	54	22	24	7	0	
20	94	88	392	5.0	3:00	40439	31078	549	552	329	50	12	38	6	0	
50	100	84	155	5.0	3:00	40886	40365	83	163	335	48	14	38	8	0	
90	100	80	97	5.0	3:00	40490	40017	77	84	342	50	16	34	10	0	
kR_kA 200d K2 stoss 39156 =====																
10	96	90	633	5.0	2:54	41455	31704	482	1426	385	52	4	44	5	0	
20	98	96	461	5.0	3:00	41737	31908	421	611	343	60	4	36	2	0	
50	100	80	203	5.0	3:00	42056	41190	129	179	323	58	4	38	10	0	
90	100	72	119	5.0	3:00	41845	41064	99	90	301	58	2	40	14	0	

Literaturverzeichnis

- [AL97] AARTS, E. ; LENSTRA, J.K.: *Local Search in Combinatorial Optimization*. John Wiley and Sons Ltd, 1997
- [BBHS00] BAUER, A. ; BULLNHEIMER, B. ; HARTL, R. ; STRAUSS, C.: Minimizing total tardiness on a single machine using ant colony optimization. In: *Central European Journal of Operations Research* 8 (2000), Nr. 2, S. 125–141
- [BDT99] BONABEAU, E. ; DORIGO, M. ; THERAULAZ, G.: *Swarm Intelligence: From Natural to Artificial Systems*. Oxford, UK : Oxford University Press, 1999
- [Bey01] BEYER, H.-G.: *The theory of evolution strategies*. Springer, 2001
- [BJ02] BLUME, C. ; JAKOB, W.: GLEAM - An Evolutionary Algorithm for Planning and Control Based on Evolution Strategy. In: *GECCO 2002: Late Breaking papers at the Genetic and Evolutionary Computation Conference 2002*, AAAI, 2002, S. 31–38
- [Blu90] BLUME, C.: GLEAM - A System for Simulated ‘Intuitive Learning’. In: MÄNNER, R. (Hrsg.) ; SCHWEFEL, H.-P. (Hrsg.): *Parallel Problem Solving from Nature I*. Berlin : Springer, 1990, S. 48–54
- [Blu02] BLUME, C.: ACO Applied to Group Shop Scheduling: A Case Study on Intensification and Diversification. In: *ANTS '02: Proceedings of the Third International Workshop on Ant Algorithms*. London, UK : Springer-Verlag, 2002, S. 14–27

- [Blu04] BLUME, Christian: An Ant Colony Optimization Algorithm for Shop Scheduling Problems. In: *Journal of Mathematical Modelling and Algorithms* 3 (2004), Nr. 3, S. 285–308
- [BMK96] BIERWIRTH, C. ; MATTFELD, D. ; KOPFER, H.: On permutation representations for scheduling problems. In: VOIGT, et a. H.-M. (Hrsg.): *Parallel Problem Solving from Nature IV*. Berlin : Springer, 1996, S. 310—318
- [Box65] BOX, M.J.: A New Method of Constrained Optimization and a Comparison with Other Methods. In: *The Computer Journal* 8 (1965), Nr. 1, S. 42–52
- [Bru04] BRUCKER, P.: *Scheduling Algorithms*. Springer, 2004
- [Bru06] BRUCKER, P.: *Complex scheduling*. Springer, 2006
- [BW93] BLANTON, J. L. ; WAINWRIGHT, R. L.: Multiple vehicle routing with time and capacity constraints using genetic algorithms. In: FORREST, S. (Hrsg.): *Proceedings of the Fifth International Conference on Genetic Algorithms*. San Mateo, California : Morgan Kaufmann, 1993, S. 452—459
- [Dar59] DARWIN, C.: *The Origin of Species*. John Murray, 1859
- [Dav92] DAVIS, L.: *Handbook Of Genetic Algorithms*. New York : Van Nostrand Reinhold, 1992
- [DeJ06] DEJONG, K.A.: *Evolutionary computation : a unified approach*. Cambridge, Mass. : MIT Press, 2006
- [DM02] DANIEL MERKLE, Martin M.: Ant Colony Optimization with the Relative Pheromone Evaluation Method. In: *3rd European Workshop on Scheduling and Timetabling and 3rd European Workshop on Evolutionary Methods for AI Planning (EvoSTIM/EvoPLAN-2002)* Bd. 2279, Springer, 2002 (LNCS), S. 325–333
- [DS04] DORIGO, M. ; STÜTZLE, T.: *Ant Colony Optimization*. Cambridge, USA : MIT Press, 2004

- [ES03] EIBEN, A.E. ; SMITH, J.E.: *Introduction to evolutionary computing*. Berlin : Springer, 2003
- [Fis05] FISCHER, Layna: *Workflow Handbook*. The Workflow Management Coalition, 2005
- [FKNT02] FOSTER, I. ; KESSELMAN, C. ; NICK, J.M. ; TUECKE, S.: Grid Services for Distributed System Integration. In: *IEEE Computer Journal* 35 (2002), Nr. 6, S. 37–46
- [FKT01] FOSTER, I. ; KESSELMAN, C. ; TUECKE, S.: The Anatomy of the Grid: Enabling Scalable Virtual Organisations. In: *Intern. Journal of Supercomputer Applications* 15 (2001), Nr. 3, S. 200–222
- [Fos99] FOSTER, I.: *The grid: blueprint for a new computing infrastructure*. Morgan Kaufmann Publ., 1999
- [Fos02] FOSTER, I.: What Is The Grid? - A Three Point Checklist. In: *GRIDtoday* 1 (2002), Nr. 6
- [FOW66] FOGEL, L.J. ; OWENS, A.J. ; WALSH, M.J.: *Artificial Intelligence through Simulated Evolution*. New York : John Wiley & Sons, 1966
- [FS01] FORMAN, E.H. ; SELLY, M.A.: *Decision by objectives : How To Convince Others That You Are Right*. River Edge, USA : World Scientific, 2001
- [GD79] GAREY, M.R. ; D.S., Johnson: *Computers and Intractability: A Guide to the Theory of NP-Completeness*. W. H. Freeman and Co., 1979
- [Gol04] GOLDBERG, D.E.: *Genetic algorithms in search, optimization, and machine learning*. Addison-Wesley, 2004
- [GS90] GORGES-SCHLEUTER, M.: *Genetic Algorithms and Population Structures - A Massively Parallel Algorithm*. Dortmund, University of Dortmund, Computer Science Department, Diss., August 1990

- [HKKS03] HOVESTADT, M. ; KAO, O. ; KELLER, A. ; STREIT, A.: Scheduling in HPC Resource Management Systems: Queuing vs. Planning. In: FEITELSON, D. G. (Hrsg.) ; RUDOLPH, L. (Hrsg.) ; SCHWIEGELSHOHN, U. (Hrsg.): *Proceedings of the 9th Workshop on Job Scheduling Strategies for Parallel Processing (JSS-PP)* Bd. 2862. Berlin / Heidelberg : Springer, 2003 (LNCS), S. 1–20
- [Hol75] HOLLAND, J.H.: *Adaptation in Natural and Artificial Systems*. Cambridge : University of Michigan Press, 1975
- [HS05] HOOS, H. H. ; STÜTZLE, T.: *Stochastic Local Search, Foundations and Applications*. Elsevier, 2005
- [HSS04] HALSTENBERG, S. ; STUCKY, K.-U. ; SÜSS, W.: A Grid Environment for Simulation and Optimization and a First Implementation of a Biomedical Application. In: MEERSMAN, R. (Hrsg.) ; TARI, Z. (Hrsg.) ; CORSARO, A. (Hrsg.): *On the Move to Meaningful Internet Systems OTM 2004: Workshops* Bd. 3292. Agia Napa, Cyprus : Springer, October 2004 (LNCS), S. 59–67
- [Jak02] JAKOB, W.: HyGLEAM - An Approach to Generally Applicable Hybridization of Evolutionary Algorithms. In: ADAMIDIS, P. (Hrsg.) ; BEYER, H.-G. (Hrsg.) ; FERNANDEZ-VILLACANAS, J.-L. (Hrsg.) ; GUERVÓS, J.J.M. (Hrsg.) ; SCHWEFEL, H.-P. (Hrsg.): *Parallel Problem Solving from Nature VII*. Berlin : Springer, 2002, S. 527–536
- [Jak04a] JAKOB, W.: HyGLEAM: Hybrid General-purpose Evolutionary Algorithm and Method. In: *GECCO 2004: Proceedings of the Genetic and Evolutionary Computation Conference, Part I*, Springer, 2004, S. 187–192
- [Jak04b] JAKOB, W.: *Eine neue Methodik zur Erhöhung der Leistungsfähigkeit Evolutionärer Algorithmen durch die Integration lokaler Suchverfahren*. Karlsruhe, Forschungszentrum Karlsruhe, Institut für Angewandte Informatik, Diss., März 2004. – Wissenschaftliche Berichte, FZKA 6965

- [Jak05] JAKOB, W.: Eine neue Methode zur Leistungssteigerung Evolutionärer Algorithmen. In: *at-Automatisierungstechnik* 53 (2005), Nr. 6
- [Jak06] JAKOB, W.: Towards an Adaptive Multimeme Algorithm for Parameter Optimisation Suiting the Engineers' Needs. In: RUNARSSON, T.P. (Hrsg.) ; BEYER, H.-G. (Hrsg.) ; BURKE, E. (Hrsg.) ; MERELO-GUERVOS, J.J. (Hrsg.) ; WHITLEY, L.D. (Hrsg.) ; YAO, X. (Hrsg.): *Parallel Problem Solving from Nature IX*. Berlin : Springer, 2006, S. 132–141
- [JBB04] JAKOB, W. ; BLUME, C. ; BRETTHAUER, G.: Towards a Generally Applicable Self-Adapting Hybridization of Evolutionary Algorithms. In: *GECCO 2004: Proceedings of the Genetic and Evolutionary Computation Conference, Part I*, Springer, 2004, S. 790–791
- [JGSB92] JAKOB, W. ; GORGES-SCHLEUTER, M. ; BLUME, C.: Application of Genetic Algorithms to Task Planning and Learning. In: *Parallel Problem Solving from Nature II*, Elsevier, 1992, S. 293–302
- [JQSS05] JAKOB, W. ; QUINTE, A. ; STUCKY, K.-U. ; SÜSS, W.: Optimised Scheduling of Grid Resources Using Hybrid Evolutionary Algorithms. In: WYRZYKOWSKI, R. (Hrsg.) ; DONGARRA, J. (Hrsg.) ; MEYER, N. (Hrsg.) ; WASNIEWSKI, J. (Hrsg.): *Parallel Processing and Applied Mathematics PPAM 2005* Bd. 3911. Poznan, Poland : Springer, September 2005 (LNCS), S. 406–413
- [Kos03] KOST, B.: *Optimierung mit Evolutionsstrategien*. Deutsch, 2003
- [KT05] KLEINBERG, J. ; TARDOS, E.: *Algorithm Design*. Pearson / Addison-Wesley, 2005
- [LK73] LIN, s. ; KERNIGHAN, B.W.: An Effective Heuristic Algorithm for the Traveling-Salesman Problem. In: *Operations Research* 21 (1973), April, Nr. 2, S. 498–516
- [Man99] MANOLA, F.: *Characterizing Computer-Related Grid Concepts*. Website, 1999.
– <http://www.objs.com/agility/tech-reports/9903-grid-report-fm.html>

- [Mic96] MICHALEWICZ, Z.: *Genetic Algorithms + Data Structures = Evolution Programs*. 3. Berlin : Springer Verlag, 1996
- [MM00] MERKLE, D. ; MIDDENDORF, M.: An Ant Algorithm with a New Pheromone Evaluation Rule for Total Tardiness Problems. In: *EvoWorkshops*, 2000, S. 287–296
- [MM03] MERKLE, D. ; MIDDENDORF, M.: Ant Colony Optimization with Global Pheromone Evaluation for Scheduling a Single Machine. In: *Applied Intelligence* 18 (2003), January, Nr. 1, S. 105–111
- [MM05] MERKLE, D. ; MIDDENDORF, M.: On solving permutation scheduling problems with ant colony optimization. In: *Intern. J. Syst. Sci.* 36 (2005), Nr. 5, S. 255–266
- [MR92] MILGROM, P. ; ROBERTS, J.: *Economics, Organization and Management*. Prentice Hall, 1992
- [NSW04] NABRZYSKI, J. ; SCHOPF, J.M. ; WEGLARZ, J.: *Grid Resource Management: State of the Art and Future Trends*. Kluwer Academic Publ., 2004
- [Par02] PARDALOS, P.M.: *Handbook of applied optimization*. Oxford University Press, 2002
- [Pin95] PINEDO, M.: *Scheduling - Theory, Algorithms, and Systems*. Prentice Hall, 1995
- [Poh00] POHLHEIM, H.: *Evolutionäre Algorithmen*. Springer, 2000
- [PS98] PAPADIMITRIOU, Christos H. ; STEIGLITZ, Kenneth: *Combinatorial optimization*. Corr., unabridged republ. of 1982. Dover Publ., 1998
- [Rec94] RECHENBERG, I.: *Evolutionsstrategie '94*. Stuttgart : Frommann-Holzboog, 1994

- [Ros60] ROSENBROCK, H.H.: An automatic method for finding the greatest or least value of a function. In: *The Computer Journal* 3 (1960), Nr. 3, S. 175–184
- [Sch95] SCHWEFEL, H.-P.: *Evolution and optimum seeking*. Wiley, 1995
- [Sch05] SCHWINDT, C.: *Resource allocation in project management*. Springer, 2005
- [SJQS05] SÜSS, W. ; JAKOB, W. ; QUINTE, A. ; STUCKY, K.-U.: GORBA: A Global Optimising Resource Broker Embedded in a Grid Resource Management System. In: ZHENG, S.Q. (Hrsg.): *Parallel and Distributed Computing Systems 2005*. Phoenix : ACTA Press, November 2005, S. 137–145
- [SJQS06a] SÜSS, W. ; JAKOB, W. ; QUINTE, A. ; STUCKY, K.-U.: Resource Brokering in Grid Environments using Evolutionary Algorithms. In: FAHRINGER, T. (Hrsg.): *Parallel and Distributed Computing and Networks 2006*. Innsbruck, Austria : ACTA Press, february 2006, S. 94–104
- [SJQS06b] STUCKY, K.-U. ; JAKOB, W. ; QUINTE, A. ; SÜSS, W.: Solving Scheduling Problems in Grid Resource Management Using an Evolutionary Algorithm. In: MEERSMAN, R. (Hrsg.) ; TARI, Z. (Hrsg.): *On the Move to Meaningful Internet Systems 2006: OTM 2006 Workshops* Bd. 4276. Montpellier, France : Springer, November 2006 (LNCS), S. 1252–1262
- [SMM00] SCHMECK, H. ; MERKLE, D. ; MIDDENDORF, M.: Ant Colony Optimization for Resource-Constrained Project Scheduling. In: WHITLEY, D. (Hrsg.) ; GOLDBERG, D. (Hrsg.) ; CANTU-PAZ, E. (Hrsg.) ; SPECTOR, L. (Hrsg.) ; PARMEE, I. (Hrsg.) ; BEYER, H.-G. (Hrsg.): *Proceedings of the Genetic and Evolutionary Computation Conference (GECCO-2000)*. Las Vegas, Nevada, USA : Morgan Kaufmann, 2000, S. 893–900
- [War62] WARSHALL, S.: A Theorem on Boolean Matrices. In: *J. ACM* 9 (1962), Nr. 1, S. 11–12
- [WH04] WATANABE, K. ; HASHEM, M.M.A.: *Evolutionary computations*. Springer, 2004

- [WM97] WOLPERT, D.H. ; MACREADY, W.G.: No Free Lunch Theorems for Optimization. In: *IEEE Transactions On Evolutionary Computation* 1 (1997), April, Nr. 1, S. 67–82

Erklärung

Ich versichere hiermit wahrheitsgemäß, die Arbeit bis auf die dem Aufgabesteller bereits bekannte Hilfe selbständig angefertigt, alle benutzten Hilfsmittel vollständig und genau angegeben und alles kenntlich gemacht zu haben, was aus Arbeiten anderer unverändert oder mit Abänderungen entnommen wurde.

Karlsruhe, 31. März 2007, Björn Hahnenkamp